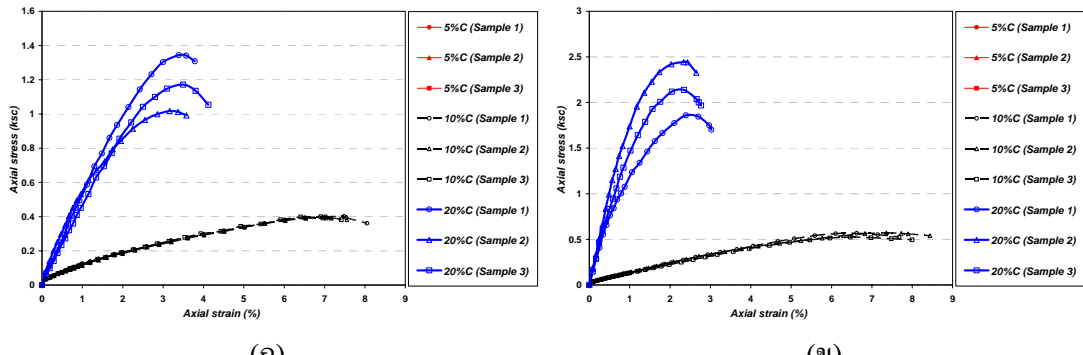


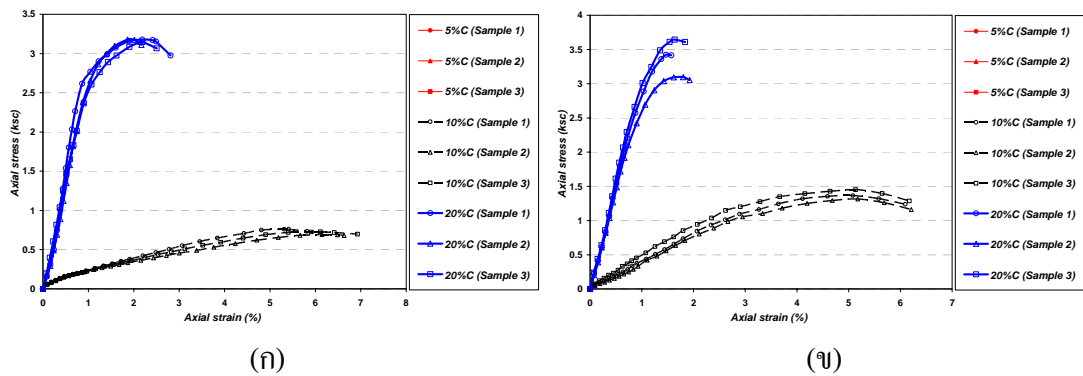
ภาคผนวก ก.

ความสัมพันธ์ระหว่าง Strain กับ Stress ของดินซึ่งมีผลต่อสมบูรณ์ซึ่งมีผลต่อปริมาณ
ความชื้น และอายุบ่มต่างๆ

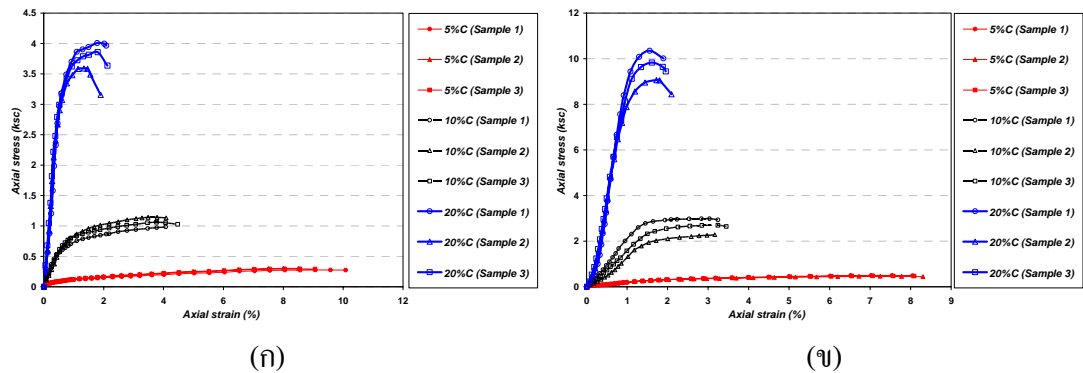
- ดินคลพบุรีรัมย์ อ. หาดใหญ่ จ. สงขลา
- ดินดินสูลานนท์ อ. เมือง จ. สงขลา
- ดินโรงไฟฟ้าสงขลา อ. จันนา จ. สงขลา
- ดินระโนด อ. ระโนด จ. สงขลา
- ดินตำมะลัง อ. เมือง จ. สตูล
- ดินปากบารา อ. ละงู จ. สตูล
- ดินคลองบุด อ. เมือง จ. สตูล
- ดินคลุง อ. เมือง จ. สตูล



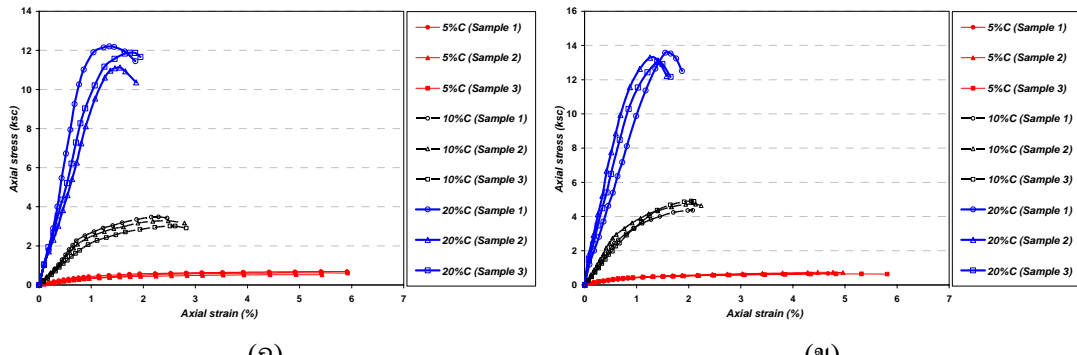
รูปที่ ก-1 ความสัมพันธ์ระหว่าง Strain กับ Stress ดินลบบริรามศวร์ (ก) 1D, LL (ข) 7D, LL



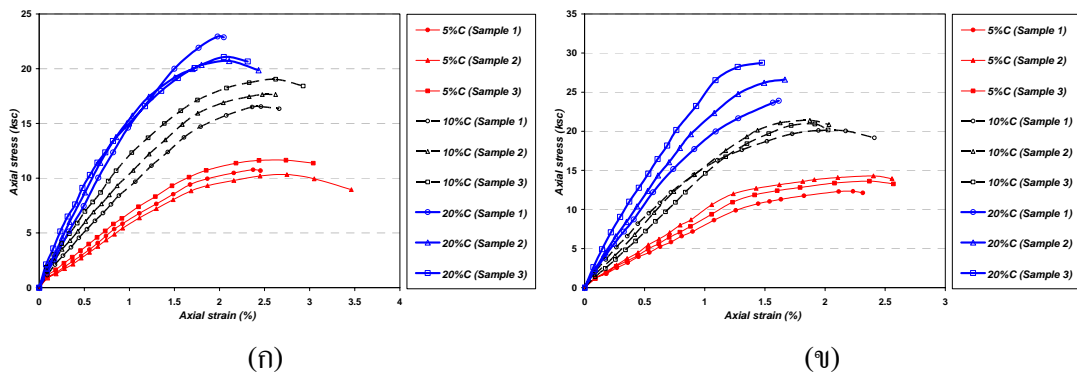
รูปที่ ก-2 ความสัมพันธ์ระหว่าง Strain กับ Stress ดินลบบริรามศวร์ (ก) 14D, LL (ข) 28D, LL



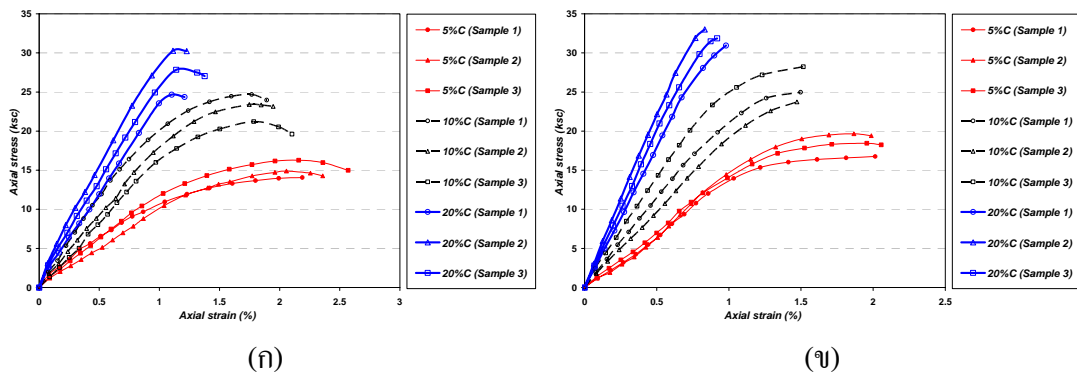
รูปที่ ก-3 ความสัมพันธ์ระหว่าง Strain กับ Stress ดินลบบริรามศวร์ (ก) 1D, NWC (ข) 7D, NWC



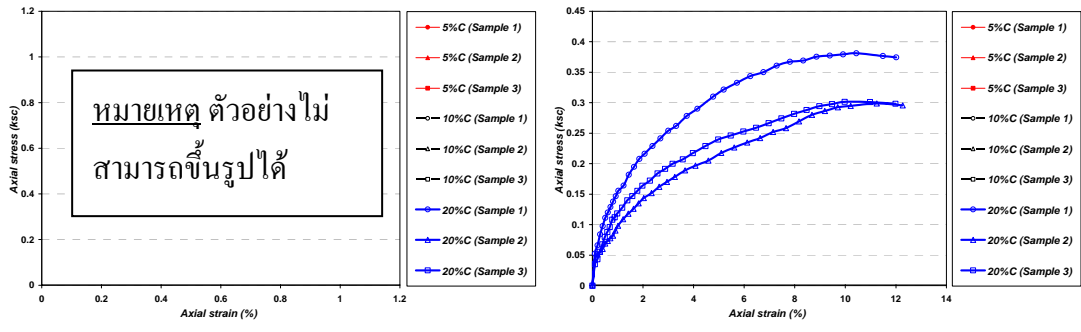
รูปที่ ก-4 ความสัมพันธ์ระหว่าง Strain กับ Stress ดินลพบุรีรามคำวร์ (ก) 14D, NWC (ง) 28D, NWC



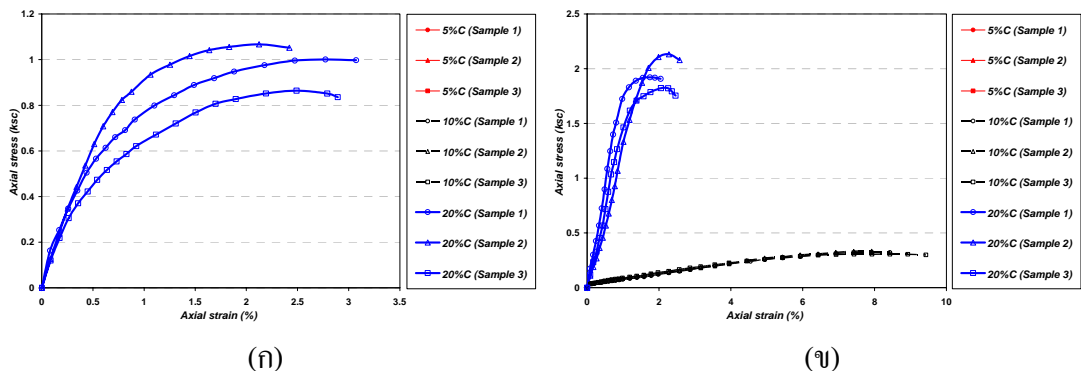
รูปที่ ก-5 ความสัมพันธ์ระหว่าง Strain กับ Stress ดินลพบุรีรามคำวร์ (ก) 1D, OMC (ง) 7D, OMC



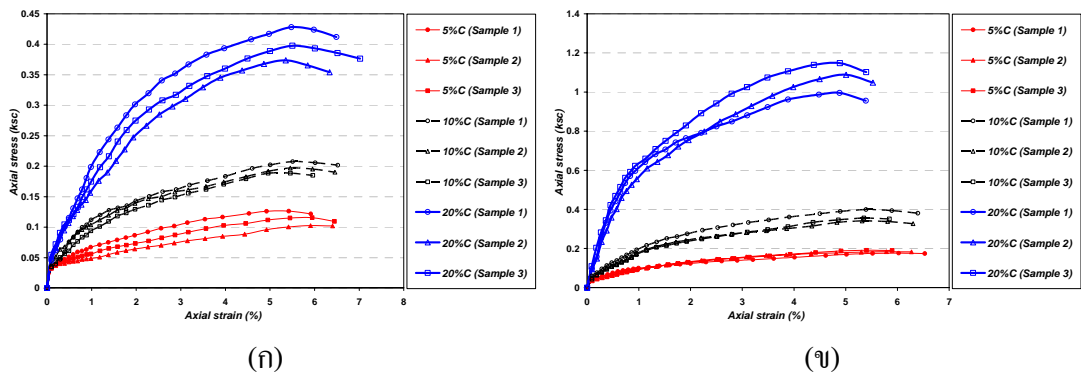
รูปที่ ก-6 ความสัมพันธ์ระหว่าง Strain กับ Stress ดินลพบุรีรามคำวร์ (ก) 14D, OMC (ง) 28D, OMC



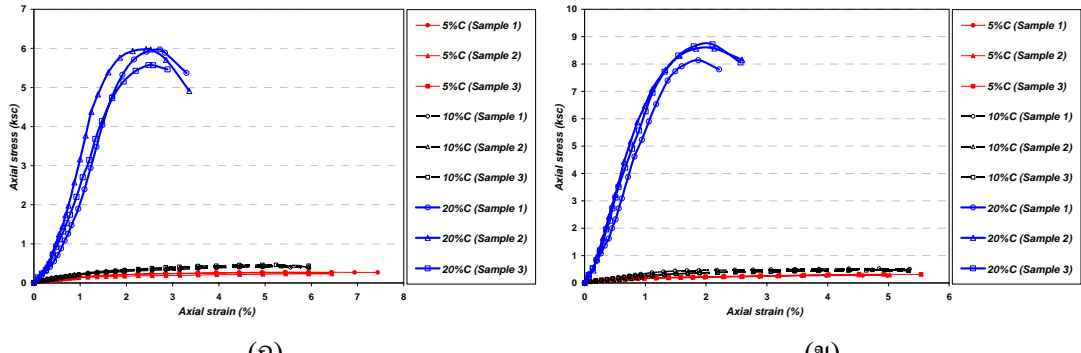
รูปที่ ก-7 ความสัมพันธ์ระหว่าง Strain กับ Stress ดินติบสุลานนท์ (ก) 1D, LL (ง) 7D, LL



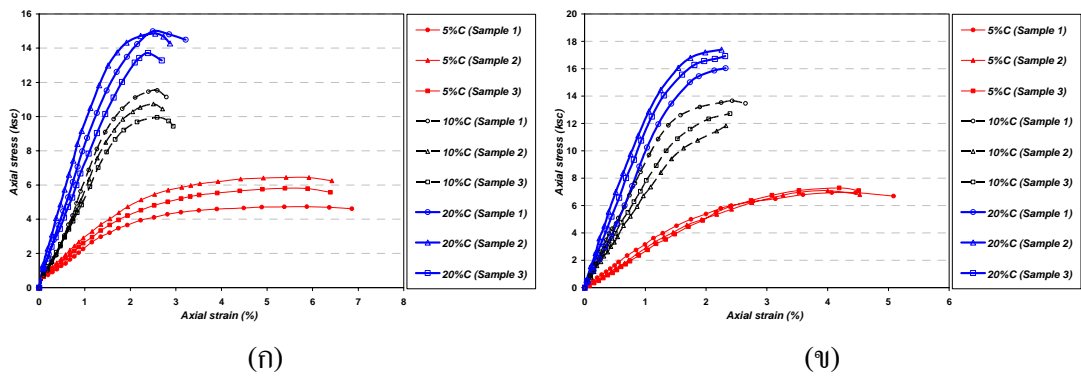
รูปที่ ก-8 ความสัมพันธ์ระหว่าง Strain กับ Stress ดินติบสุลานนท์ (ก) 14D, LL (ง) 28D, LL



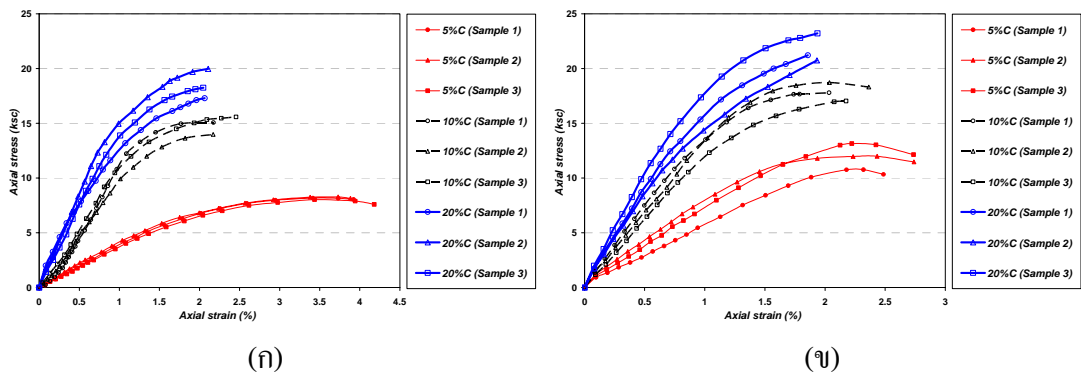
รูปที่ ก-9 ความสัมพันธ์ระหว่าง Strain กับ Stress ดินติบสุลานนท์ (ก) 1D, NWC (ง) 7D, NWC



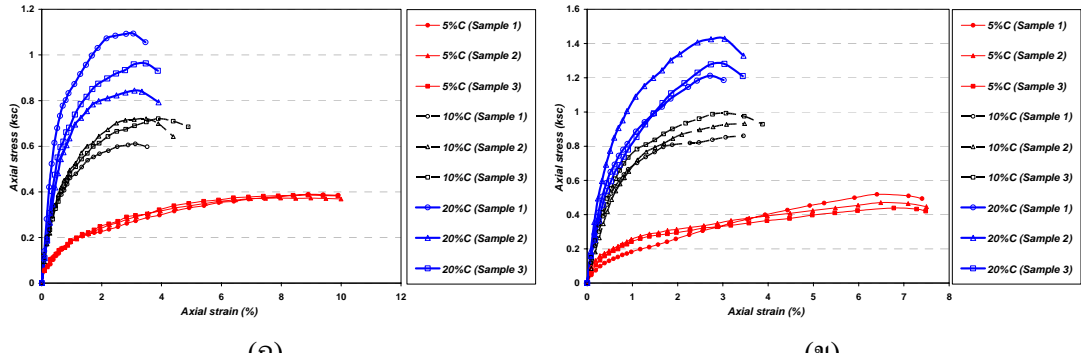
รูปที่ ก-10 ความสัมพันธ์ระหว่าง Strain กับ Stress ดินติ่มสุกานนท์ (ก) 14D, NWC (ข) 28D, NWC



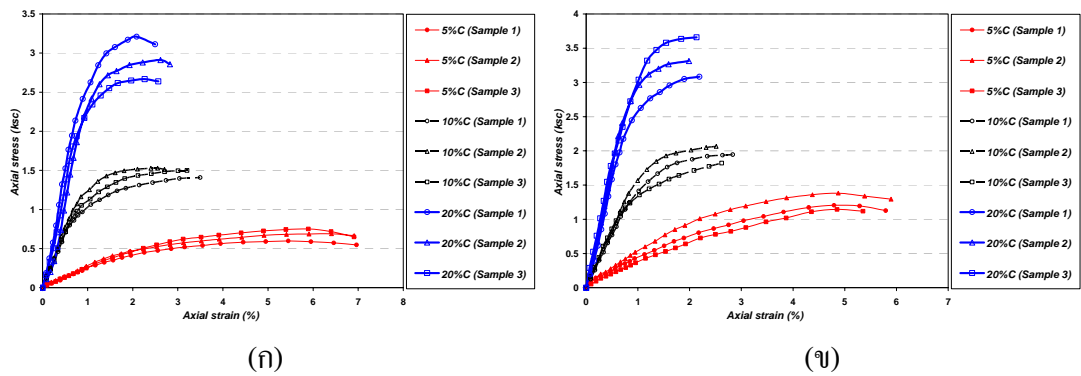
รูปที่ ก-11 ความสัมพันธ์ระหว่าง Strain กับ Stress ดินติ่มสุกานนท์ (ก) 1D, OMC (ข) 7D, OMC



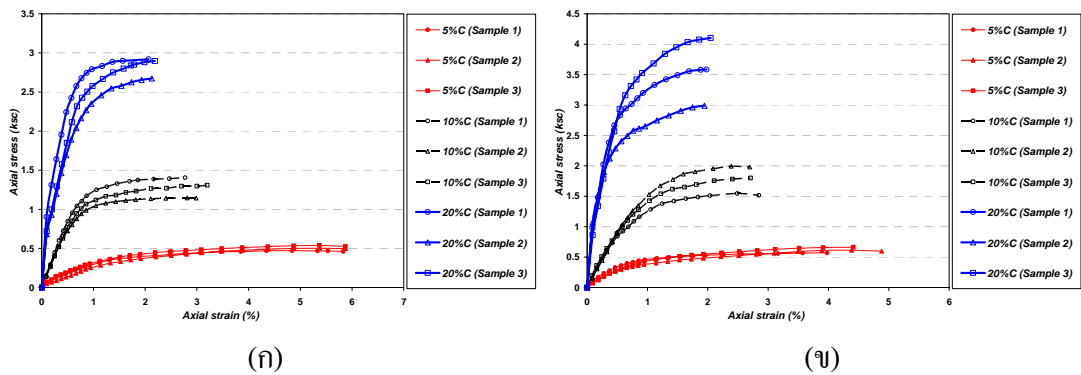
รูปที่ ก-12 ความสัมพันธ์ระหว่าง Strain กับ Stress ดินติ่มสุกานนท์ (ก) 14D, OMC (ข) 28D, OMC



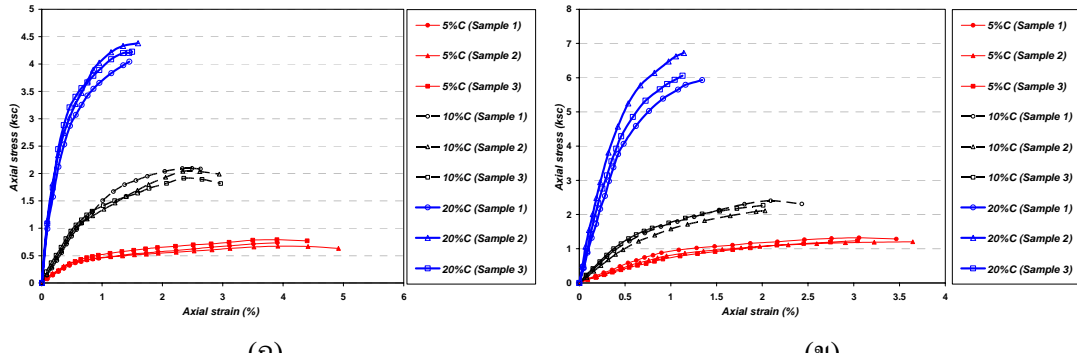
รูปที่ ก-13 ความสัมพันธ์ระหว่าง Strain กับ Stress ดินโรงไฟฟ้าสังขลา (ก) 1D, LL (ก) 7D, LL



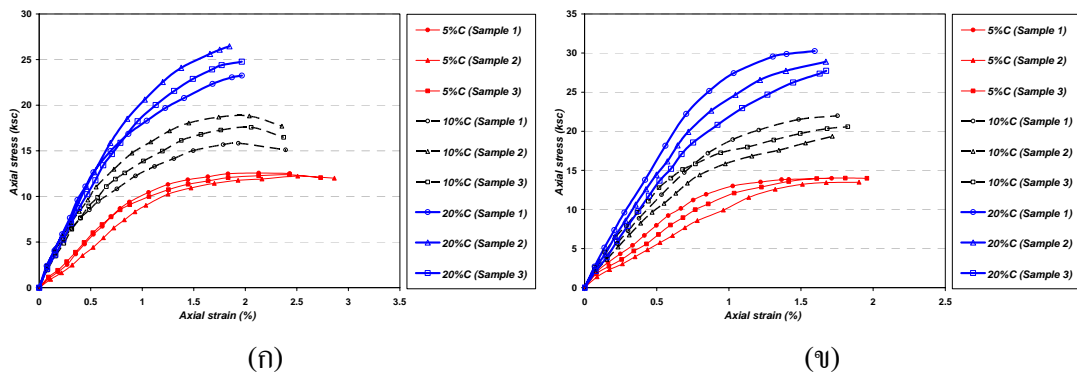
รูปที่ ก-14 ความสัมพันธ์ระหว่าง Strain กับ Stress ดินโรงไฟฟ้าสังขลา (ก) 14D, LL (ก) 28D, LL



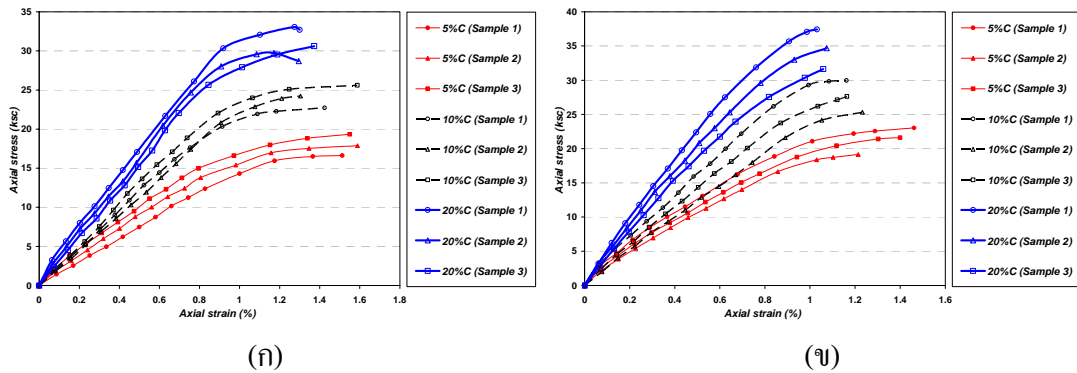
รูปที่ ก-15 ความสัมพันธ์ระหว่าง Strain กับ Stress ดินโรงไฟฟ้าสังขลา (ก) 1D, NWC (ก) 7D, NWC



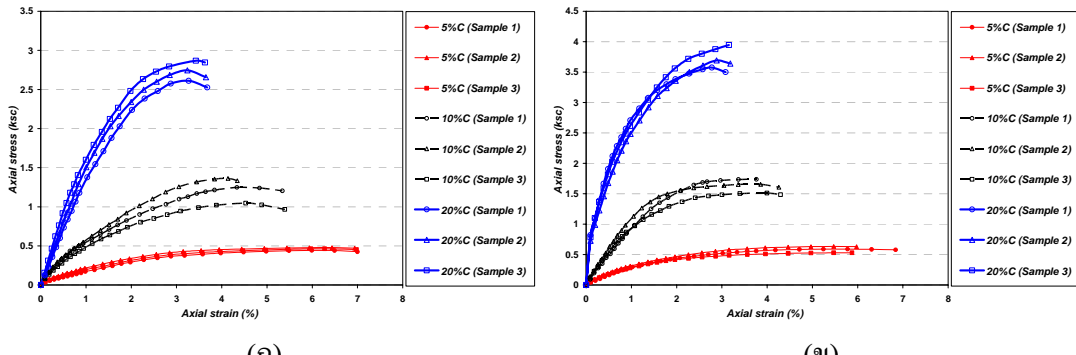
รูปที่ ก-16 ความสัมพันธ์ระหว่าง Strain กับ Stress ดินโรงไฟฟ้าสังขลา (ก) 14D, NWC (ข) 28D, NWC



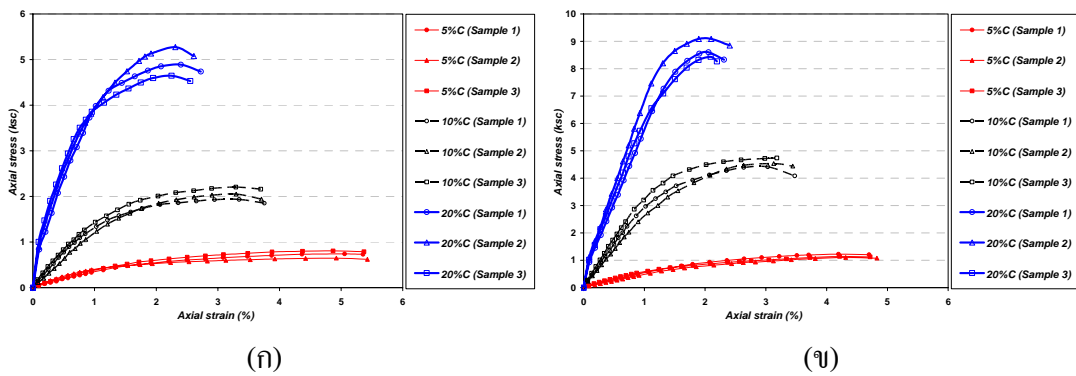
รูปที่ ก-17 ความสัมพันธ์ระหว่าง Strain กับ Stress ดินโรงไฟฟ้าสังขลา (ก) 1D, OMC (ข) 7D, OMC



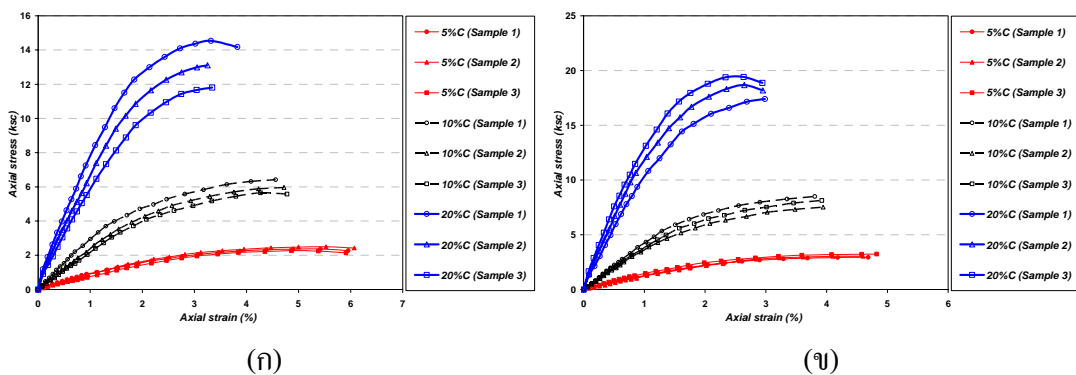
รูปที่ ก-18 ความสัมพันธ์ระหว่าง Strain กับ Stress ดินโรงไฟฟ้าสังขลา (ก) 14D, OMC (ข) 28D, OMC



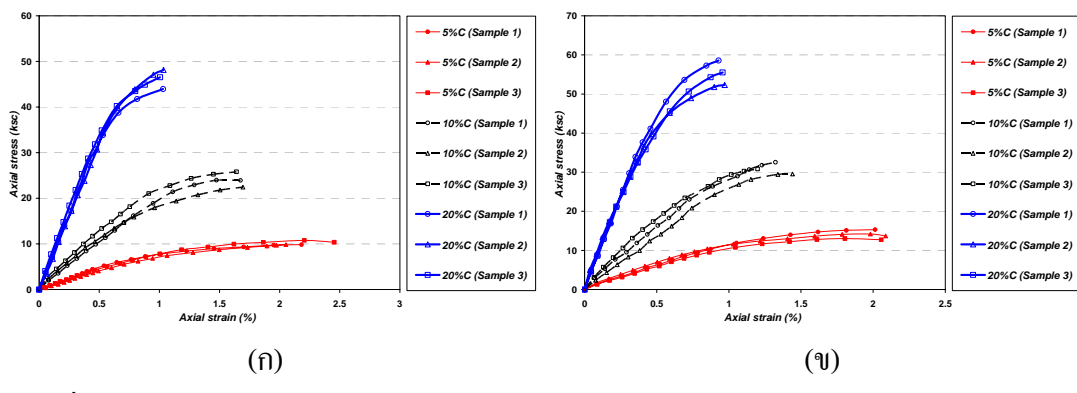
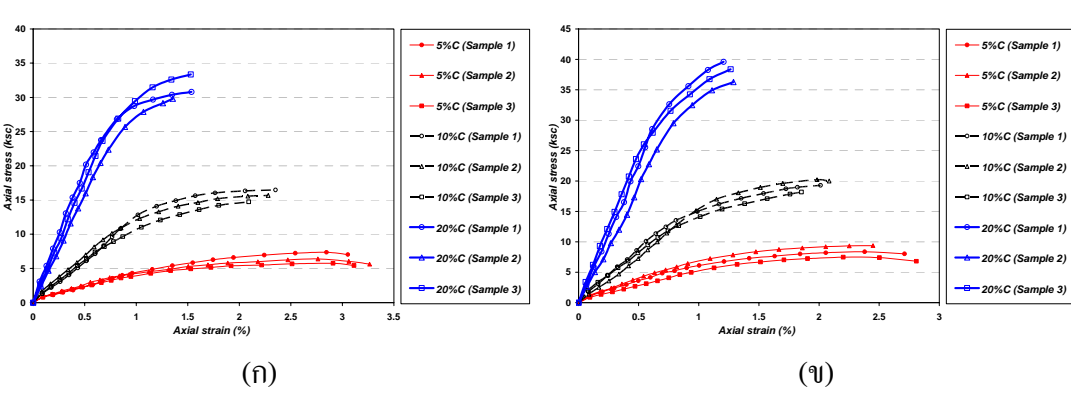
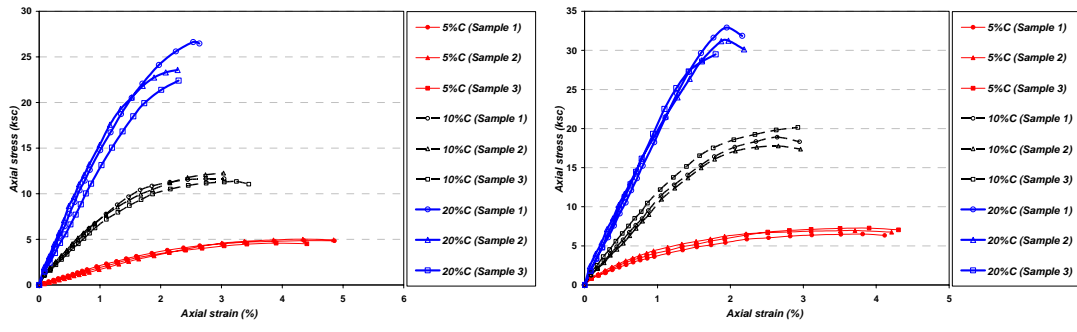
รูปที่ က-19 ความสัมพันธ์ระหว่าง Strain กับ Stress ดินระโนด (က) 1D, LL (ဗ) 7D, LL

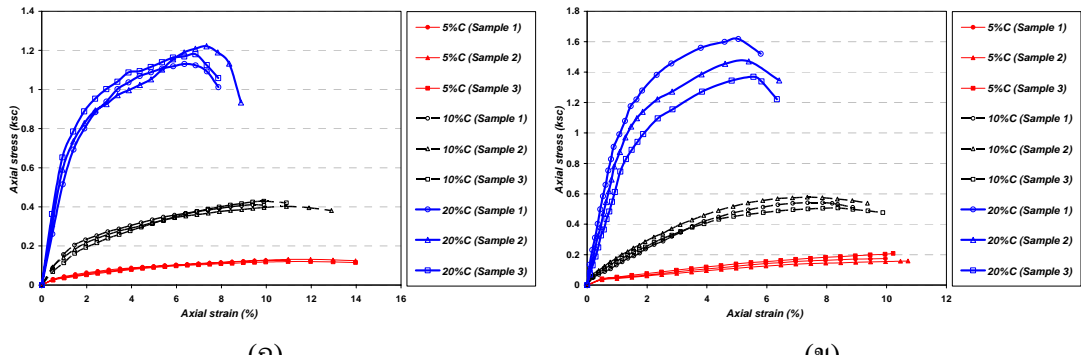


รูปที่ က-20 ความสัมพันธ์ระหว่าง Strain กับ Stress ดินระโนด (က) 14D, LL (ဗ) 28D, LL

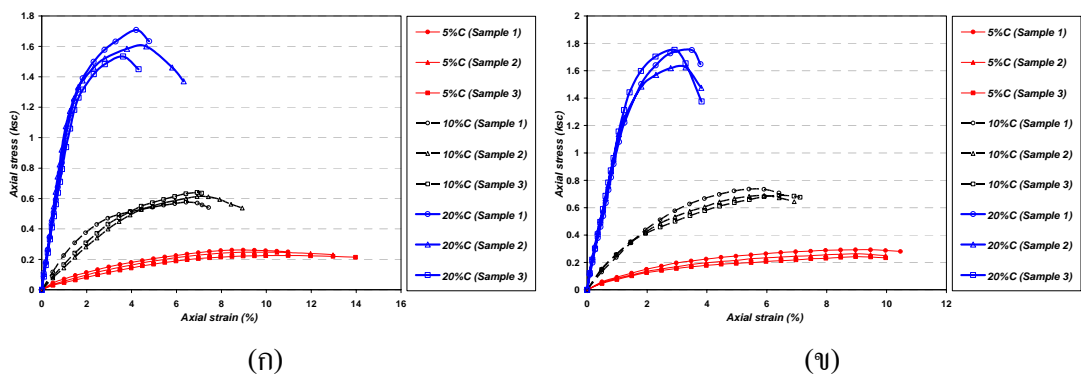


รูปที่ က-21 ความสัมพันธ์ระหว่าง Strain กับ Stress ดินระโนด (က) 1D, NWC (ဗ) 7D, NWC

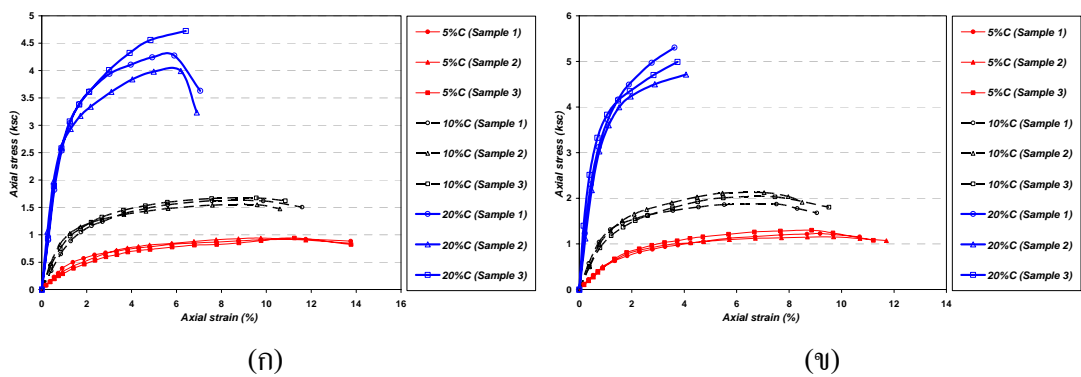




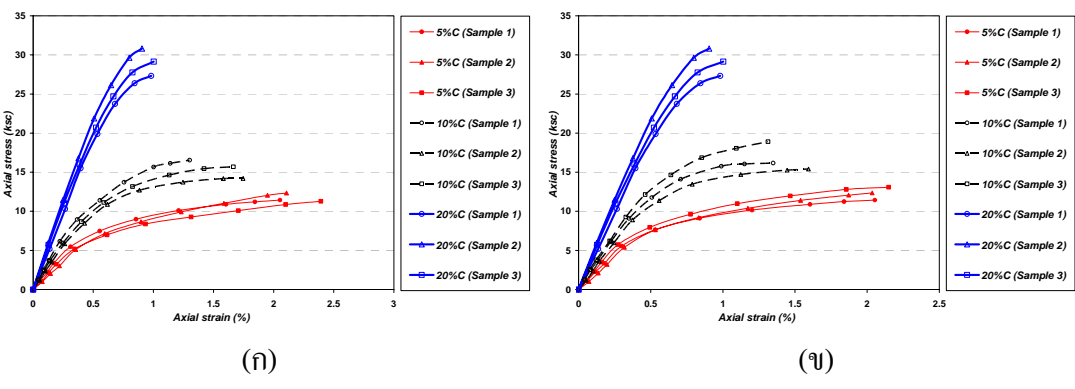
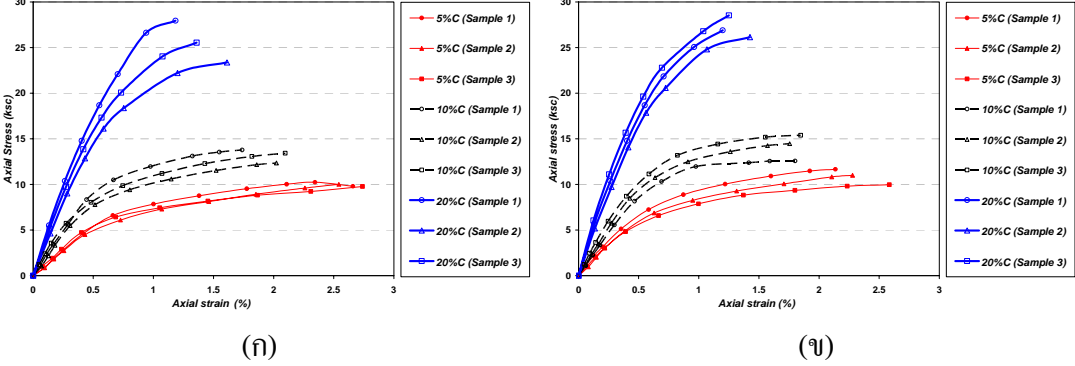
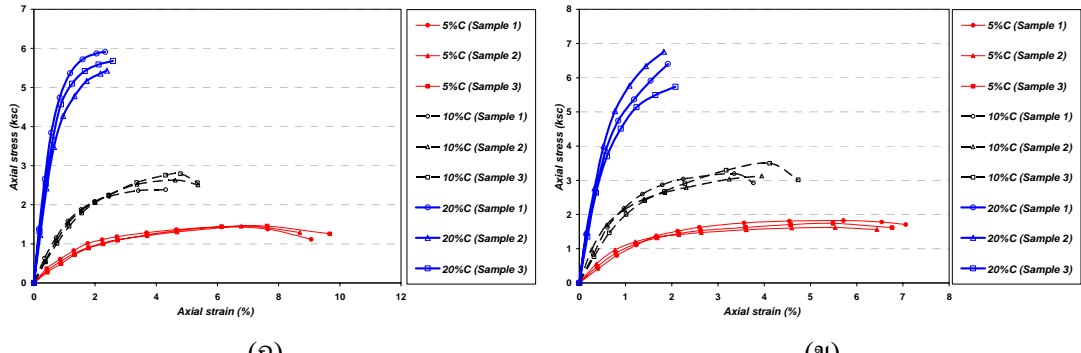
รูปที่ ก-25 ความสัมพันธ์ระหว่าง Strain กับ Stress คืนตัวมะลัง (ก) 1D, LL (ψ) 7D, LL

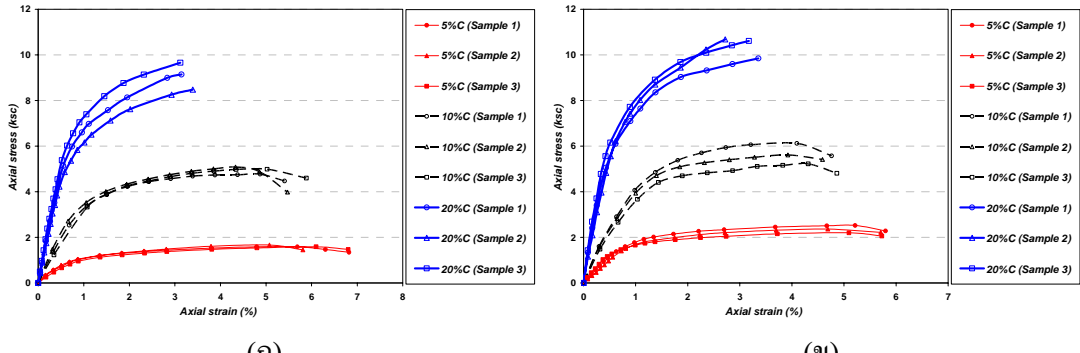


รูปที่ ก-26 ความสัมพันธ์ระหว่าง Strain กับ Stress คืนตัวมะลัง (ก) 14D, LL (ψ) 28D, LL

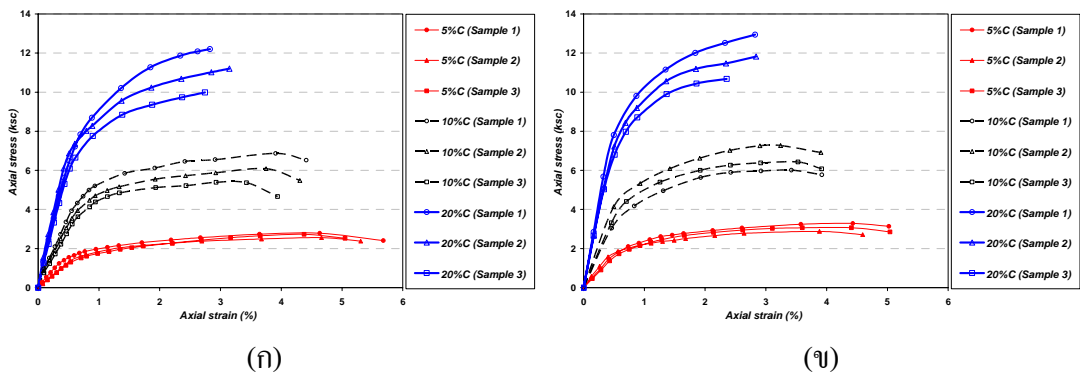


รูปที่ ก-27 ความสัมพันธ์ระหว่าง Strain กับ Stress คืนตัวมะลัง (ก) 1D, NWC (ψ) 7D, NWC

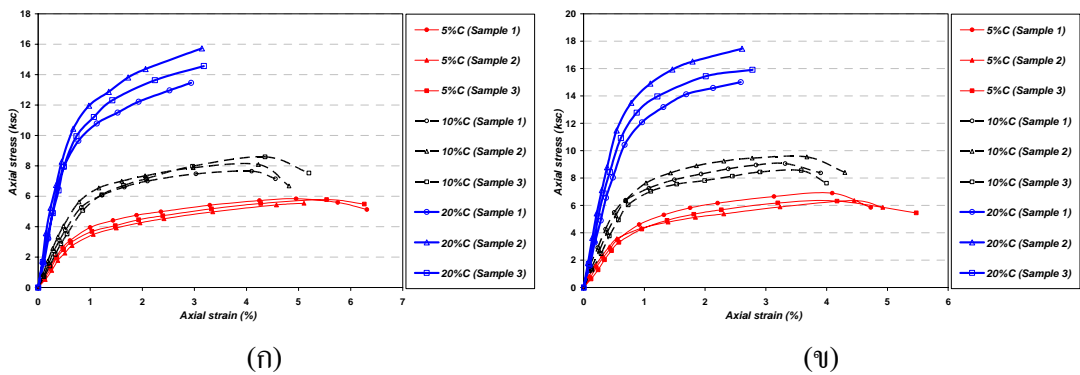




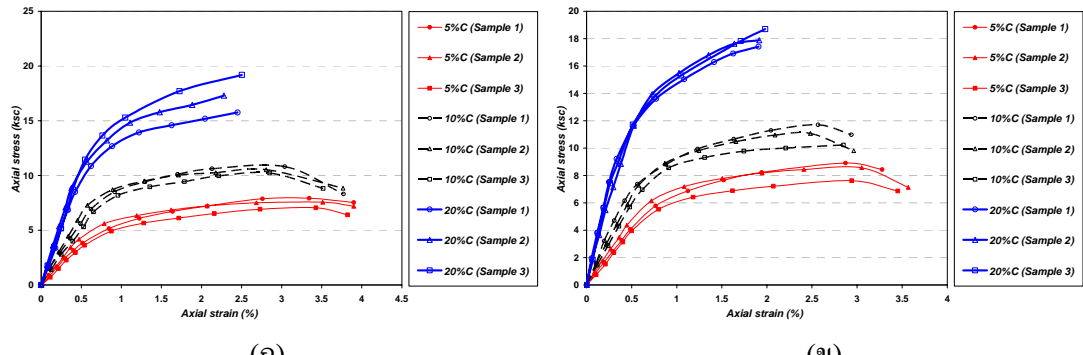
รูปที่ ก-31 ความสัมพันธ์ระหว่าง Strain กับ Stress ดินปากbara (ก) 1D, LL (ก) 7D, LL



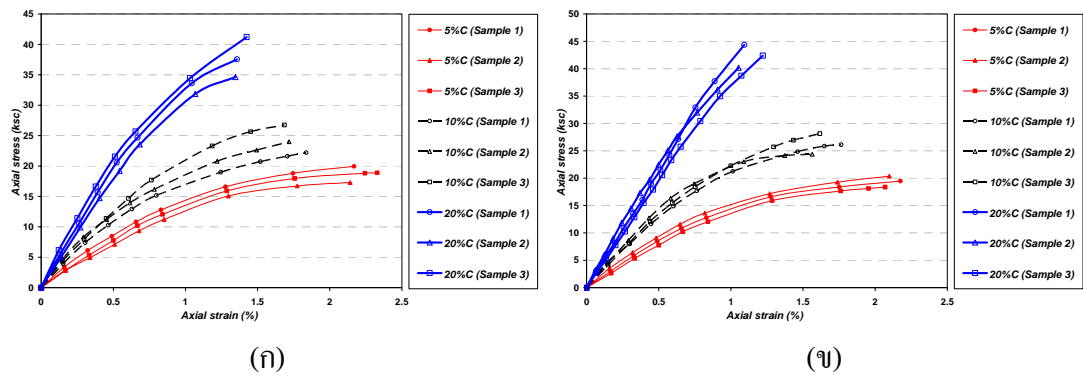
รูปที่ ก-32 ความสัมพันธ์ระหว่าง Strain กับ Stress ดินปากbara (ก) 14D, LL (ก) 28D, LL



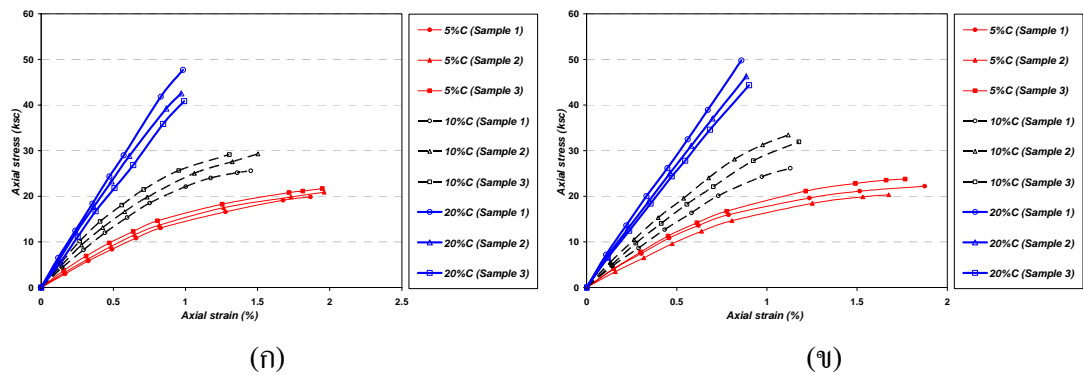
รูปที่ ก-33 ความสัมพันธ์ระหว่าง Strain กับ Stress ดินปากbara (ก) 1D, NWC (ก) 7D, NWC



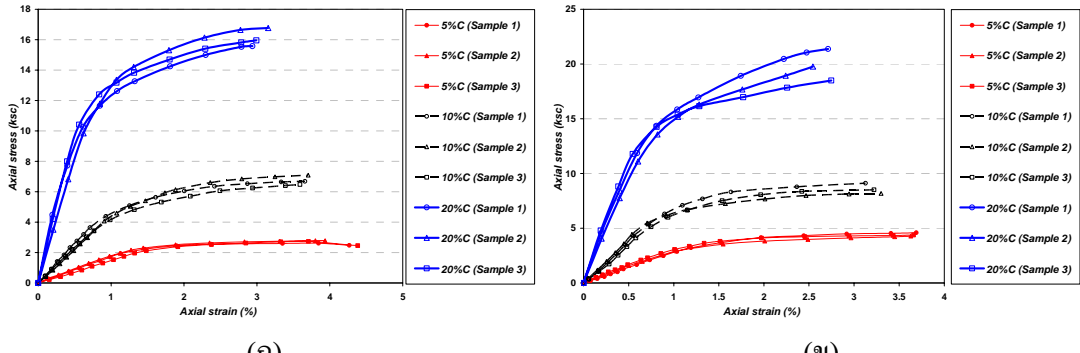
รูปที่ ก-34 ความสัมพันธ์ระหว่าง Strain กับ Stress ดินปากบารา (ก) 14D, NWC (_u) 28D, NWC



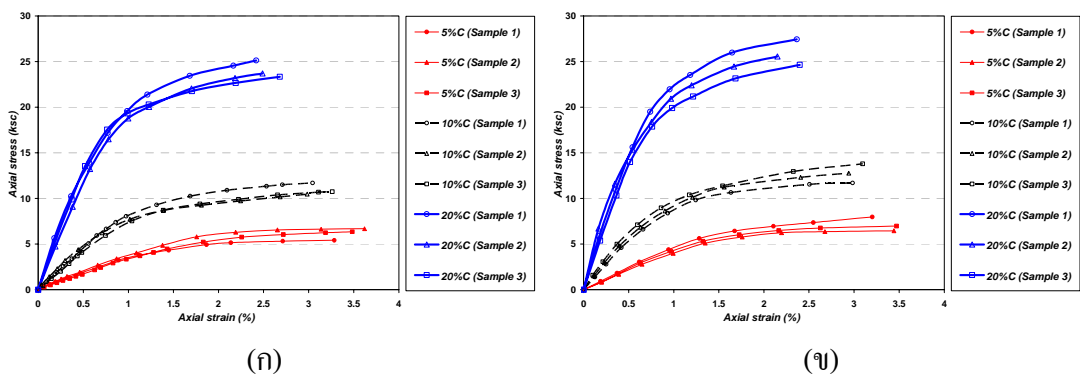
รูปที่ ก-35 ความสัมพันธ์ระหว่าง Strain กับ Stress ดินปากบารา (ก) 1D, OMC (_u) 7D, OMC



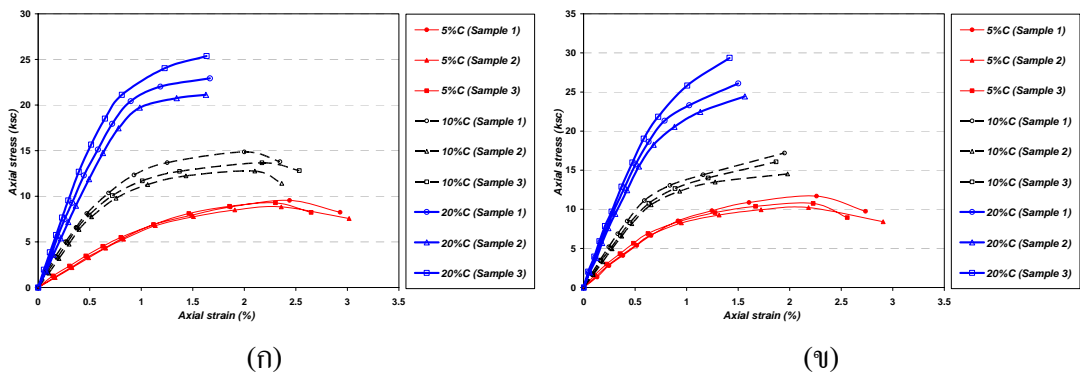
รูปที่ ก-36 ความสัมพันธ์ระหว่าง Strain กับ Stress ดินปากบารา (ก) 14D, OMC (_u) 28D, OMC



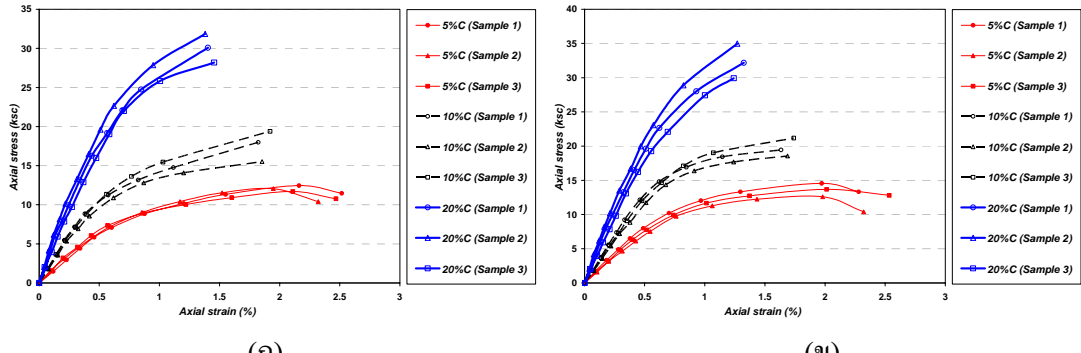
รูปที่ ก-37 ความสัมพันธ์ระหว่าง Strain กับ Stress ดินคลอกรูด (ก) 1D, LL (ข) 7D, LL



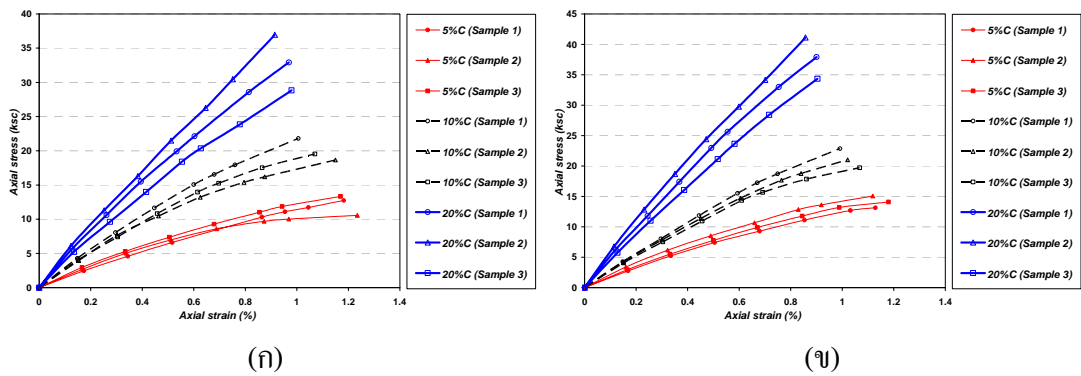
รูปที่ ก-38 ความสัมพันธ์ระหว่าง Strain กับ Stress ดินคลอกรูด (ก) 14D, LL (ข) 28D, LL



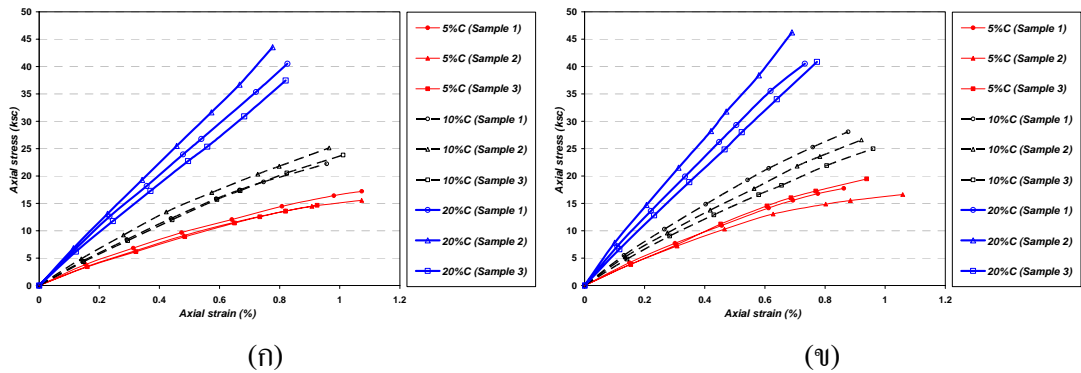
รูปที่ ก-39 ความสัมพันธ์ระหว่าง Strain กับ Stress ดินคลอกรูด (ก) 1D, NWC (ข) 7D, NWC



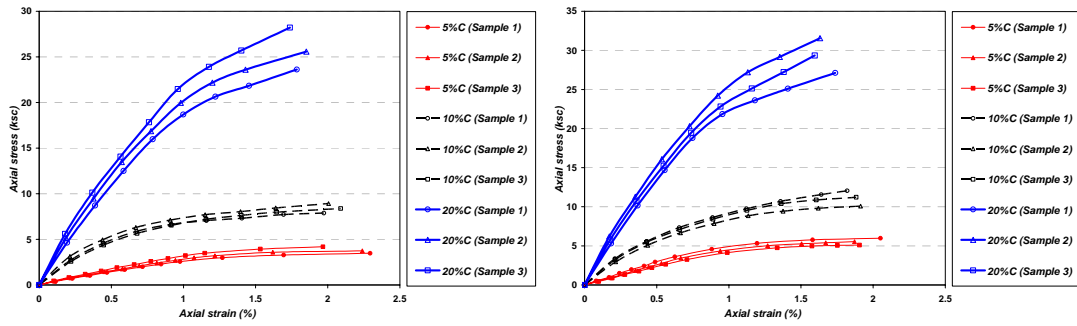
รูปที่ ๔-๔๐ ความสัมพันธ์ระหว่าง Strain กับ Stress ดินคลอลงชุด (n) 14D, NWC (u) 28D, NWC



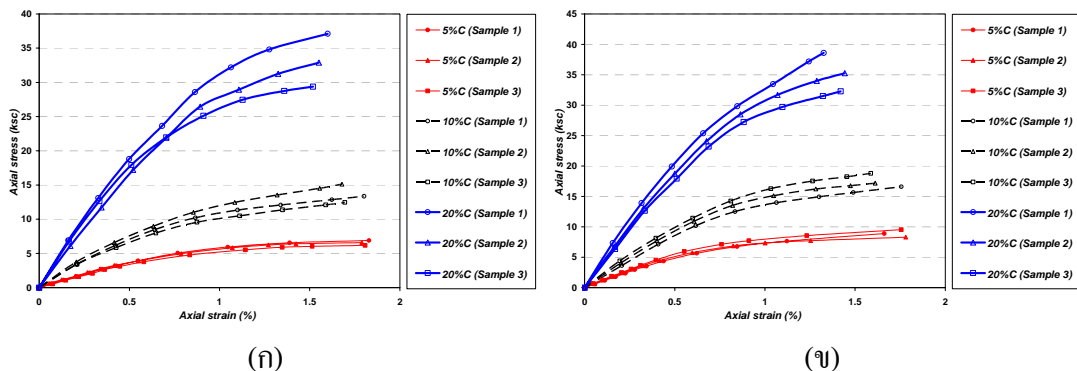
รูปที่ ๔-๔๑ ความสัมพันธ์ระหว่าง Strain กับ Stress ดินคลอลงชุด (n) 1D, OMC (u) 7D, OMC



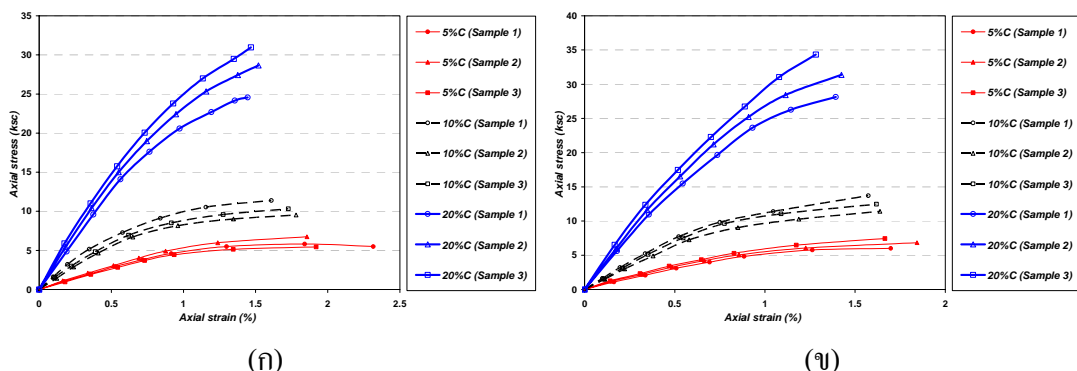
รูปที่ ๔-๔๒ ความสัมพันธ์ระหว่าง Strain กับ Stress ดินคลอลงชุด (n) 14D, OMC (u) 28D, OMC



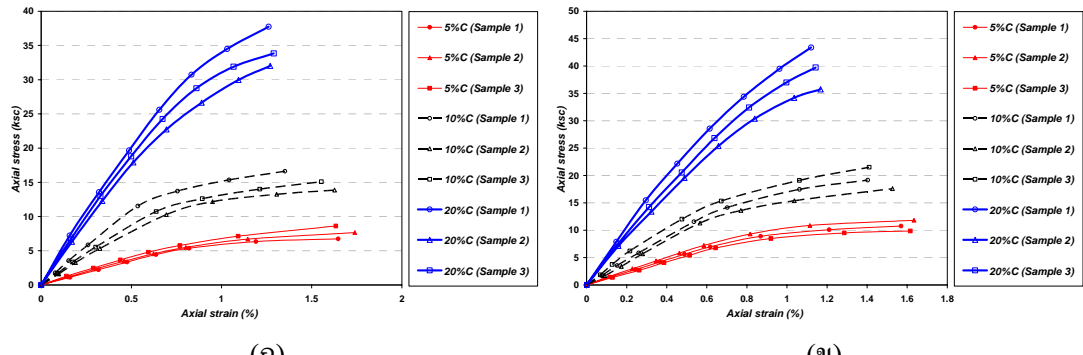
รูปที่ ก-43 ความสัมพันธ์ระหว่าง Strain กับ Stress ดิน粘土 (ก) 1D, LL (ข) 7D, LL



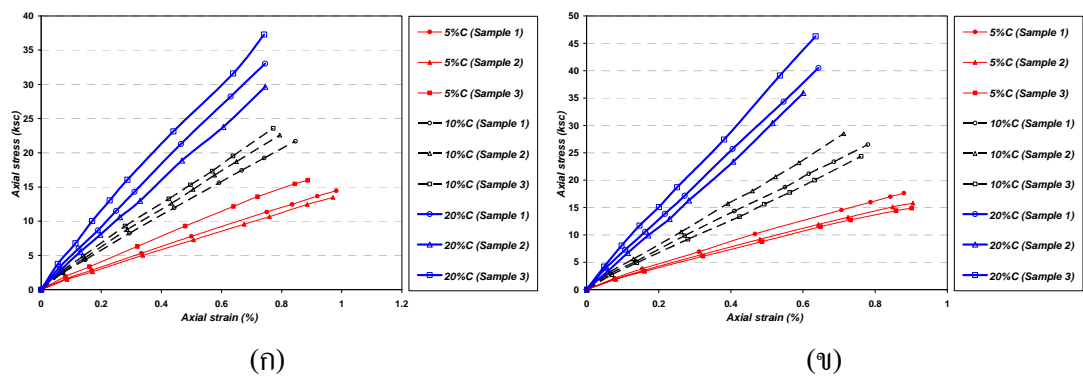
รูปที่ ก-44 ความสัมพันธ์ระหว่าง Strain กับ Stress ดิน粘土 (ก) 14D, LL (ข) 28D, LL



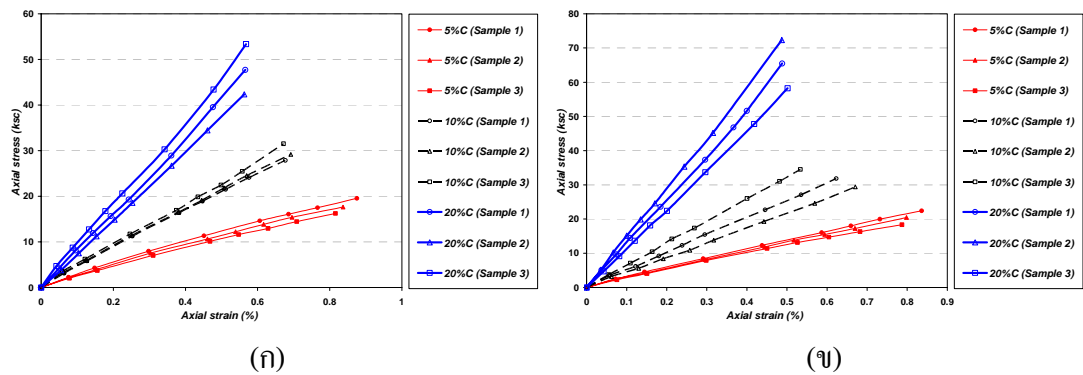
รูปที่ ก-45 ความสัมพันธ์ระหว่าง Strain กับ Stress ดิน粘土 (ก) 1D, NWC (ข) 7D, NWC



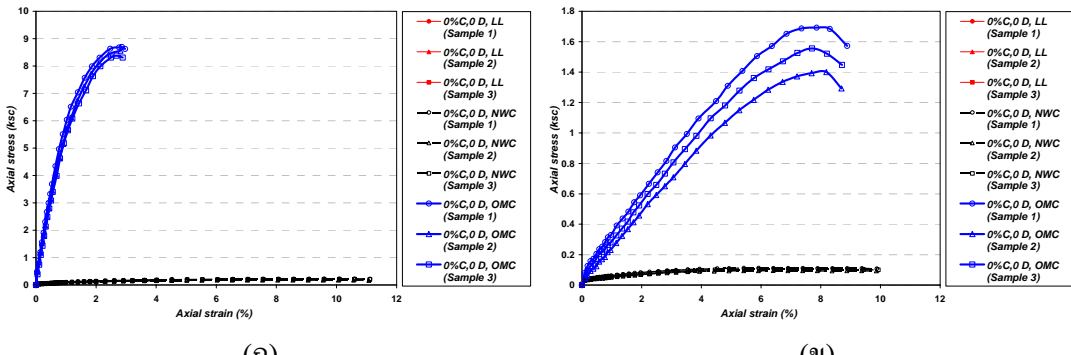
รูปที่ ก-46 ความสัมพันธ์ระหว่าง Strain กับ Stress ดิน粘土 (n) 14D, NWC (u) 28D, NWC



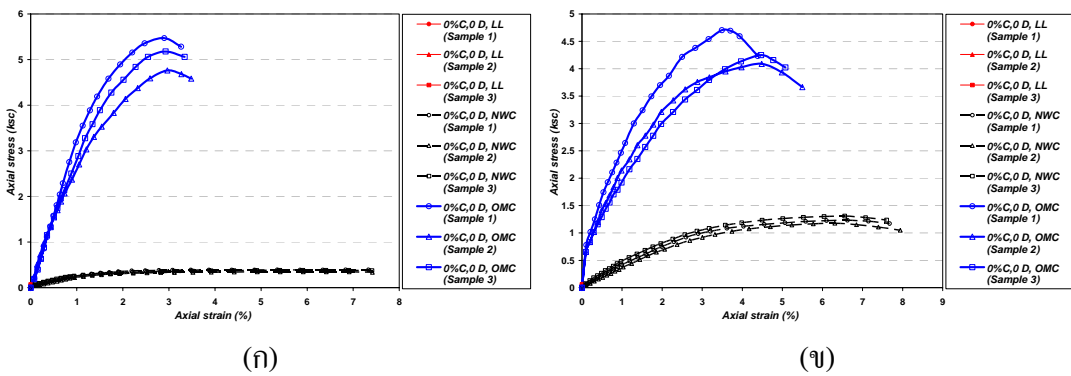
รูปที่ ก-47 ความสัมพันธ์ระหว่าง Strain กับ Stress ดิน粘土 (n) 1D, OMC (u) 7D, OMC



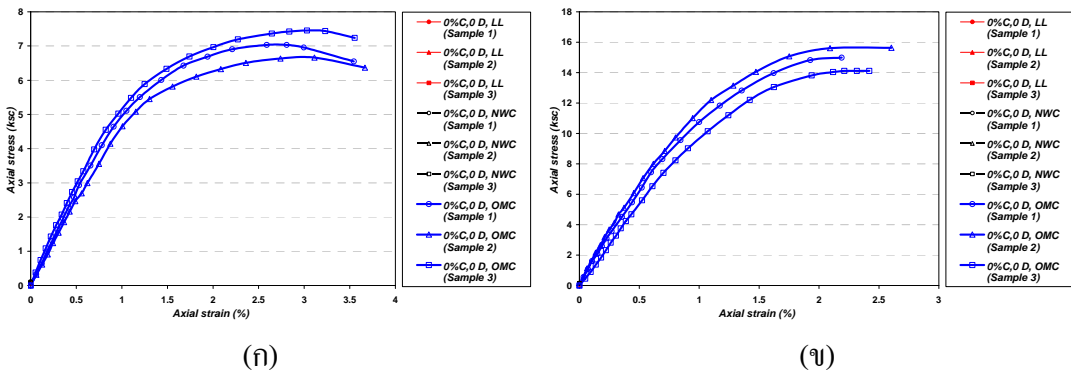
รูปที่ ก-48 ความสัมพันธ์ระหว่าง Strain กับ Stress ดิน粘土 (n) 14D, OMC (u) 28D, OMC



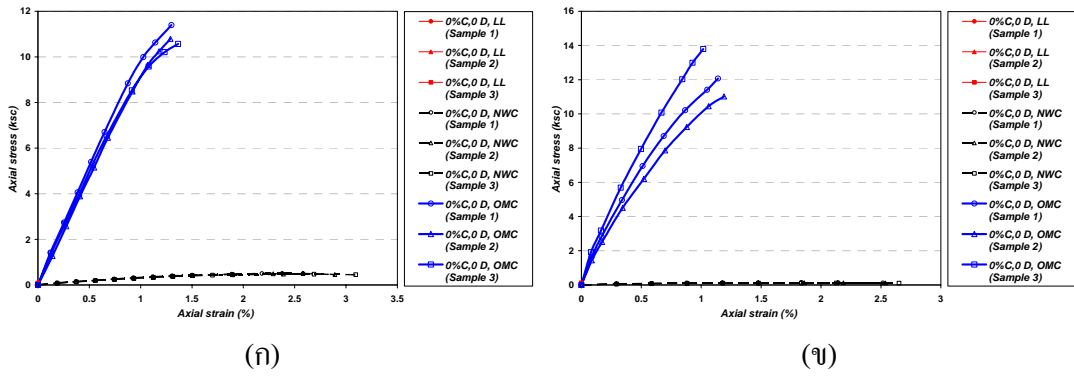
รูปที่ ก-49 ความสัมพันธ์ระหว่าง Strain กับ Stress (η) ดินเดิมลบบริราเมศวร์ (ψ) ดินเดิมคิมสุลานนท์



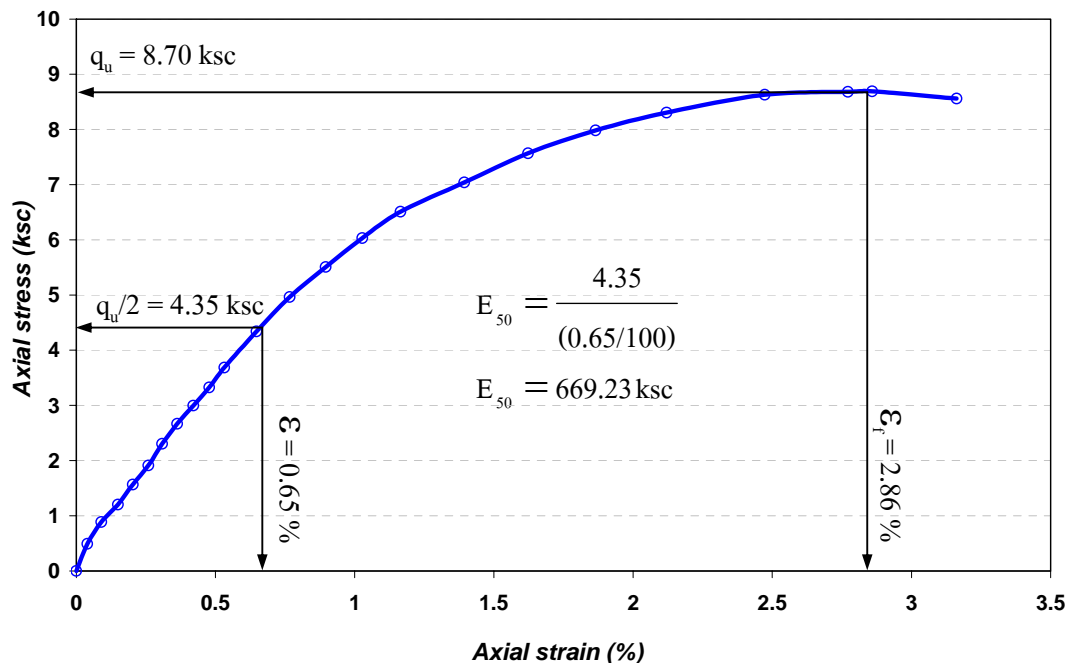
รูปที่ ก-50 ความสัมพันธ์ระหว่าง Strain กับ Stress (η) ดินเดิมโรงไฟฟ้าสังขลา (ψ) ดินเดิมระโนด



รูปที่ ก-51 ความสัมพันธ์ระหว่าง Strain กับ Stress (η) ดินเดิมคำชะงัก (ψ) ดินเดิมปากบารา



รูปที่ ก-52 ความสัมพันธ์ระหว่าง Strain กับ Stress (ก) ดินเดิมคลองบุด (ข) ดินเดิมฉลุ่ง

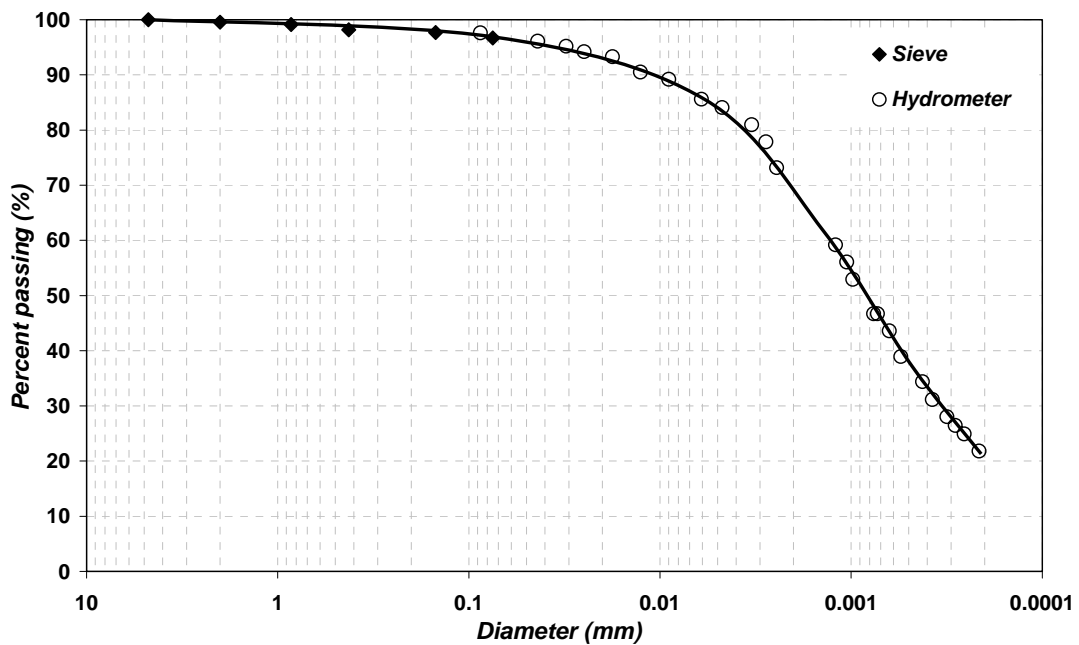


รูปที่ ก-53 การหาค่าโมดูลัสยืดหยุ่น (E_{50})

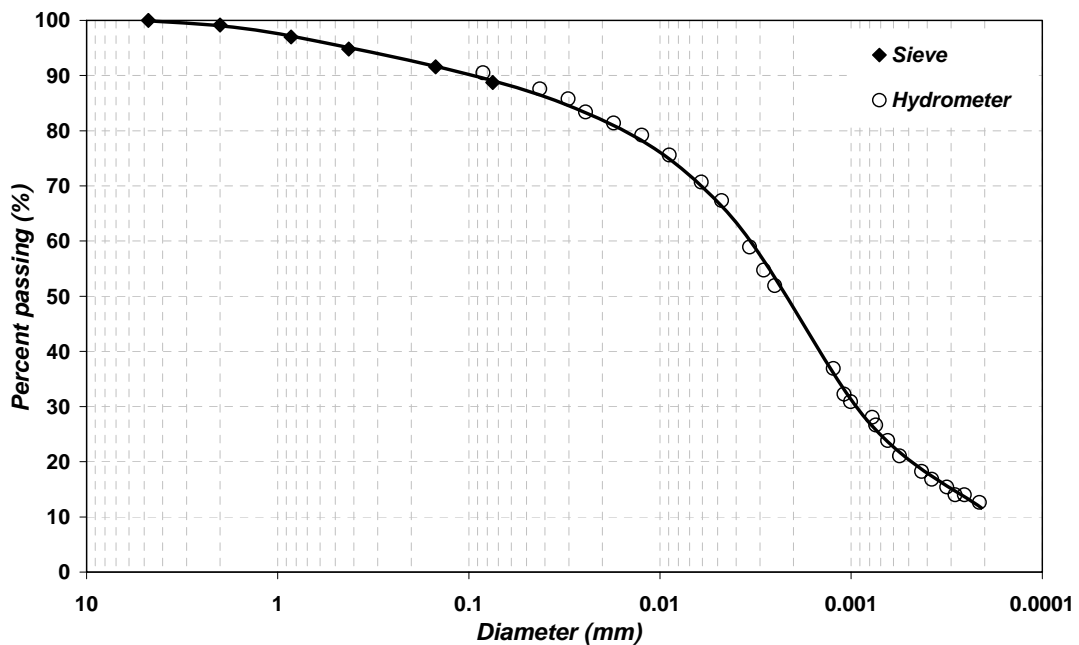
ภาคผนวก ข.

การกระจายตัวของเม็ดดิน

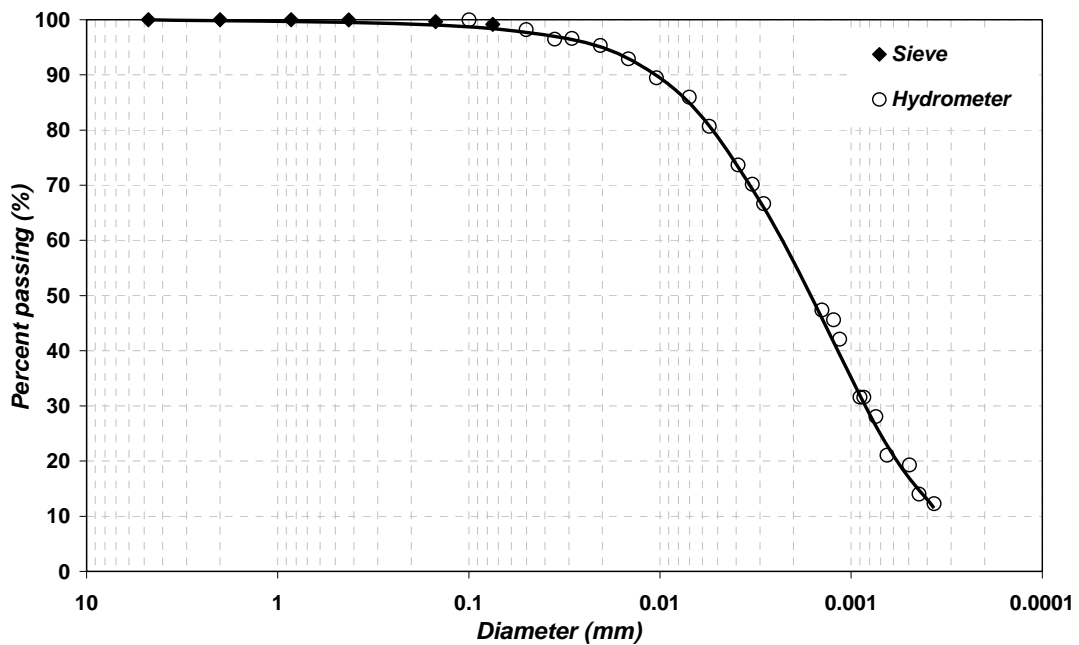
- ดินลพบุรีรามคำว์ อ. หาดใหญ่ จ. สงขลา
- ดินดิบสูลานนท์ อ. เมือง จ. สงขลา
- ดินโรงไฟฟ้าสงขลา อ. จันะ จ. สงขลา
- ดินระโนด อ. ระโนด จ. สงขลา
- ดินคำมะลัง อ. เมือง จ. สตูล
- ดินปากบารา อ. ละงู จ. สตูล
- ดินคลองบุด อ. เมือง จ. สตูล
- ดินกลุ่ง อ. เมือง จ. สตูล



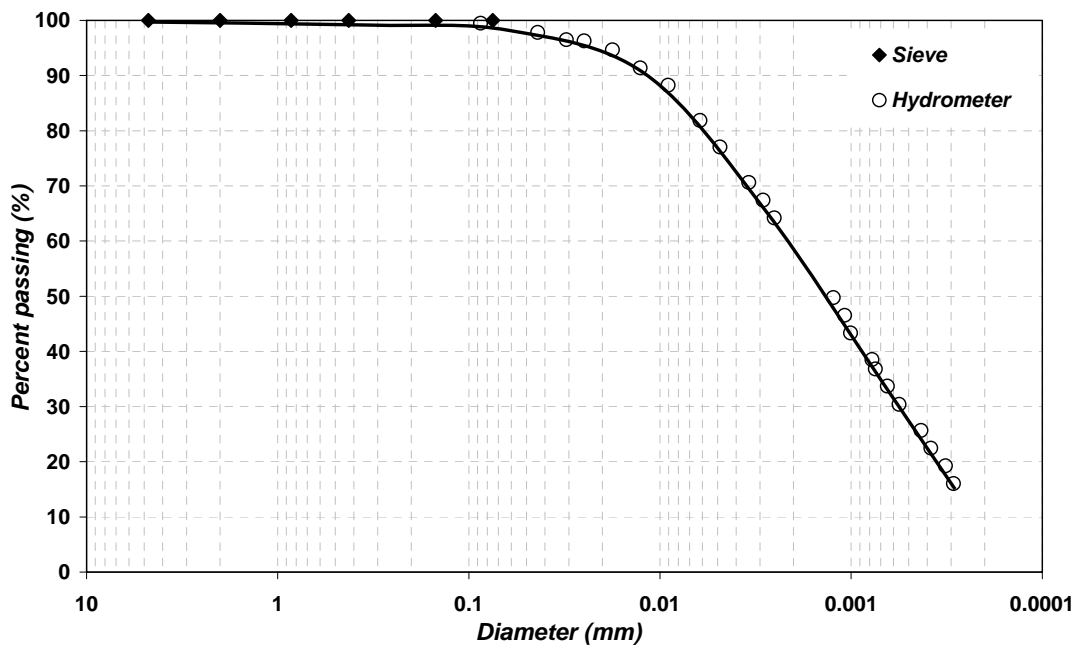
รูปที่ ข-1 การกระจายตัวของเม็ดดิน ดินลบบุรีราเมศวร์ จังหวัดสงขลา



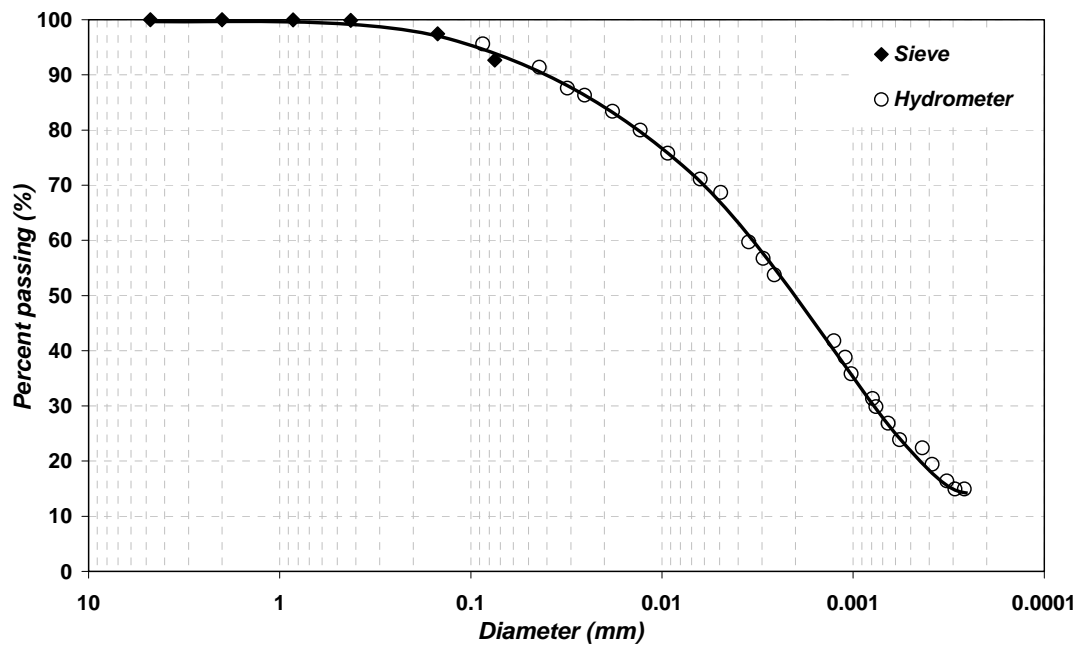
รูปที่ ข-2 การกระจายตัวของเม็ดดิน ดินติ่มสุลามันท์ จังหวัดสงขลา



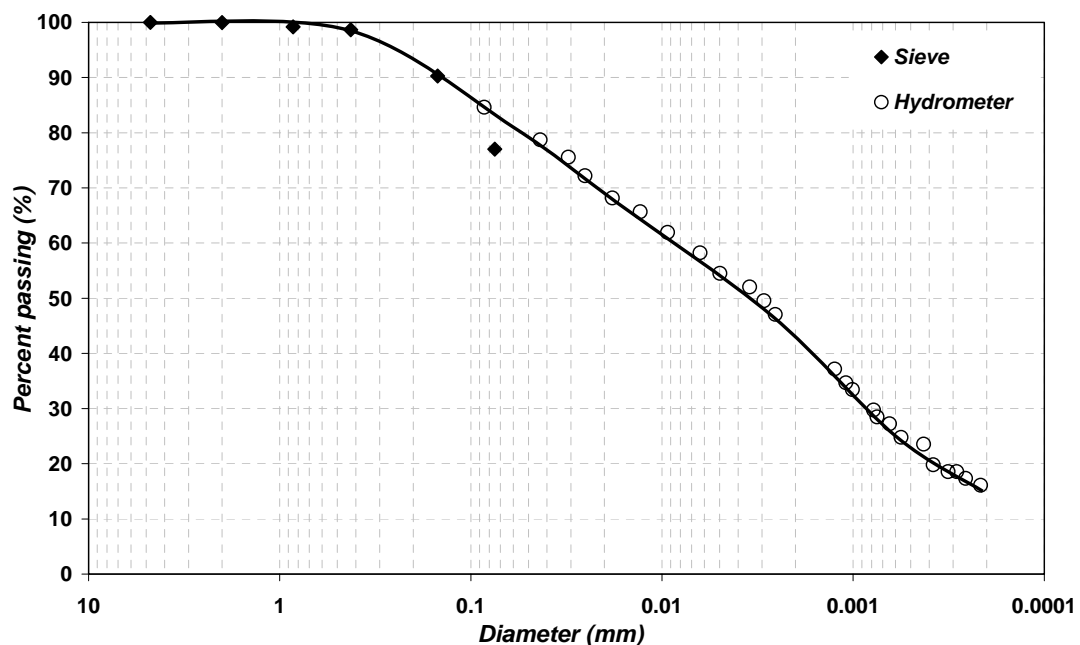
รูปที่ ข-3 การกระจายตัวของเม็ดดิน ดินโรงไฟฟ้าสังขลา จังหวัดสังขลา



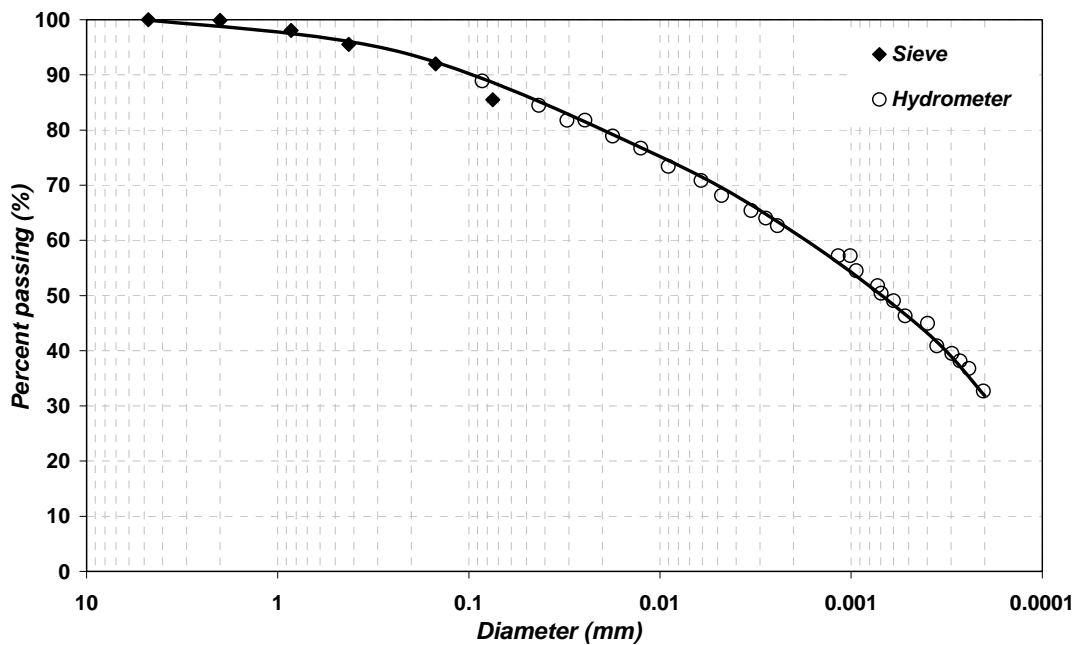
รูปที่ ข-4 การกระจายตัวของเม็ดดิน ดินระโนด จังหวัดสังขลา



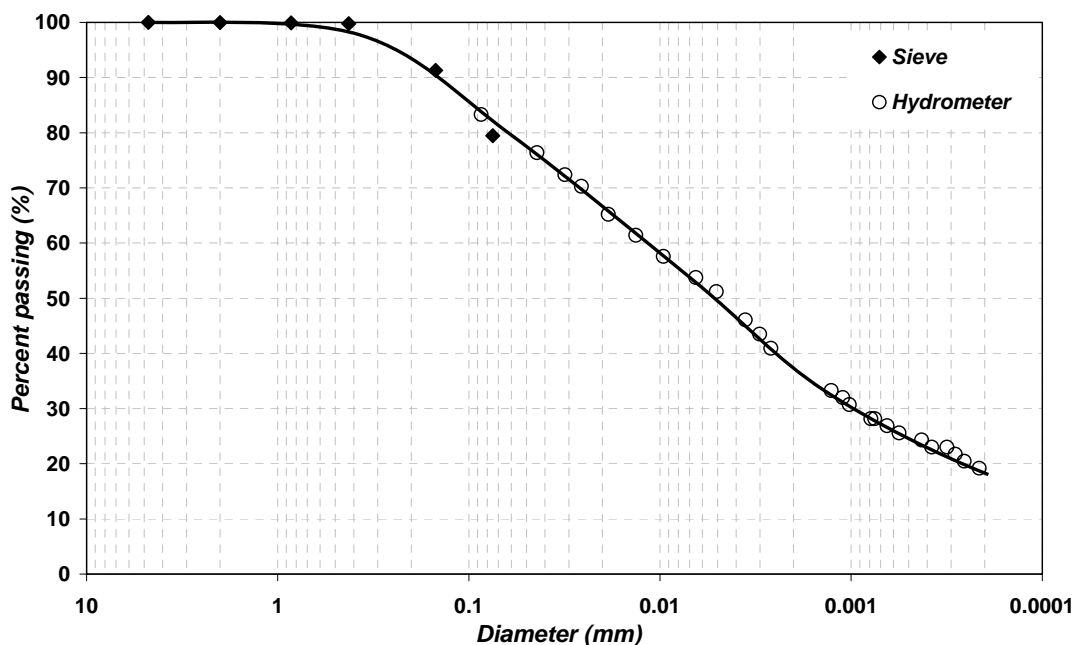
รูปที่ ข-5 การกระจายตัวของเม็ดดิน ดินต่ำมลัง จังหวัดสตูล



รูปที่ ข-6 การกระจายตัวของเม็ดดิน ดินปากบารา จังหวัดสตูล



รูปที่ ข-7 การกระจายตัวของเม็ดดิน ดินคลองบุด จังหวัดสตูล

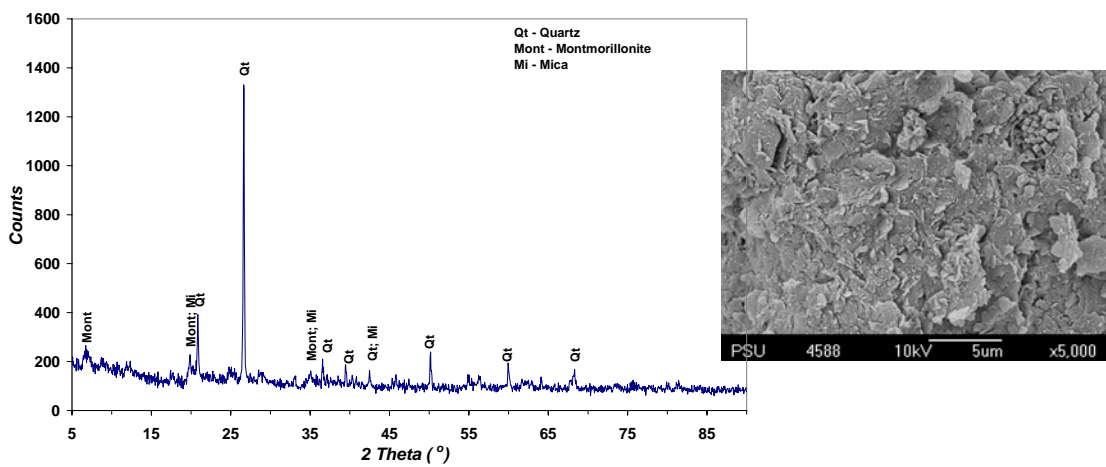


รูปที่ ข-8 การกระจายตัวของเม็ดดิน ดินลุ่ง จังหวัดสตูล

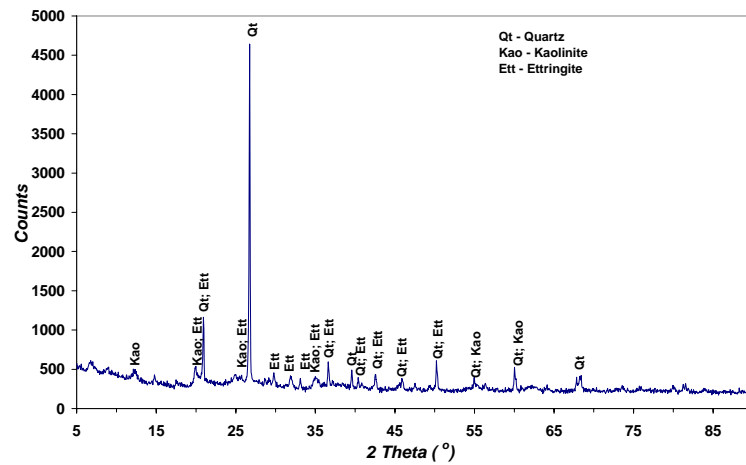
ภาคผนวก ค.

ลายพิมพ์ XRD และภาพถ่ายจุลทรรศน์ SEM

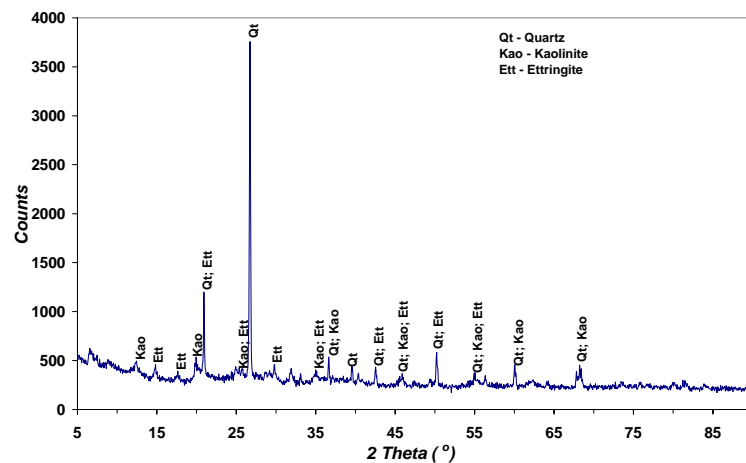
- คินดิณสูลานนท์ อ. เมือง จ. สงขลา
- คินໂරงໄไฟฟ้าสงขลา อ. ยะนະ จ. สงขลา
- คินตํามะลัง อ. เมือง จ. สตูล
- คินคลุง อ. เมือง จ. สตูล



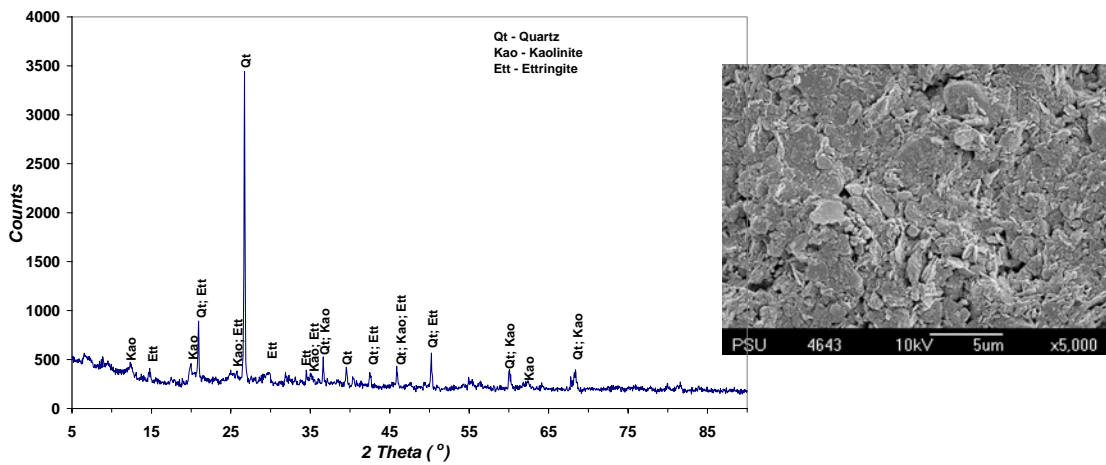
รูปที่ ค-1 ลายพิมพ์ XRD และภาพถ่ายจุลทรรศน์ SEM ดินเคลือบ ดินติณสุลานนท์



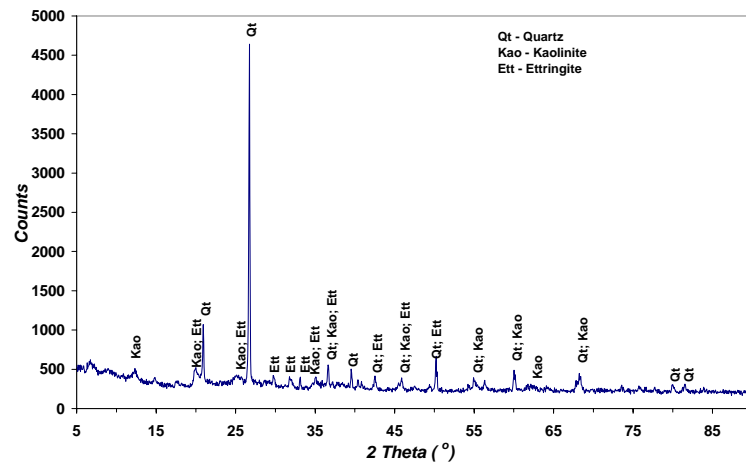
รูปที่ ค-2 ลายพิมพ์ XRD ดินติณสุลานนท์ 5 %C, 1 D, NWC



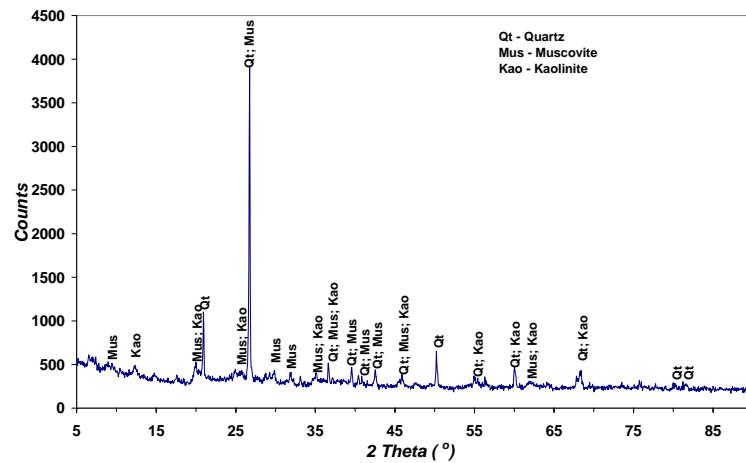
รูปที่ ค-3 ลายพิมพ์ XRD ดินติณสุลานนท์ 10 %C, 1 D, NWC



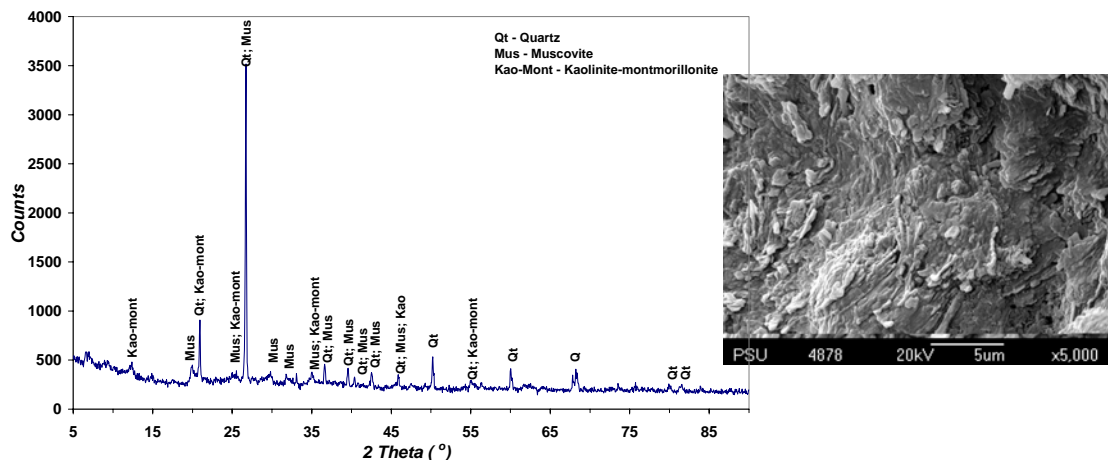
รูปที่ ค-4 ลายพิมพ์ XRD และภาพถ่ายจุลทรรศน์ SEM ดินติณสุล้านที่ 20 %C, 1 D, NWC



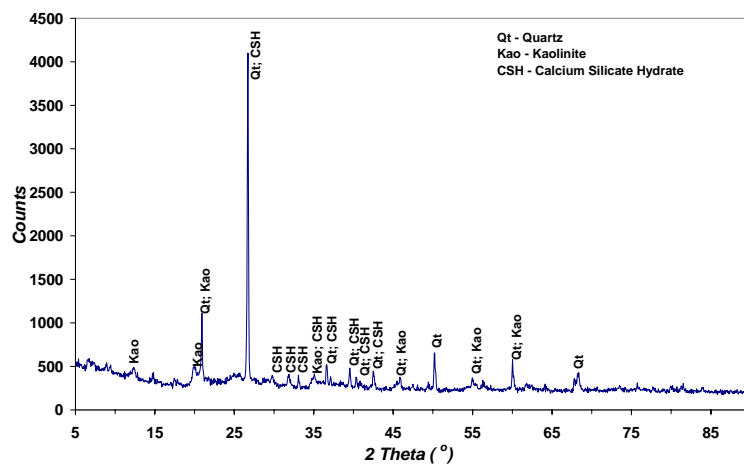
รูปที่ ค-5 ลายพิมพ์ XRD ดินติณสุล้านที่ 5 %C, 7 D, NWC



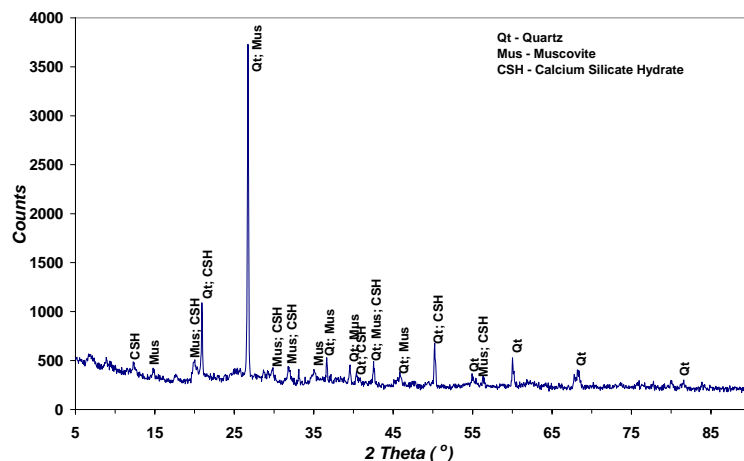
รูปที่ ค-6 ลายพิมพ์ XRD ดินติณสุล้านที่ 10 %C, 7 D, NWC



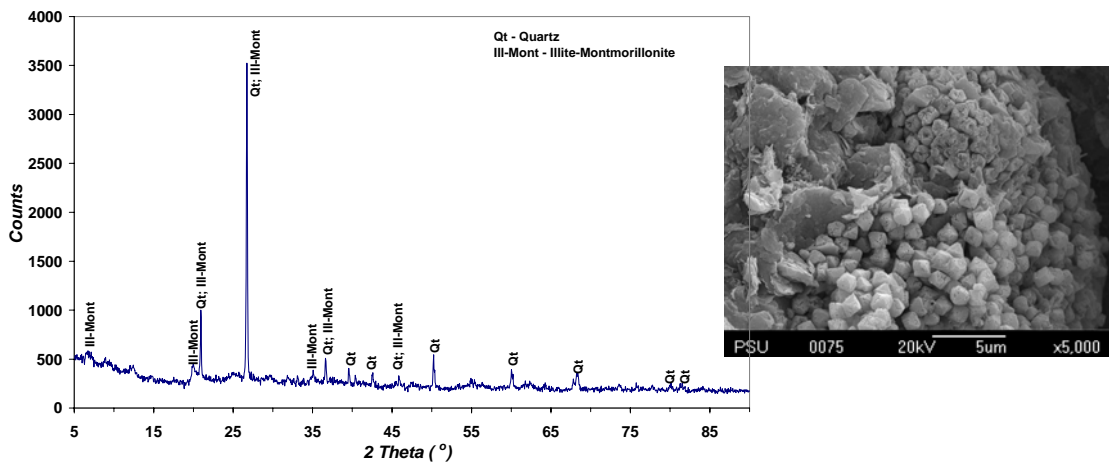
รูปที่ ค-7 ลายพิมพ์ XRD และภาพถ่ายจุลทรรศน์ SEM ดินติบสุล่านท์ 20 %C, 7 D, NWC



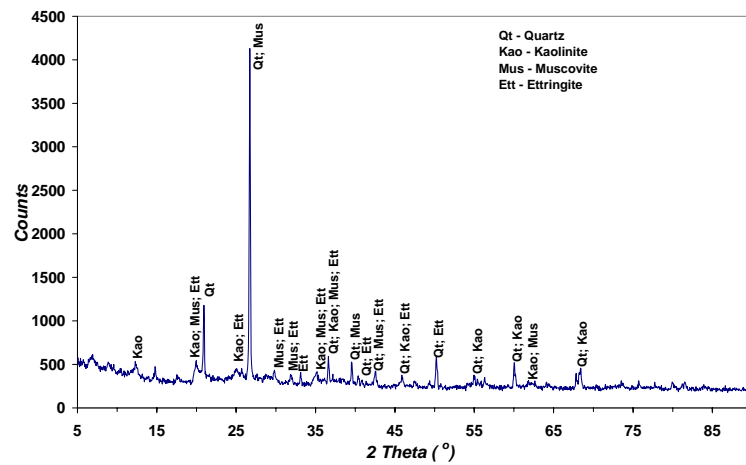
รูปที่ ค-8 ลายพิมพ์ XRD ดินติบสุล่านท์ 5 %C, 14 D, NWC



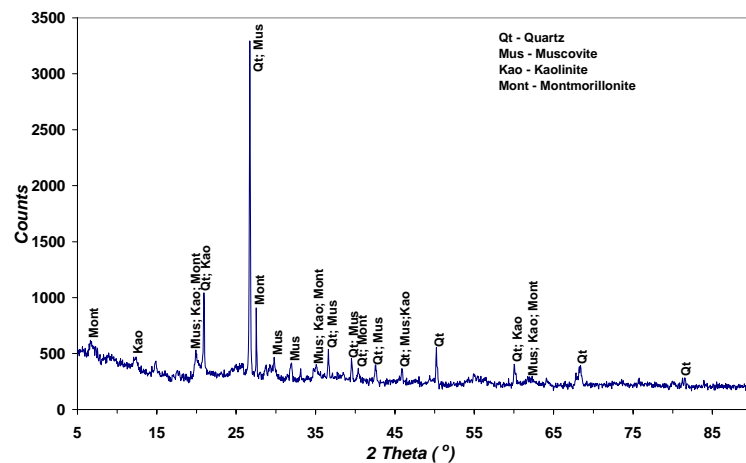
รูปที่ ค-9 ลายพิมพ์ XRD ดินติบสุล่านท์ 10 %C, 14 D, NWC



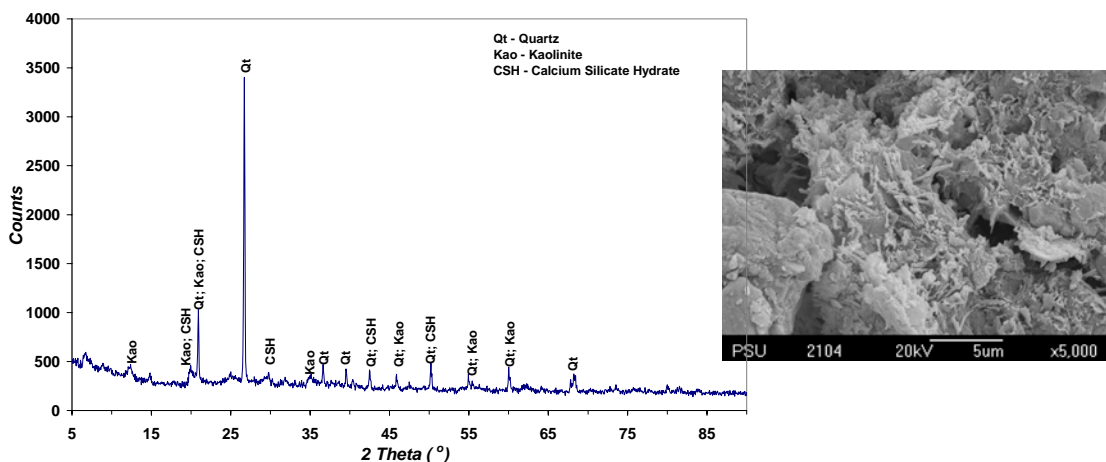
รูปที่ ค-10 ลายพิมพ์ XRD และภาพถ่ายจุลทรรศน์ SEM ดินติบสุลานนท์ 20 %C, 14 D, NWC



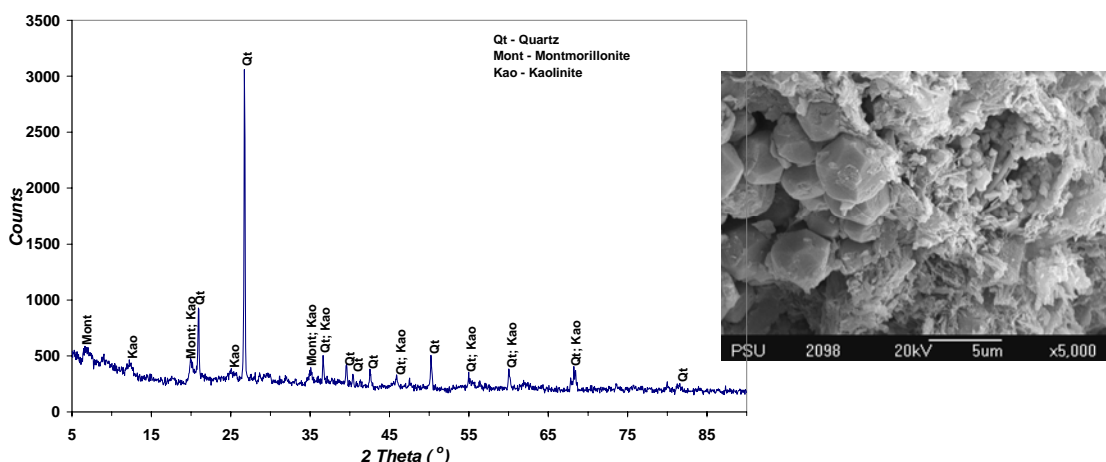
รูปที่ ค-11 ลายพิมพ์ XRD ดินติบสุลานนท์ 5 %C, 28 D, NWC



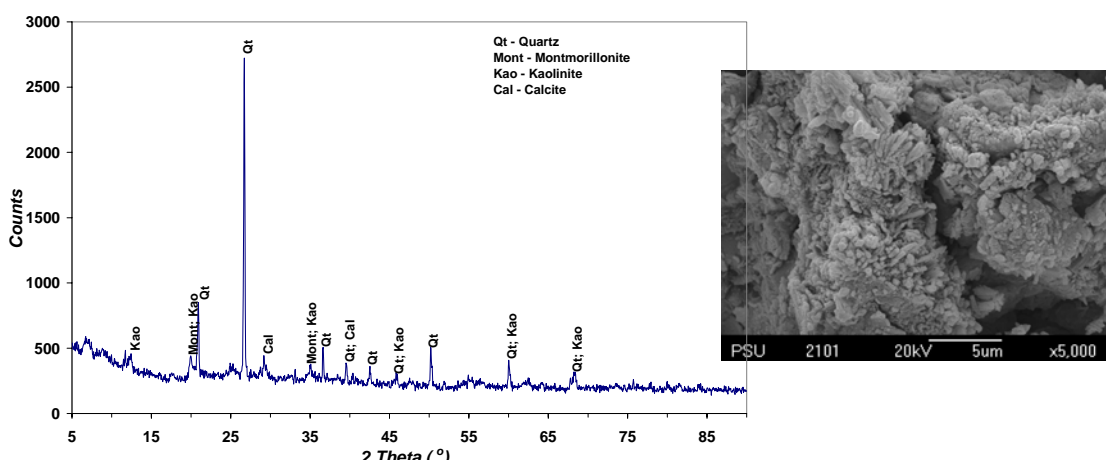
รูปที่ ค-12 ลายพิมพ์ XRD ดินติบสุลานนท์ 10 %C, 28 D, NWC



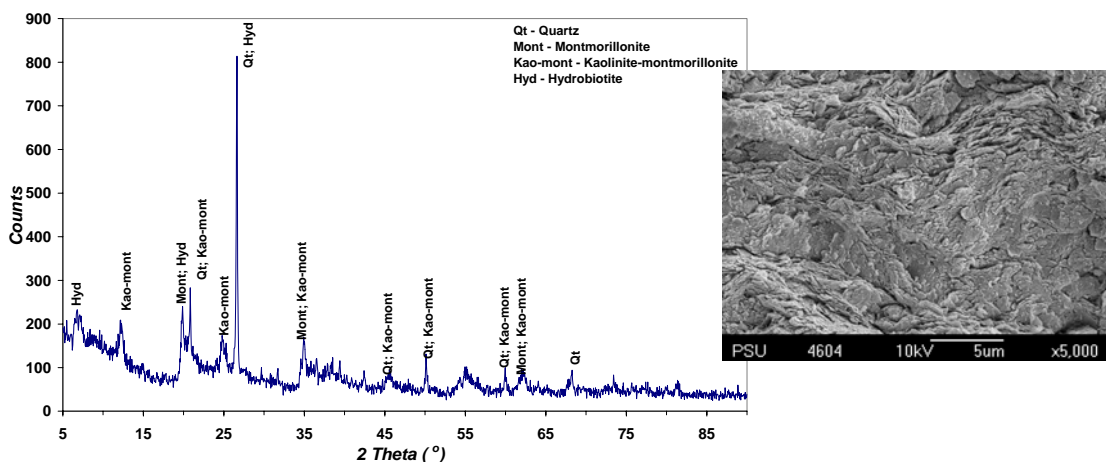
รูปที่ ค-13 ลายพิมพ์ XRD และภาพถ่ายจุลทรรศน์ SEM ดินดิบสุลานท์ 20 %C, 28 D, NWC



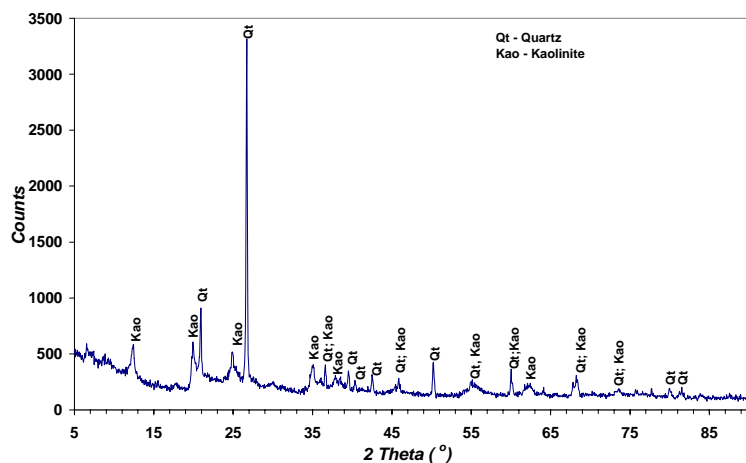
รูปที่ ค-14 ลายพิมพ์ XRD และภาพถ่ายจุลทรรศน์ SEM ดินดิบสุลานท์ 20 %C, 28 D, LL



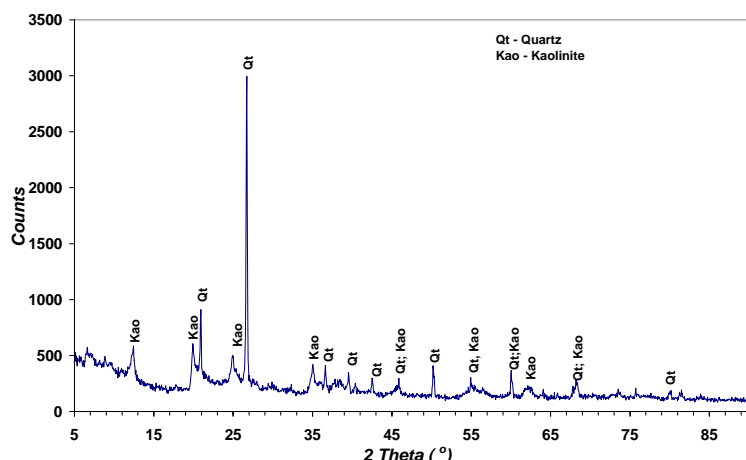
รูปที่ ค-15 ลายพิมพ์ XRD และภาพถ่ายจุลทรรศน์ SEM ดินดิบสุลานท์ 20 %C, 28 D, OMC



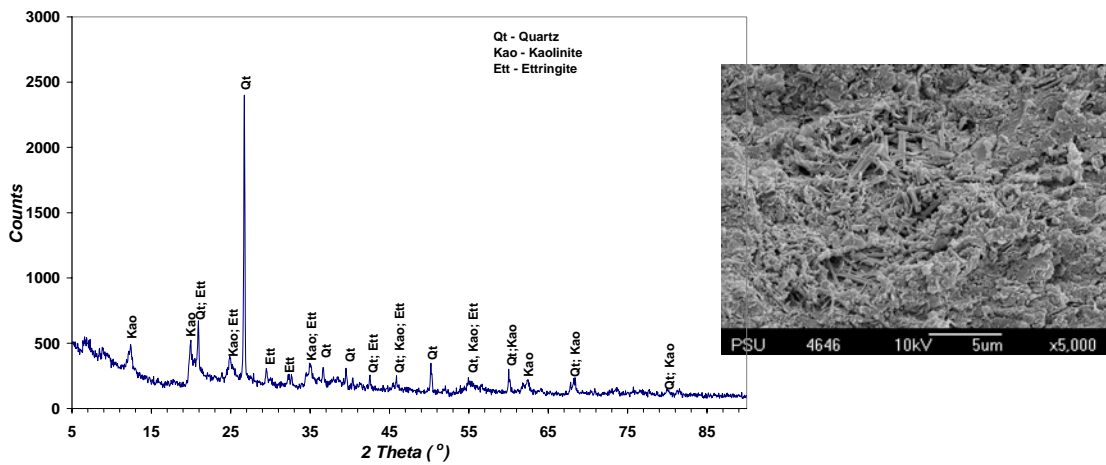
รูปที่ ค-16 ลายพิมพ์ XRD และภาพถ่ายจุลทรรศน์ SEM ดินเคลม ดินโรงไฟฟ้าสังขลา



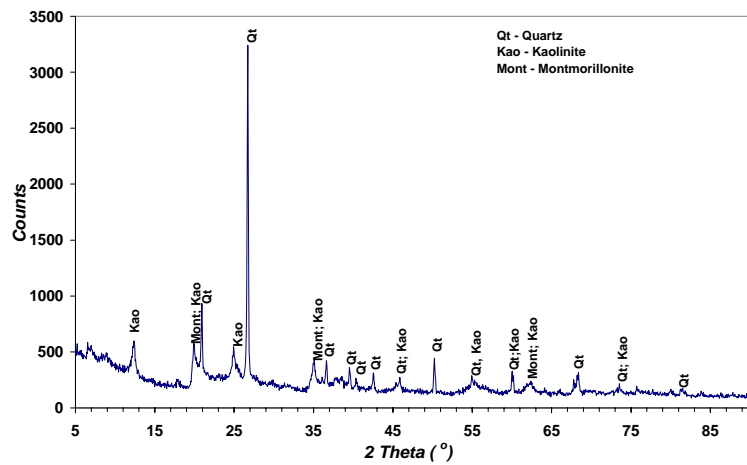
รูปที่ ค-17 ลายพิมพ์ XRD ดินโรงไฟฟ้าสังขลา 5 %C, 1 D, NWC



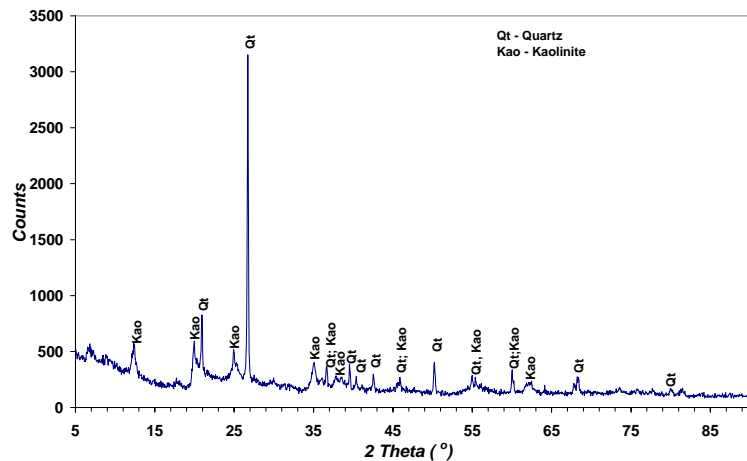
รูปที่ ค-18 ลายพิมพ์ XRD ดินโรงไฟฟ้าสังขลา 10 %C, 1 D, NWC



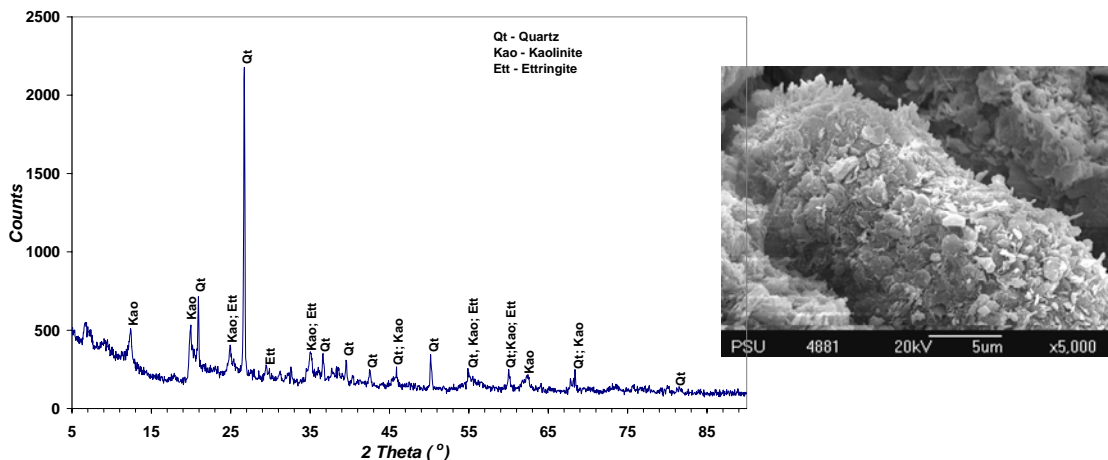
รูปที่ ค-19 ลายพิมพ์ XRD และภาพถ่ายจุลทรรศน์ SEM ดินโรงไฟฟ้าสังขลา 20 %C, 1 D, NWC



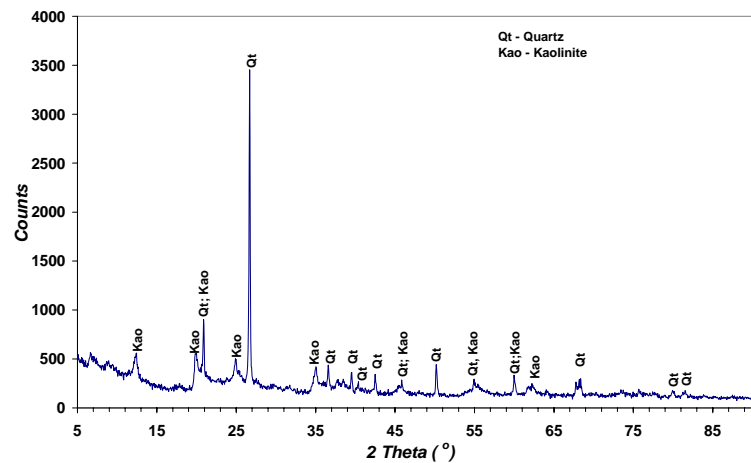
รูปที่ ค-20 ลายพิมพ์ XRD ดินโรงไฟฟ้าสังขลา 5 %C, 7 D, NWC



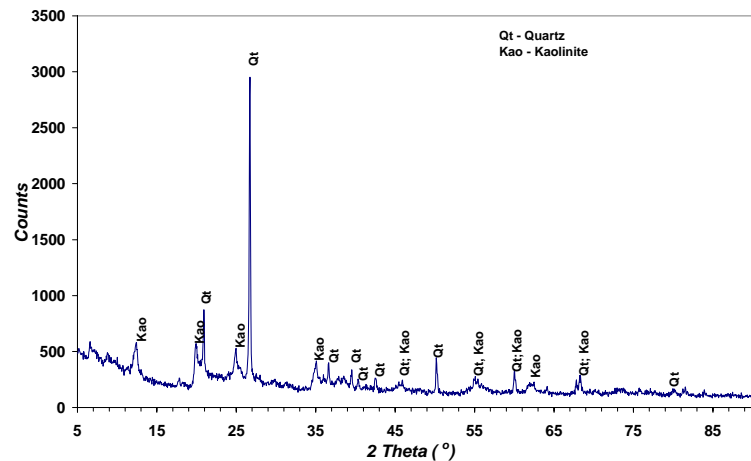
รูปที่ ค-21 ลายพิมพ์ XRD ดินโรงไฟฟ้าสังขลา 10 %C, 7 D, NWC



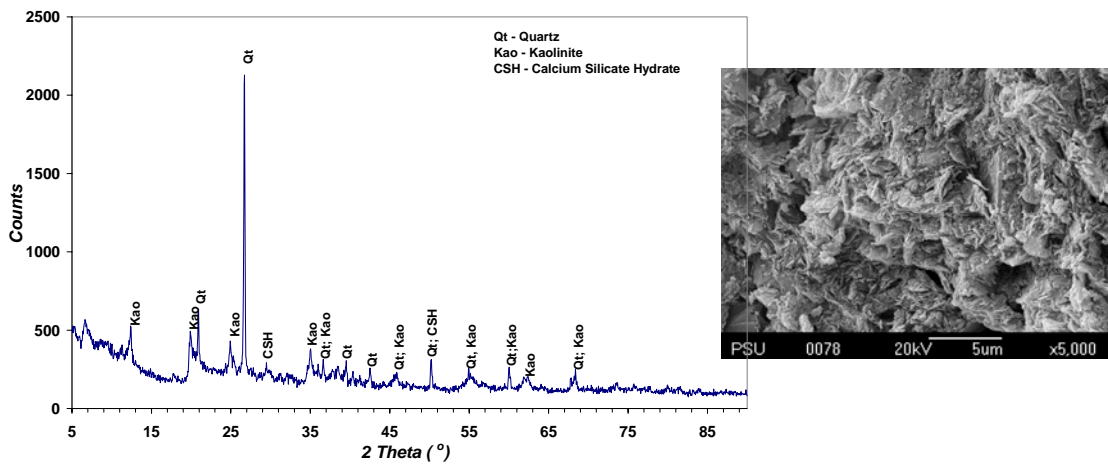
รูปที่ ค-22 ลายพิมพ์ XRD และภาพถ่ายจุลทรรศน์ SEM ดินโรงไฟฟ้าสังขลา 20 %C, 7 D, NWC



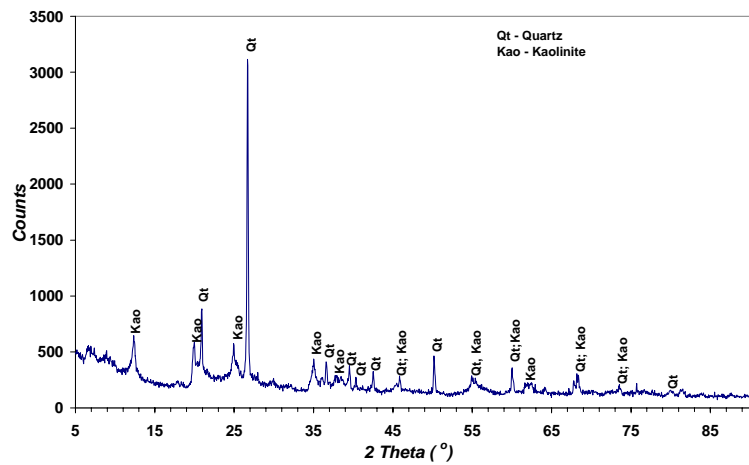
รูปที่ ค-23 ลายพิมพ์ XRD ดินโรงไฟฟ้าสังขลา 5 %C, 14 D, NWC



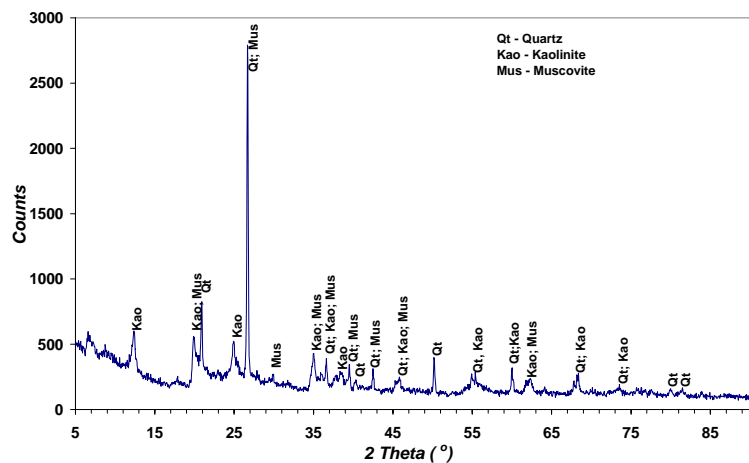
รูปที่ ค-24 ลายพิมพ์ XRD ดินโรงไฟฟ้าสังขลา 10 %C, 14 D, NWC



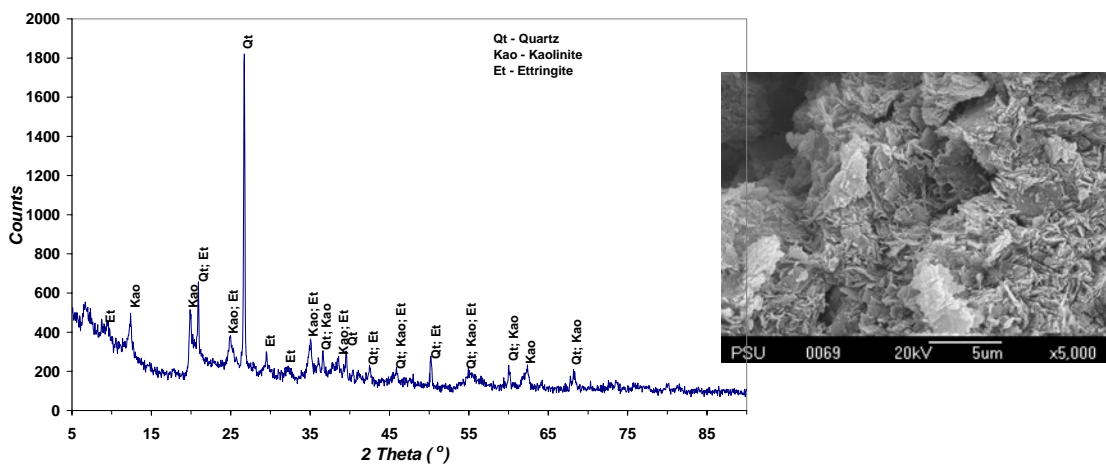
รูปที่ ก-25 ลายพิมพ์ XRD และภาพถ่ายจุลทรรศน์ SEM ดินโรงไฟฟ้าสังขลา 20 %C, 14 D, NWC



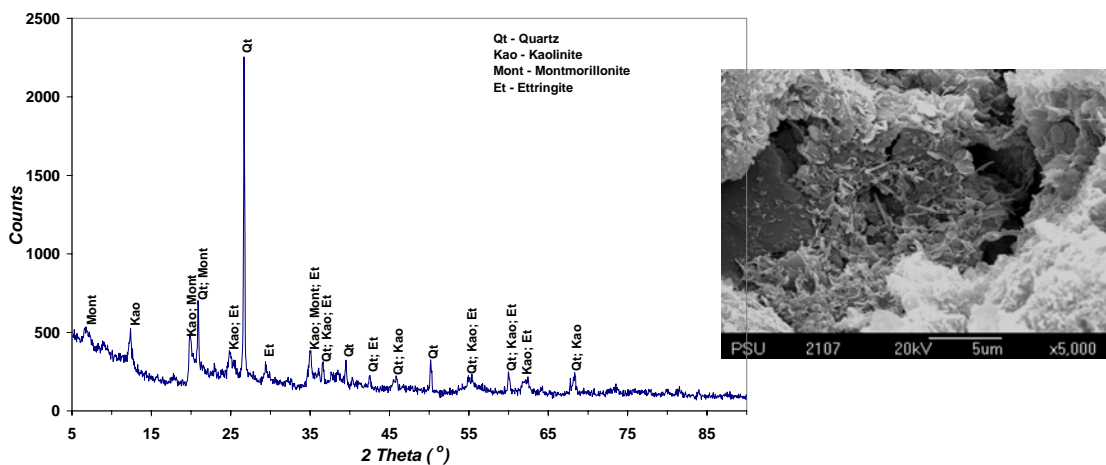
รูปที่ ก-26 ลายพิมพ์ XRD ดินโรงไฟฟ้าสังขลา 5 %C, 28 D, NWC



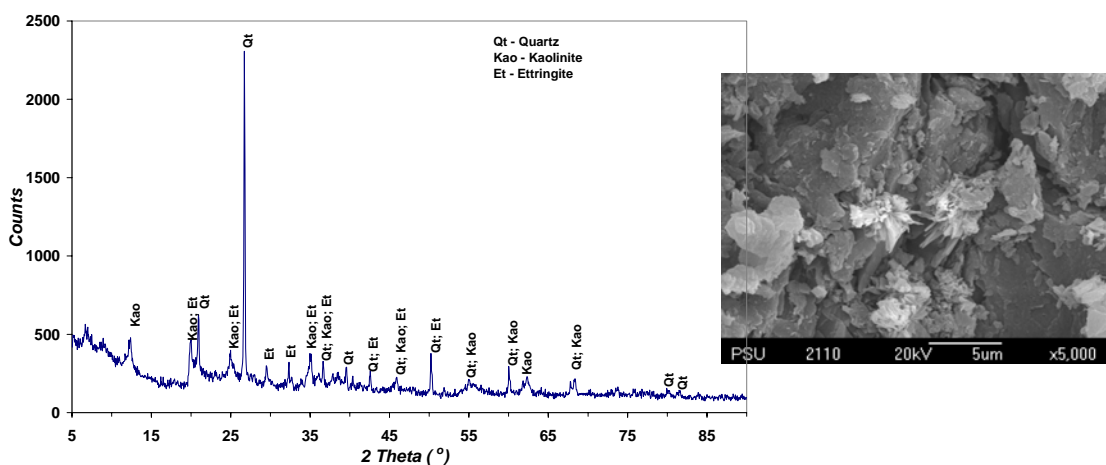
รูปที่ ก-27 ลายพิมพ์ XRD ดินโรงไฟฟ้าสังขลา 10 %C, 28 D, NWC



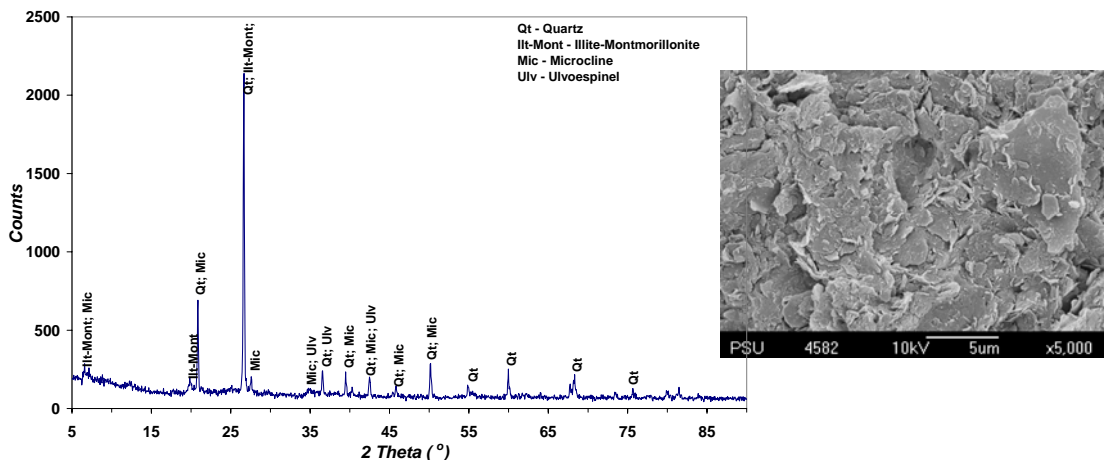
รูปที่ ค-28 ลายพิมพ์ XRD และภาพถ่ายจุลทรรศน์ SEM ดินโรงไฟฟ้าสังขลา 20 %C, 28 D, NWC



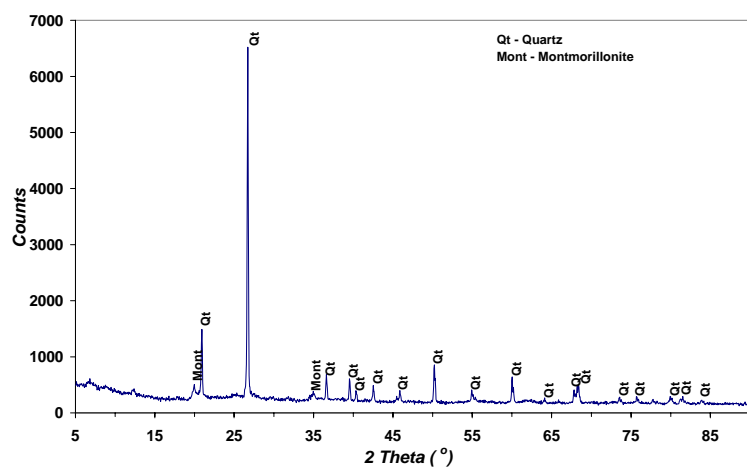
รูปที่ ค-29 ลายพิมพ์ XRD และภาพถ่ายจุลทรรศน์ SEM ดินโรงไฟฟ้าสังขลา 20 %C, 28 D, LL



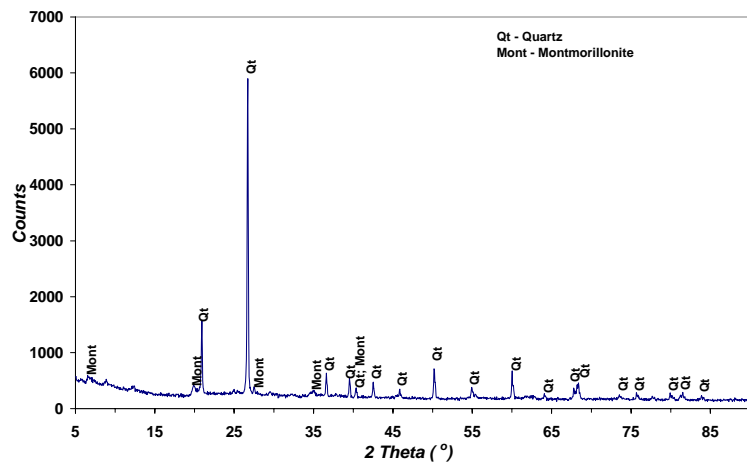
รูปที่ ค-30 ลายพิมพ์ XRD และภาพถ่ายจุลทรรศน์ SEM ดินโรงไฟฟ้าสังขลา 20 %C, 28 D, OMC



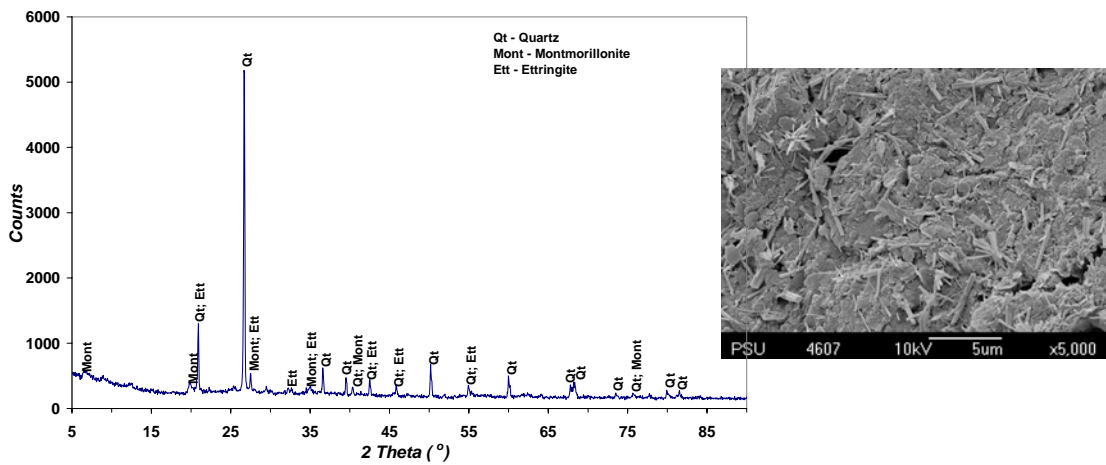
รูปที่ ก-31 ลายพิมพ์ XRD และภาพถ่ายจุลทรรศน์ SEM ดินเคิม ดินต้ามฉัง



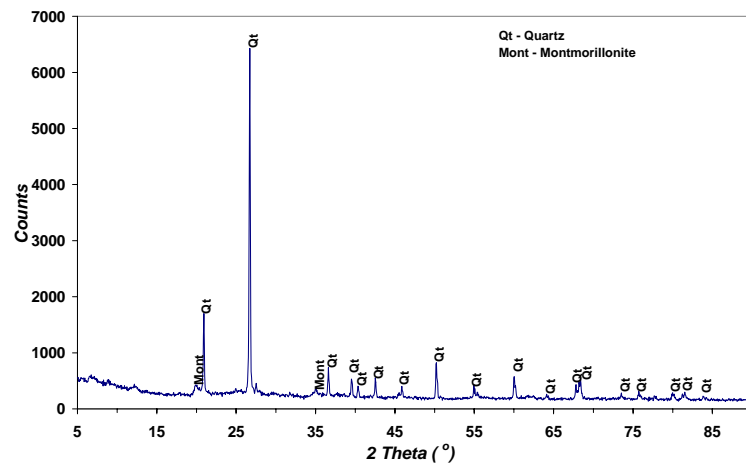
รูปที่ ก-32 ลายพิมพ์ XRD ดินต้ามฉัง 5 %C, 1 D, NWC



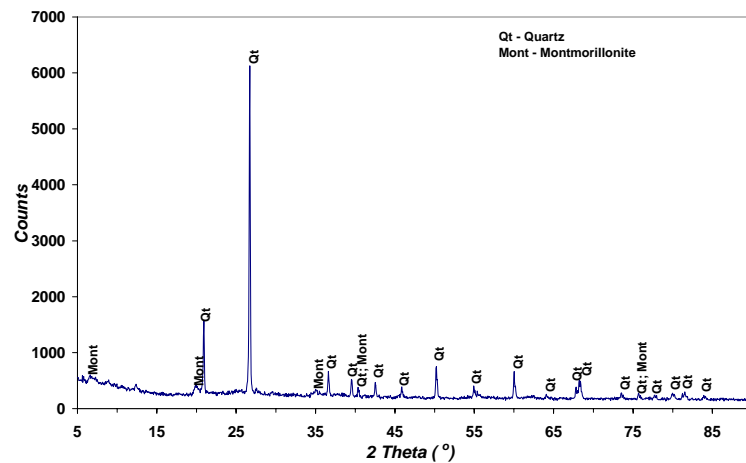
รูปที่ ก-33 ลายพิมพ์ XRD ดินต้ามฉัง 10 %C, 1 D, NWC



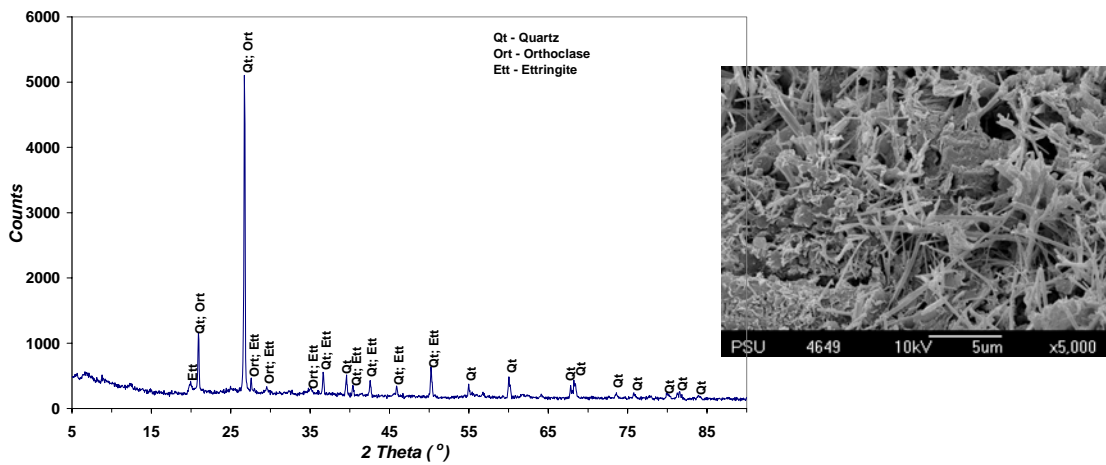
รูปที่ ค-34 ลายพิมพ์ XRD และภาพถ่ายจุลทรรศน์ SEM ดินต้มะลัง 20 %C, 1 D, NWC



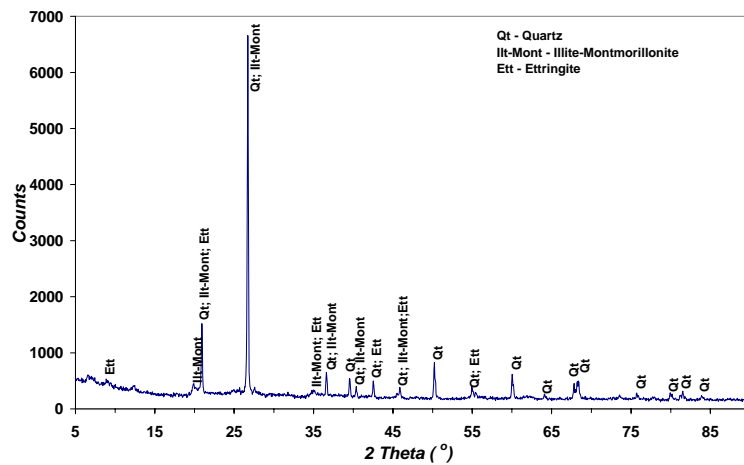
รูปที่ ค-35 ลายพิมพ์ XRD ดินต้มะลัง 5 %C, 7 D, NWC



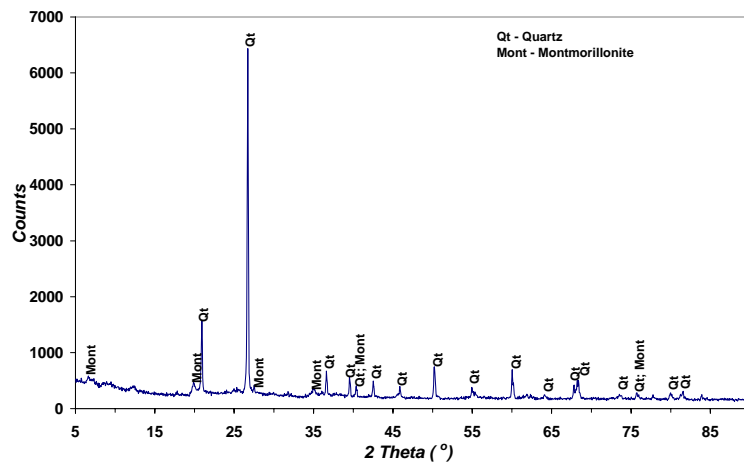
รูปที่ ค-36 ลายพิมพ์ XRD ดินต้มะลัง 10 %C, 7 D, NWC



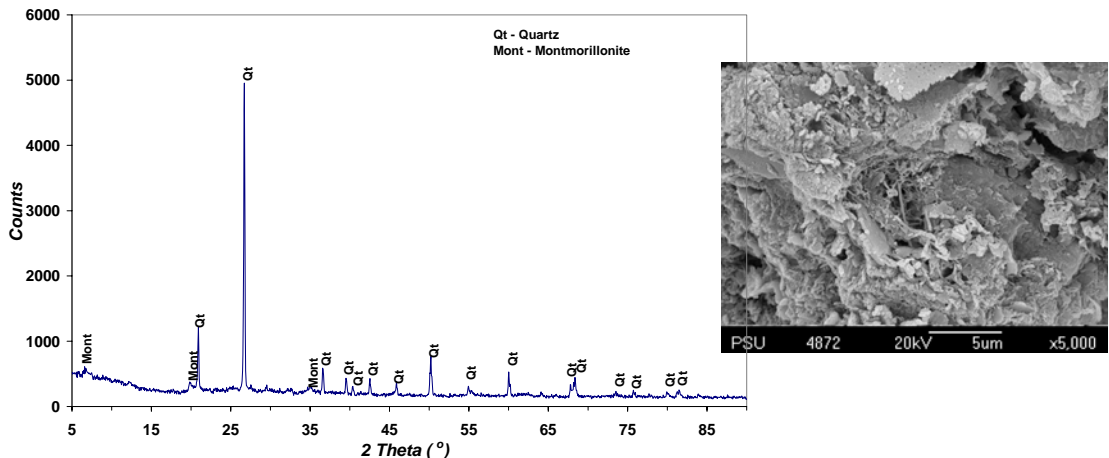
รูปที่ ค-37 ลายพิมพ์ XRD และภาพถ่ายจุลทรรศน์ SEM ดินต่ำมะลัง 20 %C, 7 D, NWC



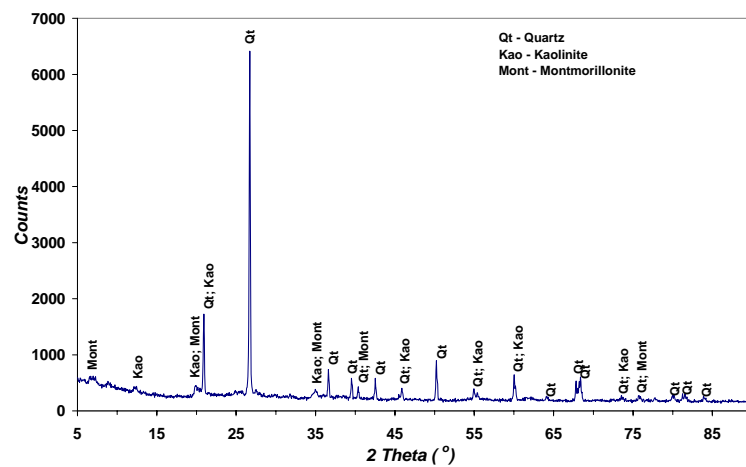
รูปที่ ค-38 ลายพิมพ์ XRD ดินต่ำมะลัง 5 %C, 14 D, NWC



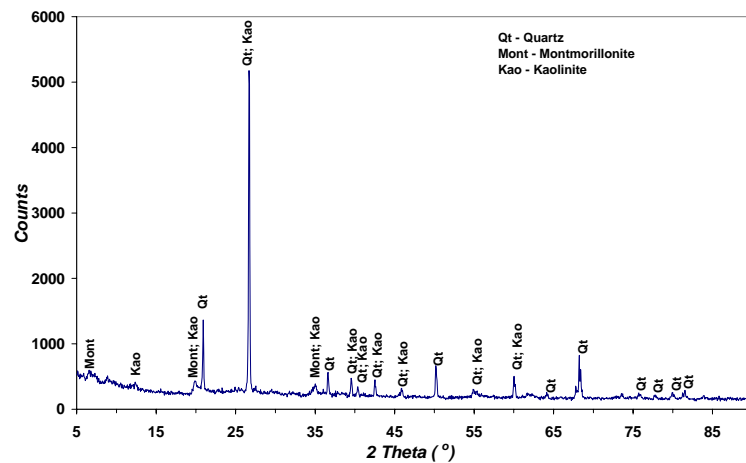
รูปที่ ค-39 ลายพิมพ์ XRD ดินต่ำมะลัง 10 %C, 14 D, NWC



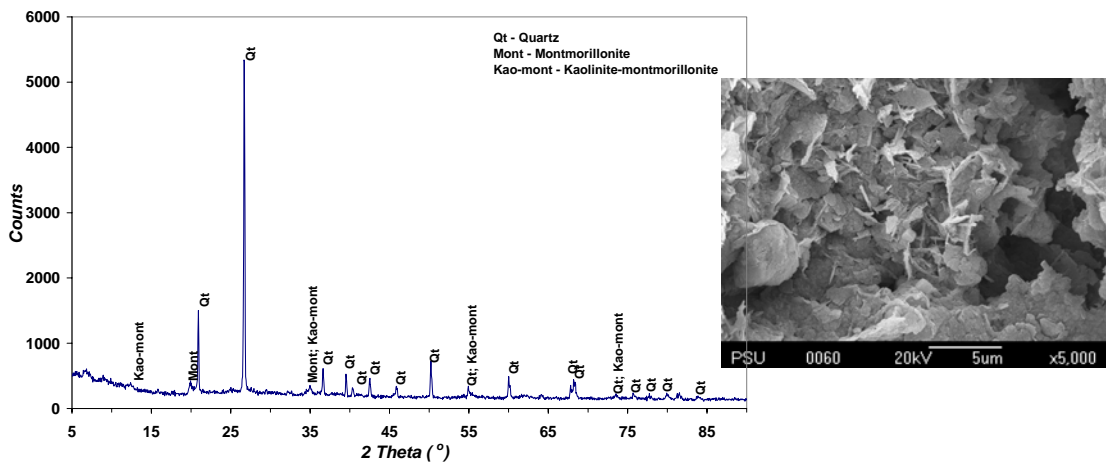
รูปที่ ค-40 ลายพิมพ์ XRD และภาพถ่ายจุลทรรศน์ SEM ดินต้มะลัง 20 %C, 14 D, NWC



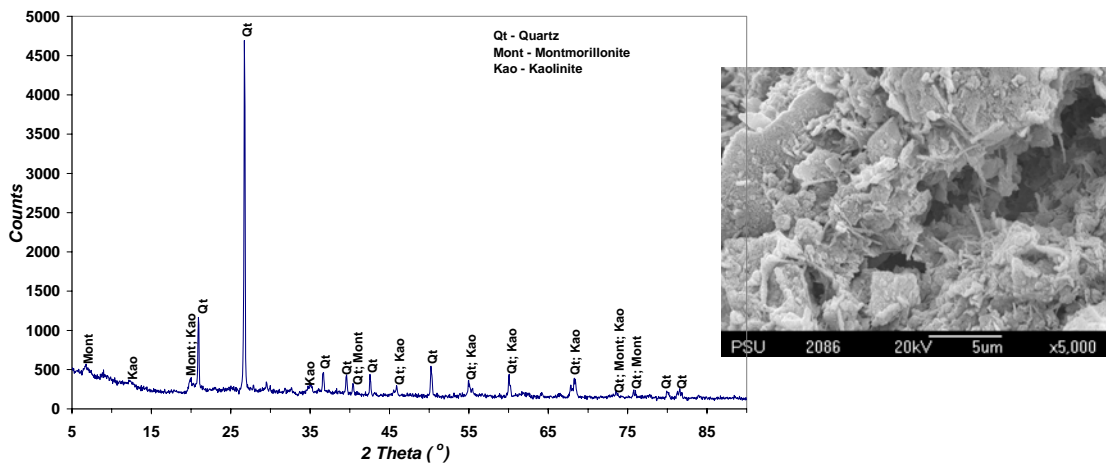
รูปที่ ค-41 ลายพิมพ์ XRD ดินต้มะลัง 5 %C, 28 D, NWC



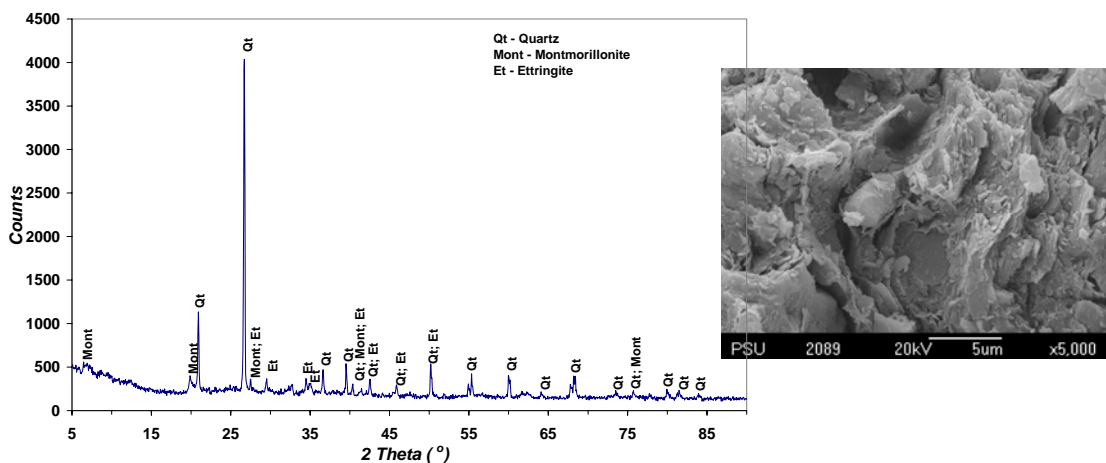
รูปที่ ค-42 ลายพิมพ์ XRD ดินต้มะลัง 10 % C, 28 D, NWC



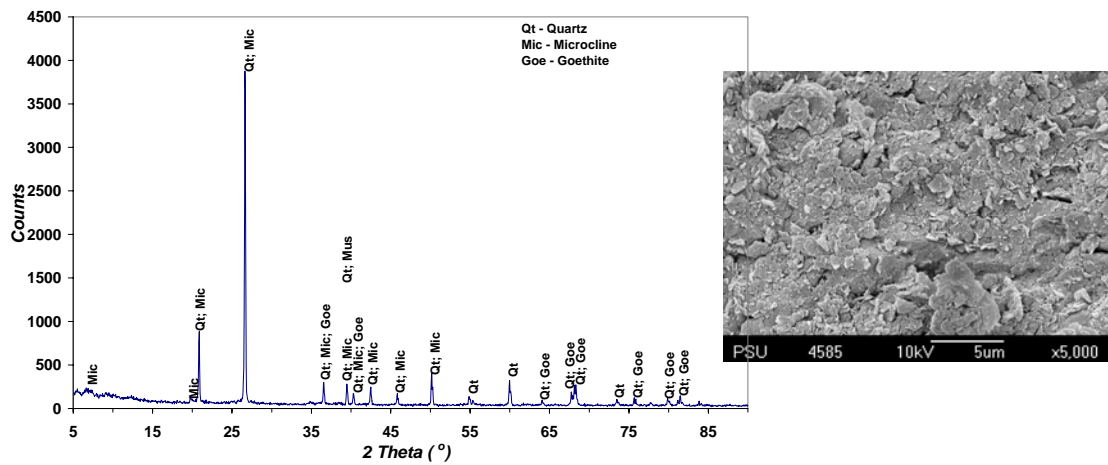
รูปที่ ค-43 ลายพิมพ์ XRD และภาพถ่ายจุลทรรศน์ SEM ดินต้มะลัง 20 %C, 28 D, NWC



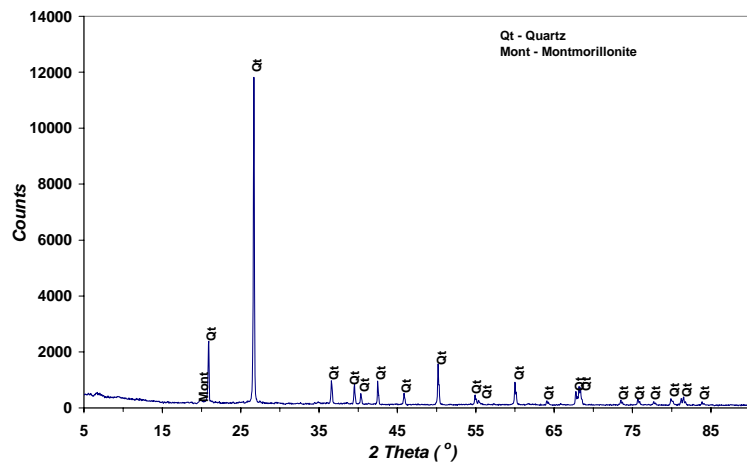
รูปที่ ค-44 ลายพิมพ์ XRD และภาพถ่ายจุลทรรศน์ SEM ดินต้มะลัง 20 %C, 28 D, LL



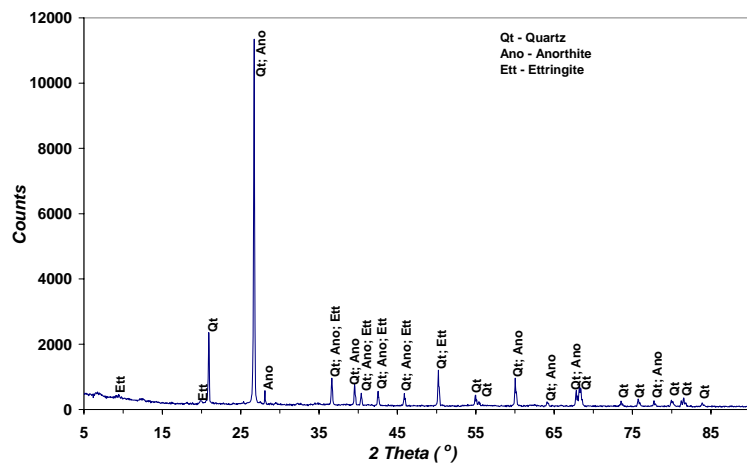
รูปที่ ค-45 ลายพิมพ์ XRD และภาพถ่ายจุลทรรศน์ SEM ดินต้มะลัง 20 %C, 28 D, OMC



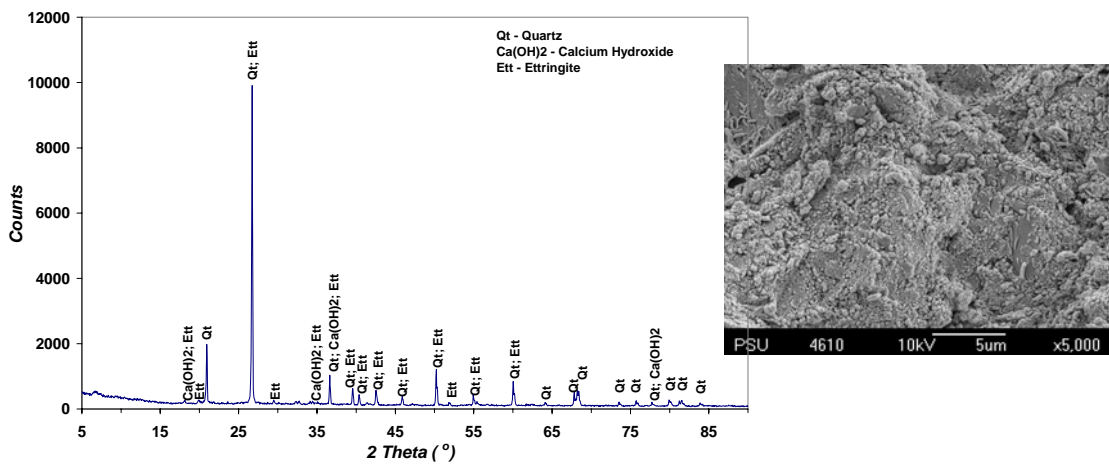
รูปที่ ค-46 ลายพิมพ์ XRD และภาพถ่ายจุลทรรศน์ SEM ดินเดิม ดินคลุ่ง จ. สตูล



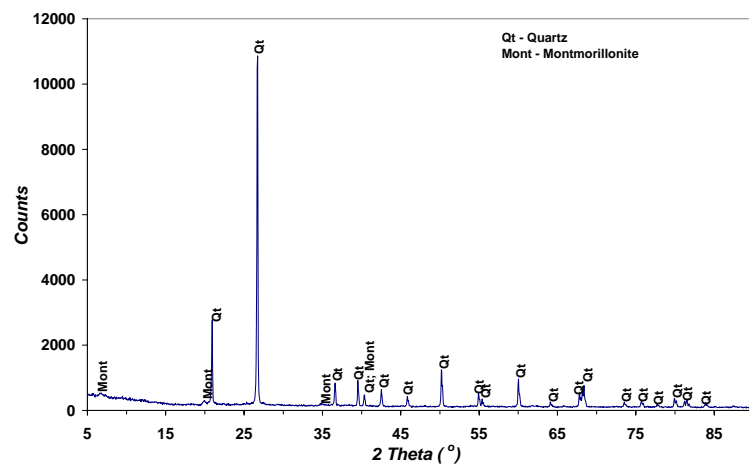
รูปที่ ค-47 ลายพิมพ์ XRD ดินคลุ่ง 5 %C, 1 D, NWC



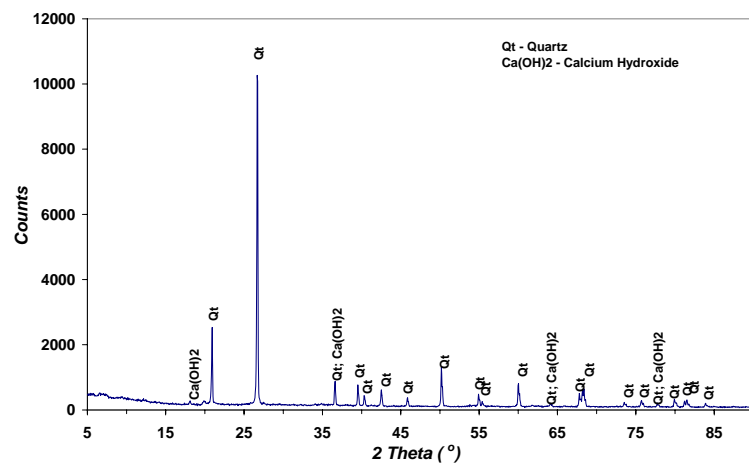
รูปที่ ค-48 ลายพิมพ์ XRD ดินคลุ่ง 10 %C, 1 D, NWC



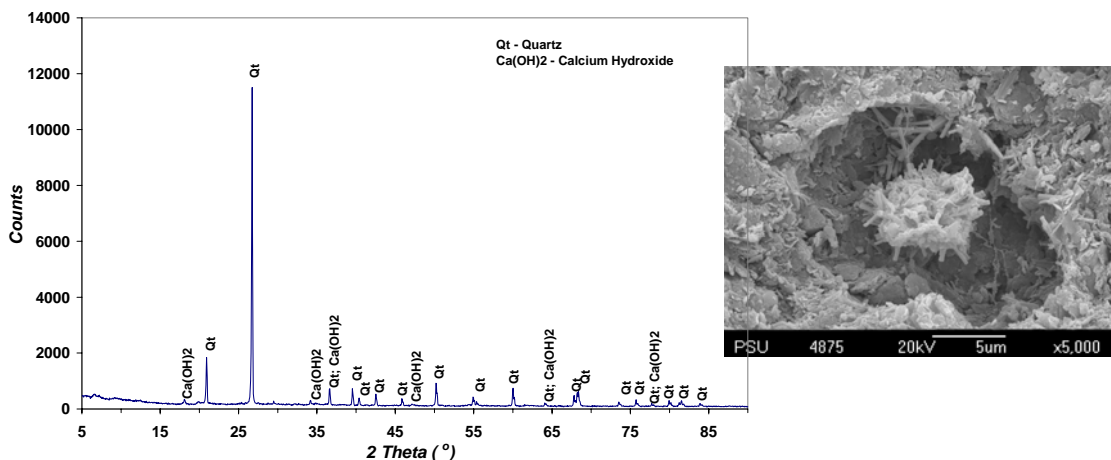
รูปที่ ค-49 ลายพิมพ์ XRD และภาพถ่ายจุลทรรศน์ SEM ดิน粘 20 %C, 1 D, NWC



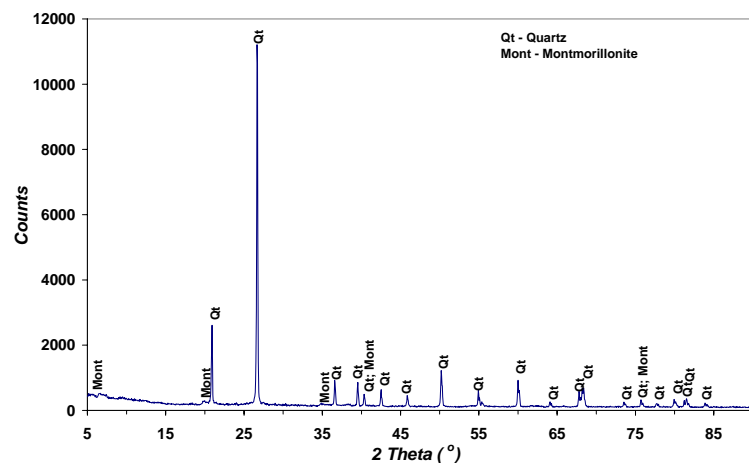
รูปที่ ค-50 ลายพิมพ์ XRD ดิน粘 5 %C, 7 D, NWC



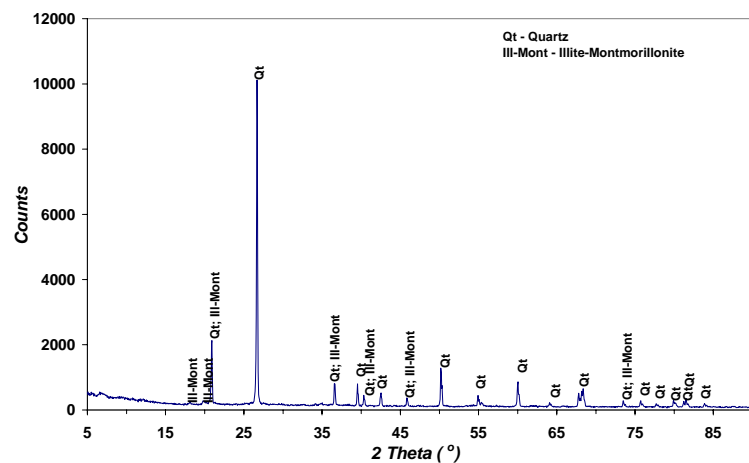
รูปที่ ค-51 ลายพิมพ์ XRD ดิน粘 10 %C, 7 D, NWC



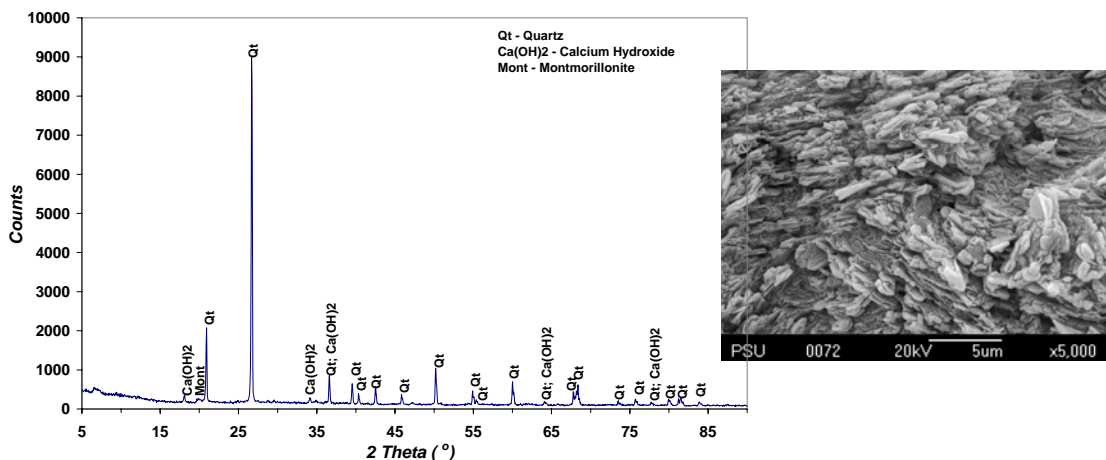
รูปที่ ค-52 ลายพิมพ์ XRD และภาพถ่ายจุลทรรศน์ SEM ดินฉุ่ง 20 %C, 7 D, NWC



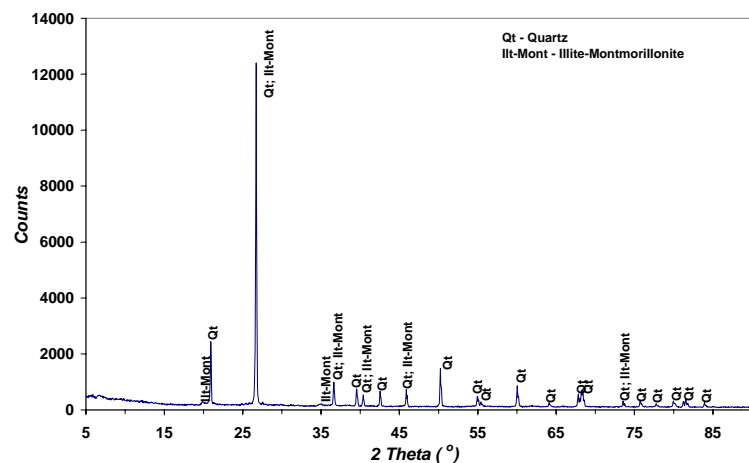
รูปที่ ค-53 ลายพิมพ์ XRD ดินฉุ่ง 5 %C, 14 D, NWC



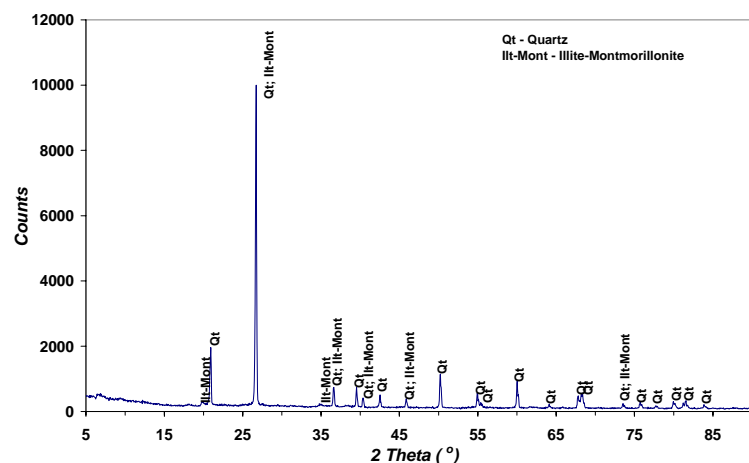
รูปที่ ค-54 ลายพิมพ์ XRD ดินฉุ่ง 10 %C, 14 D, NWC



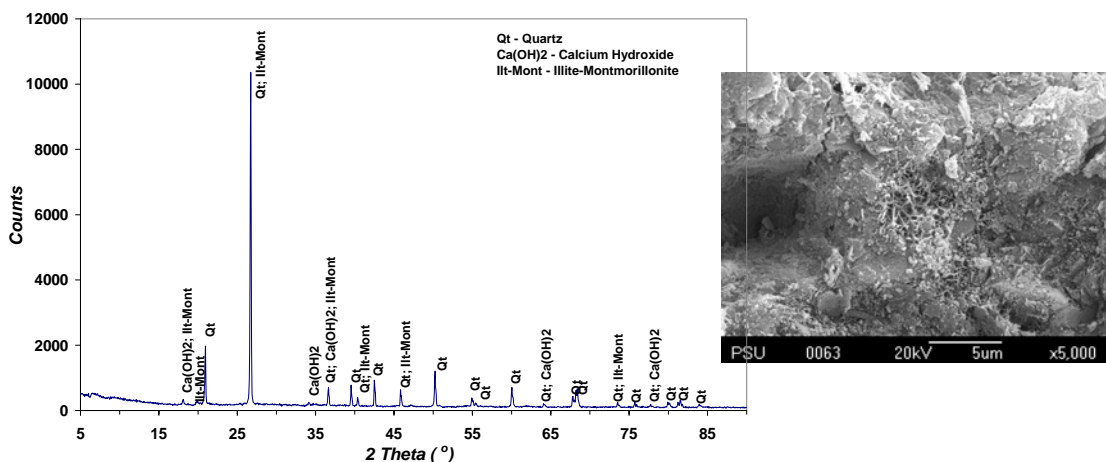
รูปที่ ค-55 ลายพิมพ์ XRD และภาพถ่ายจุลทรรศน์ SEM ดินฉลุง 20 %C, 14 D, NWC



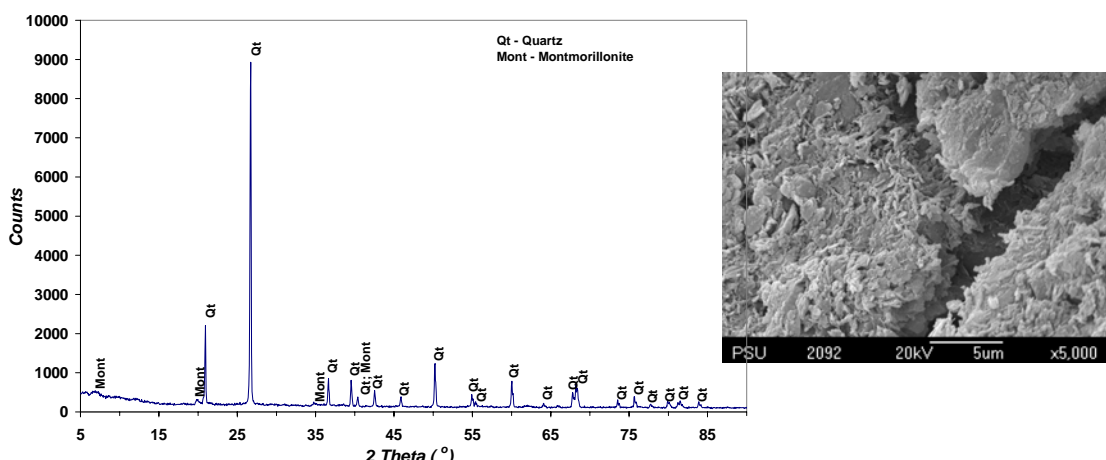
รูปที่ ค-56 ลายพิมพ์ XRD ดินฉลุง 5 %C, 28 D, NWC



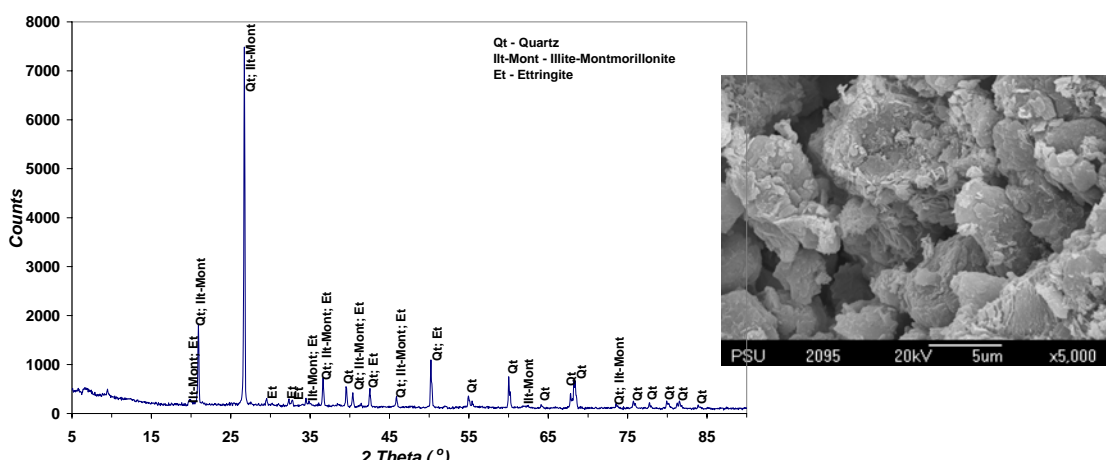
รูปที่ ค-57 ลายพิมพ์ XRD ดินฉลุง 10 %C, 28 D, NWC



รูปที่ ค-58 ลายพิมพ์ XRD และภาพถ่ายจุลทรรศน์ SEM ดินฉลุง 20 %C, 28 D, NWC



รูปที่ ค-59 ลายพิมพ์ XRD และภาพถ่ายจุลทรรศน์ SEM ดินฉลุง 20 %C, 28 D, LL



รูปที่ ค-60 ลายพิมพ์ XRD และภาพถ่ายจุลทรรศน์ SEM ดินฉลุง 20 %C, 28 D, OMC

ภาคผนวก ๔.

ค่าสัมประสิทธิ์สหสัมพันธ์ของเพียร์สัน (Pearson Correlation) ระหว่างค่าตัวเปรียต่างๆ

- คินประเกท CH อายุบ่'m 1 - 28 วัน
- คินประเกท CH อายุบ่'m 1, 7, 14 และ 28 วัน
- คินประเกท MH อายุบ่'m 1 - 28 วัน
- คินประเกท MH อายุบ่'m 1, 7, 14 และ 28 วัน
- คินประเกท CL อายุบ่'m 1 - 28 วัน
- คินประเกท CL อายุบ่'m 1, 7, 14 และ 28 วัน
- รวมข้อมูลของคินทั้ง 3 ประเกท (CH, MH, CL) อายุบ่'m 1 - 28 วัน
- รวมข้อมูลคินของทั้ง 3 ประเกทรวมกัน (CH, MH, CL) อายุบ่'m 1, 7, 14 และ 28 วัน

ตารางที่ ง-1 ค่าสัมประสิทธิ์สหสัมพันธ์ของเพียร์สันระหว่างค่าตัวแปรต่างๆ ของคืนประเกท CH
อายุบ่ม 1 - 28 วัน

		q_u	$q_{u,0}$	E_{50}	$E_{50,0}$	ε_f	$\varepsilon_{f,0}$	ω	ω_0
q_u	Correlation	1	.628(**)	.949(**)	.138	-.654(**)	-.257	-.770(**)	-.732(**)
	Sig. (2-tailed)		.000	.000	.423	.000	.131	.000	.000
$q_{u,0}$	Correlation	.628(**)	1	.642(**)	.984(**)	-.623(**)	-.991(**)	-.858(**)	-.879(**)
	Sig. (2-tailed)	.000		.000	.000	.000	.000	.000	.000
E_{50}	Correlation	.949(**)	.642(**)	1	.325	-.580(**)	-.428(**)	-.679(**)	-.650(**)
	Sig. (2-tailed)	.000	.000		.053	.000	.009	.000	.000
$E_{50,0}$	Correlation	.138	.984(**)	.325	1	-.619(**)	-.950(**)	-.665(**)	-.733(**)
	Sig. (2-tailed)	.423	.000	.053		.000	.000	.000	.000
ε_f	Correlation	-.654(**)	-.623(**)	-.580(**)	-.619(**)	1	.730(**)	.749(**)	.668(**)
	Sig. (2-tailed)	.000	.000	.000	.000		.000	.000	.000
$\varepsilon_{f,0}$	Correlation	-.257	-.991(**)	-.428(**)	-.950(**)	.730(**)	1	.850(**)	.908(**)
	Sig. (2-tailed)	.131	.000	.009	.000	.000		.000	.000
ω	Correlation	-.770(**)	-.858(**)	-.679(**)	-.665(**)	.749(**)	.850(**)	1	.987(**)
	Sig. (2-tailed)	.000	.000	.000	.000	.000			.000
ω_0	Correlation	-.732(**)	-.879(**)	-.650(**)	-.733(**)	.668(**)	.908(**)	.987(**)	1
	Sig. (2-tailed)	.000	.000	.000	.000	.000	.000	.000	
γ_m	Correlation	.758(**)	.918(**)	.700(**)	.736(**)	-.676(**)	-.894(**)	-.969(**)	-.980(**)
	Sig. (2-tailed)	.000	.000	.000	.000	.000	.000	.000	.000
$\gamma_{m,0}$	Correlation	.734(**)	.927(**)	.679(**)	.777(**)	-.666(**)	-.934(**)	-.972(**)	-.988(**)
	Sig. (2-tailed)	.000	.000	.000	.000	.000	.000	.000	.000
T	Correlation	.190	.000	.190	.000	-.281(*)	.000	-.062	.000
	Sig. (2-tailed)	.110	1.000	.109	1.000	.017	1.000	.604	1.000
C	Correlation	.448(**)	.000	.415(**)	.000	-.411(**)	.000	-.126	.000
	Sig. (2-tailed)	.000	1.000	.000	1.000	.000	1.000	.290	1.000
W/C	Correlation	-.644(**)	-.568(**)	-.556(**)	-.376(*)	.778(**)	.465(**)	.742(**)	.646(**)
	Sig. (2-tailed)	.000	.000	.000	.024	.000	.004	.000	.000
P_c	Correlation	.099	-.370	.280	.(a)	-.712	.(a)	.141	.370
	Sig. (2-tailed)	.852	.470	.591	.000	.112	.000	.790	.470
$P_{c,0}$	Correlation	-.730	-1.000(**)	-.646	.(a)	.374	.(a)	.971(**)	1.000(**)
	Sig. (2-tailed)	.100	.000	.166	.000	.465	.000	.001	.000
C_c	Correlation	-.882(*)	-.963(**)	-.825(*)	.(a)	.551	.(a)	.980(**)	.963(**)
	Sig. (2-tailed)	.020	.002	.043	.000	.257	.000	.001	.002
$C_{c,0}$	Correlation	-.730	-1.000(**)	-.646	.(a)	.374	.(a)	.971(**)	1.000(**)
	Sig. (2-tailed)	.100	.000	.166	.000	.465	.000	.001	.000
C_r	Correlation	-.709	-.558	-.772	.(a)	.956(**)	.(a)	.737	.558
	Sig. (2-tailed)	.115	.250	.072	.000	.003	.000	.095	.250
$C_{r,0}$	Correlation	-.730	-1.000(**)	-.646	.(a)	.374	.(a)	.971(**)	1.000(**)
	Sig. (2-tailed)	.100	.000	.166	.000	.465	.000	.001	.000

** Correlation is significant at the 0.01 level (2-tailed).

* Correlation is significant at the 0.05 level (2-tailed).

a Cannot be computed because at least one of the variables is constant.

ตารางที่ ๔-๑(ต่อ) ค่าสัมประสิทธิ์สหสัมพันธ์ของเพียร์สันระหว่างค่าตัวแปรต่างๆ ของคืนประเกต
CH อายุปัจม 1 - 28 วัน

		γ_m	$\gamma_{m,0}$	T	C	W/C	P_c	$P_{c,0}$	C_c
q_u	Correlation	.758(**)	.734(**)	.190	.448(**)	-.644(**)	.099	-.730	-.882(*)
	Sig. (2-tailed)	.000	.000	.110	.000	.000	.852	.100	.020
$q_{u,0}$	Correlation	.918(**)	.927(**)	.000	.000	-.568(**)	-.370	-1.000(**)	-.963(**)
	Sig. (2-tailed)	.000	.000	1.000	1.000	.000	.470	.000	.002
E_{s0}	Correlation	.700(**)	.679(**)	.190	.415(**)	-.556(**)	.280	-.646	-.825(*)
	Sig. (2-tailed)	.000	.000	.109	.000	.000	.591	.166	.043
$E_{s0,0}$	Correlation	.736(**)	.777(**)	.000	.000	-.376(*)	.(a)	.(a)	.(a)
	Sig. (2-tailed)	.000	.000	1.000	1.000	.024	.000	.000	.000
ϵ_t	Correlation	-.676(**)	-.666(**)	-.281(*)	-.411(**)	.778(**)	-.712	.374	.551
	Sig. (2-tailed)	.000	.000	.017	.000	.000	.112	.465	.257
$\epsilon_{t,0}$	Correlation	-.894(**)	-.934(**)	.000	.000	.465(**)	.(a)	.(a)	.(a)
	Sig. (2-tailed)	.000	.000	1.000	1.000	.004	.000	.000	.000
ω	Correlation	-.969(**)	-.972(**)	-.062	-.126	.742(**)	.141	.971(**)	.980(**)
	Sig. (2-tailed)	.000	.000	.604	.290	.000	.790	.001	.001
ω_0	Correlation	-.980(**)	-.988(**)	.000	.000	.646(**)	.370	1.000(**)	.963(**)
	Sig. (2-tailed)	.000	.000	1.000	1.000	.000	.470	.000	.002
γ_m	Correlation	1	.992(**)	-.074	.086	-.678(**)	-.264	-.985(**)	-.990(**)
	Sig. (2-tailed)		.000	.538	.472	.000	.614	.000	.000
$\gamma_{m,0}$	Correlation	.992(**)	1	.000	.000	-.638(**)	-.370	-1.000(**)	-.963(**)
	Sig. (2-tailed)	.000		1.000	1.000	.000	.470	.000	.002
T	Correlation	-.074	.000	1	.000	.000	.(a)	.(a)	.(a)
	Sig. (2-tailed)	.538	1.000		1.000	1.000	.000	.000	.000
C	Correlation	.086	.000	.000	1	-.632(**)	.873(*)	.000	-.245
	Sig. (2-tailed)	.472	1.000	1.000		.000	.023	1.000	.641
W/C	Correlation	-.678(**)	-.638(**)	.000	-.632(**)	1	-.594	.477	.640
	Sig. (2-tailed)	.000	.000	1.000	.000		.213	.338	.171
P_c	Correlation	-.264	-.370	.(a)	.873(*)	-.594	1	.370	.174
	Sig. (2-tailed)	.614	.470	.000	.023	.213		.470	.741
$P_{c,0}$	Correlation	-.985(**)	-1.000(**)	.(a)	.000	.477	.370	1	.963(**)
	Sig. (2-tailed)	.000	.000	.000	1.000	.338	.470		.002
C_c	Correlation	-.990(**)	-.963(**)	.(a)	-.245	.640	.174	.963(**)	1
	Sig. (2-tailed)	.000	.002	.000	.641	.171	.741	.002	
$C_{c,0}$	Correlation	-.985(**)	-1.000(**)	.(a)	.000	.477	.370	1.000(**)	.963(**)
	Sig. (2-tailed)	.000	.000	.000	1.000	.338	.470	.000	.002
C_r	Correlation	-.619	-.558	.(a)	-.709	.991(**)	-.516	.558	.695
	Sig. (2-tailed)	.190	.250	.000	.115	.000	.295	.250	.126
$C_{r,0}$	Correlation	-.985(**)	-1.000(**)	.(a)	.000	.477	.370	1.000(**)	.963(**)
	Sig. (2-tailed)	.000	.000	.000	1.000	.338	.470	.000	.002

** Correlation is significant at the 0.01 level (2-tailed).

* Correlation is significant at the 0.05 level (2-tailed).

a Cannot be computed because at least one of the variables is constant.

ตารางที่ ๔-๑(ต่อ) ค่าสัมประสิทธิ์สหสัมพันธ์ของเพียร์สันระหว่างค่าตัวแปรต่างๆ ของคืนประเภท CH อายุปัจจุบัน ๑ - ๒๘ วัน

		C _{c, 0}	C _r	C _{r, 0}					
q _u	Correlation	-.730	-.709	-.730					
	Sig. (2-tailed)	.100	.115	.100					
q _{u, 0}	Correlation	-1.000(**)	-.558	-1.000(**)					
	Sig. (2-tailed)	.000	.250	.000					
E ₅₀	Correlation	-.646	-.772	-.646					
	Sig. (2-tailed)	.166	.072	.166					
E _{50, 0}	Correlation	.(a)	.(a)	.(a)					
	Sig. (2-tailed)	.000	.000	.000					
ε _f	Correlation	.374	.956(**)	.374					
	Sig. (2-tailed)	.465	.003	.465					
ε _{f, 0}	Correlation	.(a)	.(a)	.(a)					
	Sig. (2-tailed)	.000	.000	.000					
Ω	Correlation	.971(**)	.737	.971(**)					
	Sig. (2-tailed)	.001	.095	.001					
Ω ₀	Correlation	1.000(**)	.558	1.000(**)					
	Sig. (2-tailed)	.000	.250	.000					
γ _m	Correlation	-.985(**)	-.619	-.985(**)					
	Sig. (2-tailed)	.000	.190	.000					
γ _{m, 0}	Correlation	-1.000(**)	-.558	-1.000(**)					
	Sig. (2-tailed)	.000	.250	.000					
T	Correlation	.(a)	.(a)	.(a)					
	Sig. (2-tailed)	.000	.000	.000					
C	Correlation	.000	-.709	.000					
	Sig. (2-tailed)	1.000	.115	1.000					
W/C	Correlation	.477	.991(**)	.477					
	Sig. (2-tailed)	.338	.000	.338					
P _c	Correlation	.370	-.516	.370					
	Sig. (2-tailed)	.470	.295	.470					
P _{c, 0}	Correlation	1.000(**)	.558	1.000(**)					
	Sig. (2-tailed)	.000	.250	.000					
C _c	Correlation	.963(**)	.695	.963(**)					
	Sig. (2-tailed)	.002	.126	.002					
C _{c, 0}	Correlation	1	.558	1.000(**)					
	Sig. (2-tailed)		.250	.000					
C _r	Correlation	.558	1	.558					
	Sig. (2-tailed)	.250		.250					
C _{r, 0}	Correlation	1.000(**)	.558	1					
	Sig. (2-tailed)	.000	.250						

** Correlation is significant at the 0.01 level (2-tailed).

* Correlation is significant at the 0.05 level (2-tailed).

a Cannot be computed because at least one of the variables is constant.

ตารางที่ ง-2 ค่าสัมประสิทธิ์สหสัมพันธ์ของเพียร์สันระหว่างค่าตัวแปรต่างๆ ของคืนประเกท CH
อายุบ่ม 1 วัน

		q_u	$q_{u,0}$	E_{50}	$E_{50,0}$	ε_f	$\varepsilon_{f,0}$	ω	ω_0
q_u	Correlation	1	.734(**)	.969(**)	.368	-.708(**)	-.468	-.791(**)	-.767(**)
	Sig. (2-tailed)		.001	.000	.329	.001	.204	.000	.000
$q_{u,0}$	Correlation	.734(**)	1	.767(**)	.984(**)	-.714(**)	-.991(**)	-.874(**)	-.879(**)
	Sig. (2-tailed)	.001		.000	.000	.001	.000	.000	.000
E_{50}	Correlation	.969(**)	.767(**)	1	.550	-.648(**)	-.614	-.721(**)	-.702(**)
	Sig. (2-tailed)	.000	.000		.125	.004	.079	.001	.001
$E_{50,0}$	Correlation	.368	.984(**)	.550	1	-.724(*)	-.950(**)	-.723(*)	-.733(*)
	Sig. (2-tailed)	.329	.000	.125		.027	.000	.028	.025
ε_f	Correlation	-.708(**)	-.714(**)	-.648(**)	-.724(*)	1	.835(**)	.800(**)	.758(**)
	Sig. (2-tailed)	.001	.001	.004	.027		.005	.000	.000
$\varepsilon_{f,0}$	Correlation	-.468	-.991(**)	-.614	-.950(**)	.835(**)	1	.895(**)	.908(**)
	Sig. (2-tailed)	.204	.000	.079	.000	.005		.001	.001
ω	Correlation	-.791(**)	-.874(**)	-.721(**)	-.723(*)	.800(**)	.895(**)	1	.993(**)
	Sig. (2-tailed)	.000	.000	.001	.028	.000	.001		.000
ω_0	Correlation	-.767(**)	-.879(**)	-.702(**)	-.733(*)	.758(**)	.908(**)	.993(**)	1
	Sig. (2-tailed)	.000	.000	.001	.025	.000	.001	.000	
γ_m	Correlation	.834(**)	.907(**)	.781(**)	.695(*)	-.802(**)	-.872(**)	-.989(**)	-.985(**)
	Sig. (2-tailed)	.000	.000	.000	.038	.000	.002	.000	.000
$\gamma_{m,0}$	Correlation	.786(**)	.927(**)	.743(**)	.777(*)	-.761(**)	-.934(**)	-.981(**)	-.988(**)
	Sig. (2-tailed)	.000	.000	.000	.014	.000	.000	.000	.000
C	Correlation	.457	.000	.421	.000	-.356	.000	-.108	.000
	Sig. (2-tailed)	.057	1.000	.082	1.000	.147	1.000	.670	1.000
W/C	Correlation	-.660(**)	-.568(*)	-.583(*)	-.376	.775(**)	.465	.727(**)	.646(**)
	Sig. (2-tailed)	.003	.014	.011	.319	.000	.207	.001	.004

** Correlation is significant at the 0.01 level (2-tailed).

* Correlation is significant at the 0.05 level (2-tailed).

ตารางที่ ง-2(ต่อ) ค่าสัมประสิทธิ์สหสัมพันธ์ของเพียร์สันระหว่างค่าตัวแปรต่างๆ ของдинประเกท
CH อายุบ่ม 1 วัน

		γ_m	$\gamma_{m,0}$	C	W/C				
q_u	Correlation	.834(**)	.786(**)	.457	-.660(**)				
	Sig. (2-tailed)	.000	.000	.057	.003				
$q_{u,0}$	Correlation	.907(**)	.927(**)	.000	-.568(*)				
	Sig. (2-tailed)	.000	.000	1.000	.014				
E_{s0}	Correlation	.781(**)	.743(**)	.421	-.583(*)				
	Sig. (2-tailed)	.000	.000	.082	.011				
$E_{s0,0}$	Correlation	.695(*)	.777(*)	.000	-.376				
	Sig. (2-tailed)	.038	.014	1.000	.319				
ϵ_t	Correlation	-.802(**)	-.761(**)	-.356	.775(**)				
	Sig. (2-tailed)	.000	.000	.147	.000				
$\epsilon_{t,0}$	Correlation	-.872(**)	-.934(**)	.000	.465				
	Sig. (2-tailed)	.002	.000	1.000	.207				
ω	Correlation	-.989(**)	-.981(**)	-.108	.727(**)				
	Sig. (2-tailed)	.000	.000	.670	.001				
ω_0	Correlation	-.985(**)	-.988(**)	.000	.646(**)				
	Sig. (2-tailed)	.000	.000	1.000	.004				
γ_m	Correlation	1	.993(**)	.105	-.699(**)				
	Sig. (2-tailed)		.000	.679	.001				
$\gamma_{m,0}$	Correlation	.993(**)	1	.000	-.638(**)				
	Sig. (2-tailed)	.000		1.000	.004				
C	Correlation	.105	.000	1	-.632(**)				
	Sig. (2-tailed)	.679	1.000		.005				
W/C	Correlation	-.699(**)	-.638(**)	-.632(**)	1				
	Sig. (2-tailed)	.001	.004	.005					

** Correlation is significant at the 0.01 level (2-tailed).

* Correlation is significant at the 0.05 level (2-tailed).

ตารางที่ ง-3 ค่าสัมประสิทธิ์สหสัมพันธ์ของเพียร์สันระหว่างค่าตัวแปรต่างๆ ของคืนประเกท CH
อายุบ่ม 7 วัน

		q_u	$q_{u,0}$	E_{50}	$E_{50,0}$	ε_f	$\varepsilon_{f,0}$	ω	ω_0
q_u	Correlation	1	.687(**)	.968(**)	.243	-.703(**)	-.362	-.790(**)	-.763(**)
	Sig. (2-tailed)		.002	.000	.528	.001	.339	.000	.000
$q_{u,0}$	Correlation	.687(**)	1	.740(**)	.984(**)	-.687(**)	-.991(**)	-.861(**)	-.879(**)
	Sig. (2-tailed)	.002		.000	.000	.002	.000	.000	.000
E_{50}	Correlation	.968(**)	.740(**)	1	.470	-.667(**)	-.551	-.733(**)	-.713(**)
	Sig. (2-tailed)	.000	.000		.202	.002	.124	.001	.001
$E_{50,0}$	Correlation	.243	.984(**)	.470	1	-.674(*)	-.950(**)	-.686(*)	-.733(*)
	Sig. (2-tailed)	.528	.000	.202		.047	.000	.041	.025
ε_f	Correlation	-.703(**)	-.687(**)	-.667(**)	-.674(*)	1	.799(**)	.797(**)	.733(**)
	Sig. (2-tailed)	.001	.002	.002	.047		.010	.000	.001
$\varepsilon_{f,0}$	Correlation	-.362	-.991(**)	-.551	-.950(**)	.799(**)	1	.869(**)	.908(**)
	Sig. (2-tailed)	.339	.000	.124	.000	.010		.002	.001
ω	Correlation	-.790(**)	-.861(**)	-.733(**)	-.686(*)	.797(**)	.869(**)	1	.990(**)
	Sig. (2-tailed)	.000	.000	.001	.041	.000	.002		.000
ω_0	Correlation	-.763(**)	-.879(**)	-.713(**)	-.733(*)	.733(**)	.908(**)	.990(**)	1
	Sig. (2-tailed)	.000	.000	.001	.025	.001	.001	.000	
γ_m	Correlation	.822(**)	.919(**)	.794(**)	.728(*)	-.771(**)	-.895(**)	-.980(**)	-.983(**)
	Sig. (2-tailed)	.000	.000	.000	.026	.000	.001	.000	.000
$\gamma_{m,0}$	Correlation	.773(**)	.927(**)	.746(**)	.777(*)	-.734(**)	-.934(**)	-.975(**)	-.988(**)
	Sig. (2-tailed)	.000	.000	.000	.014	.001	.000	.000	.000
C	Correlation	.470(*)	.000	.459	.000	-.433	.000	-.126	.000
	Sig. (2-tailed)	.049	1.000	.056	1.000	.072	1.000	.618	1.000
W/C	Correlation	-.667(**)	-.568(*)	-.614(**)	-.376	.839(**)	.465	.745(**)	.646(**)
	Sig. (2-tailed)	.002	.014	.007	.319	.000	.207	.000	.004

** Correlation is significant at the 0.01 level (2-tailed).

* Correlation is significant at the 0.05 level (2-tailed).

ตารางที่ ง-3(ต่อ) ค่าสัมประสิทธิ์สหสัมพันธ์ของเพียร์สันระหว่างค่าตัวแปรต่างๆ ของдинประเกท
CH อายุบ่ม 7 วัน

		γ_m	$\gamma_{m,0}$	C	W/C				
q_u	Correlation	.822(**)	.773(**)	.470(*)	-.667(**)				
	Sig. (2-tailed)	.000	.000	.049	.002				
$q_{u,0}$	Correlation	.919(**)	.927(**)	.000	-.568(*)				
	Sig. (2-tailed)	.000	.000	1.000	.014				
E_{s0}	Correlation	.794(**)	.746(**)	.459	-.614(**)				
	Sig. (2-tailed)	.000	.000	.056	.007				
$E_{s0,0}$	Correlation	.728(*)	.777(*)	.000	-.376				
	Sig. (2-tailed)	.026	.014	1.000	.319				
ϵ_t	Correlation	-.771(**)	-.734(**)	-.433	.839(**)				
	Sig. (2-tailed)	.000	.001	.072	.000				
$\epsilon_{t,0}$	Correlation	-.895(**)	-.934(**)	.000	.465				
	Sig. (2-tailed)	.001	.000	1.000	.207				
ω	Correlation	-.980(**)	-.975(**)	-.126	.745(**)				
	Sig. (2-tailed)	.000	.000	.618	.000				
ω_0	Correlation	-.983(**)	-.988(**)	.000	.646(**)				
	Sig. (2-tailed)	.000	.000	1.000	.004				
γ_m	Correlation	1	.995(**)	.089	-.682(**)				
	Sig. (2-tailed)		.000	.725	.002				
$\gamma_{m,0}$	Correlation	.995(**)	1	.000	-.638(**)				
	Sig. (2-tailed)	.000		1.000	.004				
C	Correlation	.089	.000	1	-.632(**)				
	Sig. (2-tailed)	.725	1.000		.005				
W/C	Correlation	-.682(**)	-.638(**)	-.632(**)	1				
	Sig. (2-tailed)	.002	.004	.005					

** Correlation is significant at the 0.01 level (2-tailed).

* Correlation is significant at the 0.05 level (2-tailed).

ตารางที่ ง-4 ค่าสัมประสิทธิ์สหสัมพันธ์ของเพียร์สันระหว่างค่าตัวแปรต่างๆ ของคืนประเกท CH
อายุบ่ม 14 วัน

		q_u	$q_{u,0}$	E_{50}	$E_{50,0}$	ε_f	$\varepsilon_{f,0}$	ω	ω_0
q_u	Correlation	1	.640(**)	.956(**)	.116	-.669(**)	-.247	-.789(**)	-.759(**)
	Sig. (2-tailed)		.004	.000	.767	.002	.522	.000	.000
$q_{u,0}$	Correlation	.640(**)	1	.668(**)	.984(**)	-.628(**)	-.991(**)	-.856(**)	-.879(**)
	Sig. (2-tailed)	.004		.002	.000	.005	.000	.000	.000
E_{50}	Correlation	.956(**)	.668(**)	1	.328	-.616(**)	-.448	-.708(**)	-.686(**)
	Sig. (2-tailed)	.000	.002		.389	.006	.226	.001	.002
$E_{50,0}$	Correlation	.116	.984(**)	.328	1	-.635	-.950(**)	-.655	-.733(*)
	Sig. (2-tailed)	.767	.000	.389		.066	.000	.056	.025
ε_f	Correlation	-.669(**)	-.628(**)	-.616(**)	-.635	1	.754(*)	.754(**)	.678(**)
	Sig. (2-tailed)	.002	.005	.006	.066		.019	.000	.002
$\varepsilon_{f,0}$	Correlation	-.247	-.991(**)	-.448	-.950(**)	.754(*)	1	.848(**)	.908(**)
	Sig. (2-tailed)	.522	.000	.226	.000	.019		.004	.001
ω	Correlation	-.789(**)	-.856(**)	-.708(**)	-.655	.754(**)	.848(**)	1	.988(**)
	Sig. (2-tailed)	.000	.000	.001	.056	.000	.004		.000
ω_0	Correlation	-.759(**)	-.879(**)	-.686(**)	-.733(*)	.678(**)	.908(**)	.988(**)	1
	Sig. (2-tailed)	.000	.000	.002	.025	.002	.001	.000	
γ_m	Correlation	.801(**)	.926(**)	.759(**)	.762(*)	-.708(**)	-.915(**)	-.976(**)	-.983(**)
	Sig. (2-tailed)	.000	.000	.000	.017	.001	.001	.000	.000
$\gamma_{m,0}$	Correlation	.758(**)	.927(**)	.715(**)	.777(*)	-.670(**)	-.934(**)	-.972(**)	-.988(**)
	Sig. (2-tailed)	.000	.000	.001	.014	.002	.000	.000	.000
C	Correlation	.468	.000	.450	.000	-.489(*)	.000	-.133	.000
	Sig. (2-tailed)	.050	1.000	.061	1.000	.040	1.000	.598	1.000
W/C	Correlation	-.667(**)	-.568(*)	-.592(**)	-.376	.862(**)	.465	.750(**)	.646(**)
	Sig. (2-tailed)	.003	.014	.010	.319	.000	.207	.000	.004

** Correlation is significant at the 0.01 level (2-tailed).

* Correlation is significant at the 0.05 level (2-tailed).

ตารางที่ ง-4(ต่อ) ค่าสัมประสิทธิ์สหสัมพันธ์ของเพียร์สันระหว่างค่าตัวแปรต่างๆ ของдинประเกท
CH อายุบ่ม 14 วัน

		γ_m	$\gamma_{m,0}$	C	W/C				
q_u	Correlation	.801(**)	.758(**)	.468	-.667(**)				
	Sig. (2-tailed)	.000	.000	.050	.003				
$q_{u,0}$	Correlation	.926(**)	.927(**)	.000	-.568(*)				
	Sig. (2-tailed)	.000	.000	1.000	.014				
E_{s0}	Correlation	.759(**)	.715(**)	.450	-.592(**)				
	Sig. (2-tailed)	.000	.001	.061	.010				
$E_{s0,0}$	Correlation	.762(*)	.777(*)	.000	-.376				
	Sig. (2-tailed)	.017	.014	1.000	.319				
ϵ_t	Correlation	-.708(**)	-.670(**)	-.489(*)	.862(**)				
	Sig. (2-tailed)	.001	.002	.040	.000				
$\epsilon_{t,0}$	Correlation	-.915(**)	-.934(**)	.000	.465				
	Sig. (2-tailed)	.001	.000	1.000	.207				
ω	Correlation	-.976(**)	-.972(**)	-.133	.750(**)				
	Sig. (2-tailed)	.000	.000	.598	.000				
ω_0	Correlation	-.983(**)	-.988(**)	.000	.646(**)				
	Sig. (2-tailed)	.000	.000	1.000	.004				
γ_m	Correlation	1	.995(**)	.081	-.673(**)				
	Sig. (2-tailed)		.000	.751	.002				
$\gamma_{m,0}$	Correlation	.995(**)	1	.000	-.638(**)				
	Sig. (2-tailed)	.000		1.000	.004				
C	Correlation	.081	.000	1	-.632(**)				
	Sig. (2-tailed)	.751	1.000		.005				
W/C	Correlation	-.673(**)	-.638(**)	-.632(**)	1				
	Sig. (2-tailed)	.002	.004	.005					

** Correlation is significant at the 0.01 level (2-tailed).

* Correlation is significant at the 0.05 level (2-tailed).

ตารางที่ ง-5 ค่าสัมประสิทธิ์สหสัมพันธ์ของเพียร์สันระหว่างค่าตัวแปรต่างๆ ของคืนประเกท CH
อายุบ่ม 28 วัน

		q_u	$q_{u,0}$	E_{50}	$E_{50,0}$	ε_f	$\varepsilon_{f,0}$	ω	ω_0
q_u	Correlation	1	.583(*)	.937(**)	-.037	-.654(**)	-.112	-.788(**)	-.750(**)
	Sig. (2-tailed)		.011	.000	.925	.003	.774	.000	.000
$q_{u,0}$	Correlation	.583(*)	1	.616(**)	.984(**)	-.592(**)	-.991(**)	-.850(**)	-.879(**)
	Sig. (2-tailed)	.011		.006	.000	.010	.000	.000	.000
E_{50}	Correlation	.937(**)	.616(**)	1	.220	-.575(*)	-.365	-.698(**)	-.673(**)
	Sig. (2-tailed)	.000	.006		.569	.013	.334	.001	.002
$E_{50,0}$	Correlation	-.037	.984(**)	.220	1	-.575	-.950(**)	-.623	-.733(*)
	Sig. (2-tailed)	.925	.000	.569		.106	.000	.073	.025
ε_f	Correlation	-.654(**)	-.592(**)	-.575(*)	-.575	1	.695(*)	.734(**)	.646(**)
	Sig. (2-tailed)	.003	.010	.013	.106		.038	.001	.004
$\varepsilon_{f,0}$	Correlation	-.112	-.991(**)	-.365	-.950(**)	.695(*)	1	.825(**)	.908(**)
	Sig. (2-tailed)	.774	.000	.334	.000	.038		.006	.001
ω	Correlation	-.788(**)	-.850(**)	-.698(**)	-.623	.734(**)	.825(**)	1	.986(**)
	Sig. (2-tailed)	.000	.000	.001	.073	.001	.006		.000
ω_0	Correlation	-.750(**)	-.879(**)	-.673(**)	-.733(*)	.646(**)	.908(**)	.986(**)	1
	Sig. (2-tailed)	.000	.000	.002	.025	.004	.001	.000	
γ_m	Correlation	.770(**)	.932(**)	.730(**)	.789(*)	-.668(**)	-.932(**)	-.972(**)	-.982(**)
	Sig. (2-tailed)	.000	.000	.001	.011	.002	.000	.000	.000
$\gamma_{m,0}$	Correlation	.738(**)	.927(**)	.696(**)	.777(*)	-.635(**)	-.934(**)	-.970(**)	-.988(**)
	Sig. (2-tailed)	.000	.000	.001	.014	.005	.000	.000	.000
C	Correlation	.461	.000	.430	.000	-.514(*)	.000	-.140	.000
	Sig. (2-tailed)	.054	1.000	.075	1.000	.029	1.000	.578	1.000
W/C	Correlation	-.673(**)	-.568(*)	-.575(*)	-.376	.860(**)	.465	.755(**)	.646(**)
	Sig. (2-tailed)	.002	.014	.013	.319	.000	.207	.000	.004
P_c	Correlation	.099	-.370	.280	.(a)	-.712	.(a)	.141	.370
	Sig. (2-tailed)	.852	.470	.591	.000	.112	.000	.790	.470
$P_{c,0}$	Correlation	-.730	-1.000(**)	-.646	.(a)	.374	.(a)	.971(**)	1.000(**)
	Sig. (2-tailed)	.100	.000	.166	.000	.465	.000	.001	.000
C_c	Correlation	-.882(*)	-.963(**)	-.825(*)	.(a)	.551	.(a)	.980(**)	.963(**)
	Sig. (2-tailed)	.020	.002	.043	.000	.257	.000	.001	.002
$C_{c,0}$	Correlation	-.730	-1.000(**)	-.646	.(a)	.374	.(a)	.971(**)	1.000(**)
	Sig. (2-tailed)	.100	.000	.166	.000	.465	.000	.001	.000
C_r	Correlation	-.709	-.558	-.772	.(a)	.956(**)	.(a)	.737	.558
	Sig. (2-tailed)	.115	.250	.072	.000	.003	.000	.095	.250
$C_{r,0}$	Correlation	-.730	-1.000(**)	-.646	.(a)	.374	.(a)	.971(**)	1.000(**)
	Sig. (2-tailed)	.100	.000	.166	.000	.465	.000	.001	.000

** Correlation is significant at the 0.01 level (2-tailed).

* Correlation is significant at the 0.05 level (2-tailed).

a Cannot be computed because at least one of the variables is constant.

ตารางที่ ๔-๕(ต่อ) ค่าสัมประสิทธิ์สหสัมพันธ์ของเพียร์สันระหว่างค่าตัวแปรต่างๆ ของคืนประเกต
CH อายุบ่ำ 28 วัน

		γ_m	$\gamma_{m,0}$	C	W/C	P_c	$P_{c,0}$	C_c	$C_{c,0}$
q_u	Correlation	.770(**)	.738(**)	.461	-.673(**)	.099	-.730	-.882(*)	-.730
	Sig. (2-tailed)	.000	.000	.054	.002	.852	.100	.020	.100
$q_{u,0}$	Correlation	.932(**)	.927(**)	.000	-.568(*)	-.370	-1.000(**)	-.963(**)	-1.000(**)
	Sig. (2-tailed)	.000	.000	1.000	.014	.470	.000	.002	.000
E_{s0}	Correlation	.730(**)	.696(**)	.430	-.575(*)	.280	-.646	-.825(*)	-.646
	Sig. (2-tailed)	.001	.001	.075	.013	.591	.166	.043	.166
$E_{s0,0}$	Correlation	.789(*)	.777(*)	.000	-.376	.(a)	.(a)	.(a)	.(a)
	Sig. (2-tailed)	.011	.014	1.000	.319	.000	.000	.000	.000
ϵ_t	Correlation	-.668(**)	-.635(**)	-.514(*)	.860(**)	-.712	.374	.551	.374
	Sig. (2-tailed)	.002	.005	.029	.000	.112	.465	.257	.465
$\epsilon_{t,0}$	Correlation	-.932(**)	-.934(**)	.000	.465	.(a)	.(a)	.(a)	.(a)
	Sig. (2-tailed)	.000	.000	1.000	.207	.000	.000	.000	.000
ω	Correlation	-.972(**)	-.970(**)	-.140	.755(**)	.141	.971(**)	.980(**)	.971(**)
	Sig. (2-tailed)	.000	.000	.578	.000	.790	.001	.001	.001
ω_0	Correlation	-.982(**)	-.988(**)	.000	.646(**)	.370	1.000(**)	.963(**)	1.000(**)
	Sig. (2-tailed)	.000	.000	1.000	.004	.470	.000	.002	.000
γ_m	Correlation	1	.996(**)	.071	-.668(**)	-.264	-.985(**)	-.990(**)	-.985(**)
	Sig. (2-tailed)		.000	.779	.002	.614	.000	.000	.000
$\gamma_{m,0}$	Correlation	.996(**)	1	.000	-.638(**)	-.370	-1.000(**)	-.963(**)	-1.000(**)
	Sig. (2-tailed)	.000		1.000	.004	.470	.000	.002	.000
C	Correlation	.071	.000	1	-.632(**)	.873(*)	.000	-.245	.000
	Sig. (2-tailed)	.779	1.000		.005	.023	1.000	.641	1.000
W/C	Correlation	-.668(**)	-.638(**)	-.632(**)	1	-.594	.477	.640	.477
	Sig. (2-tailed)	.002	.004	.005		.213	.338	.171	.338
P_c	Correlation	-.264	-.370	.873(*)	-.594	1	.370	.174	.370
	Sig. (2-tailed)	.614	.470	.023	.213		.470	.741	.470
$P_{c,0}$	Correlation	-.985(**)	-1.000(**)	.000	.477	.370	1	.963(**)	1.000(**)
	Sig. (2-tailed)	.000	.000	1.000	.338	.470		.002	.000
C_c	Correlation	-.990(**)	-.963(**)	-.245	.640	.174	.963(**)	1	.963(**)
	Sig. (2-tailed)	.000	.002	.641	.171	.741	.002		.002
$C_{c,0}$	Correlation	-.985(**)	-1.000(**)	.000	.477	.370	1.000(**)	.963(**)	1
	Sig. (2-tailed)	.000	.000	1.000	.338	.470	.000	.002	
C_r	Correlation	-.619	-.558	-.709	.991(**)	-.516	.558	.695	.558
	Sig. (2-tailed)	.190	.250	.115	.000	.295	.250	.126	.250
$C_{r,0}$	Correlation	-.985(**)	-1.000(**)	.000	.477	.370	1.000(**)	.963(**)	1.000(**)
	Sig. (2-tailed)	.000	.000	1.000	.338	.470	.000	.002	.000

** Correlation is significant at the 0.01 level (2-tailed).

* Correlation is significant at the 0.05 level (2-tailed).

a Cannot be computed because at least one of the variables is constant.

ตารางที่ ๔-๕(ต่อ) ค่าสัมประสิทธิ์สหสัมพันธ์ของเพียร์สันระหว่างค่าตัวแปรต่างๆ ของคืนประเภท CH อายุบ่ม 28 วัน

		C_r	$C_{r,0}$						
q_u	Correlation	-.709	-.730						
	Sig. (2-tailed)	.115	.100						
$q_{u,0}$	Correlation	-.558	-1.000(**)						
	Sig. (2-tailed)	.250	.000						
E_{50}	Correlation	-.772	-.646						
	Sig. (2-tailed)	.072	.166						
$E_{50,0}$	Correlation	.(a)	.(a)						
	Sig. (2-tailed)	.000	.000						
ε_f	Correlation	.956(**)	.374						
	Sig. (2-tailed)	.003	.465						
$\varepsilon_{f,0}$	Correlation	.(a)	.(a)						
	Sig. (2-tailed)	.000	.000						
ω	Correlation	.737	.971(**)						
	Sig. (2-tailed)	.095	.001						
ω_0	Correlation	.558	1.000(**)						
	Sig. (2-tailed)	.250	.000						
γ_m	Correlation	-.619	-.985(**)						
	Sig. (2-tailed)	.190	.000						
$\gamma_{m,0}$	Correlation	-.558	-1.000(**)						
	Sig. (2-tailed)	.250	.000						
C	Correlation	-.709	.000						
	Sig. (2-tailed)	.115	1.000						
W/C	Correlation	.991(**)	.477						
	Sig. (2-tailed)	.000	.338						
P_c	Correlation	-.516	.370						
	Sig. (2-tailed)	.295	.470						
$P_{c,0}$	Correlation	.558	1.000(**)						
	Sig. (2-tailed)	.250	.000						
C_c	Correlation	.695	.963(**)						
	Sig. (2-tailed)	.126	.002						
$C_{c,0}$	Correlation	.558	1.000(**)						
	Sig. (2-tailed)	.250	.000						
C_r	Correlation	1	.558						
	Sig. (2-tailed)		.250						
$C_{r,0}$	Correlation	.558	1						
	Sig. (2-tailed)	.250							

** Correlation is significant at the 0.01 level (2-tailed).

* Correlation is significant at the 0.05 level (2-tailed).

a Cannot be computed because at least one of the variables is constant.

ตารางที่ ง-6 ค่าสัมประสิทธิ์สหสัมพันธ์ของเพียร์สันระหว่างค่าตัวแปรต่างๆ ของдинประเกท MH
อายุบ่ม 1 - 28 วัน

		q_u	$q_{u,0}$	E_{50}	$E_{50,0}$	ε_f	$\varepsilon_{f,0}$	ω	ω_0
q_u	Correlation	1	.811(**)	.974(**)	.756(**)	-.649(**)	-.782(**)	-.838(**)	-.817(**)
	Sig. (2-tailed)		.000	.000	.000	.000	.000	.000	.000
$q_{u,0}$	Correlation	.811(**)	1	.752(**)	.993(**)	-.479(**)	-.855(**)	-.674(**)	-.694(**)
	Sig. (2-tailed)	.000		.000	.000	.000	.000	.000	.000
E_{50}	Correlation	.974(**)	.752(**)	1	.731(**)	-.633(**)	-.756(**)	-.766(**)	-.728(**)
	Sig. (2-tailed)	.000	.000		.000	.000	.000	.000	.000
$E_{50,0}$	Correlation	.756(**)	.993(**)	.731(**)	1	-.478(**)	-.812(**)	-.656(**)	-.674(**)
	Sig. (2-tailed)	.000	.000	.000		.000	.000	.000	.000
ε_f	Correlation	-.649(**)	-.479(**)	-.633(**)	-.478(**)	1	.598(**)	.600(**)	.515(**)
	Sig. (2-tailed)	.000	.000	.000	.000		.000	.000	.000
$\varepsilon_{f,0}$	Correlation	-.782(**)	-.855(**)	-.756(**)	-.812(**)	.598(**)	1	.685(**)	.716(**)
	Sig. (2-tailed)	.000	.000	.000	.000	.000		.000	.000
ω	Correlation	-.838(**)	-.674(**)	-.766(**)	-.656(**)	.600(**)	.685(**)	1	.981(**)
	Sig. (2-tailed)	.000	.000	.000	.000	.000			.000
ω_0	Correlation	-.817(**)	-.694(**)	-.728(**)	-.674(**)	.515(**)	.716(**)	.981(**)	1
	Sig. (2-tailed)	.000	.000	.000	.000	.000	.000	.000	
γ_m	Correlation	.837(**)	.769(**)	.728(**)	.731(**)	-.486(**)	-.667(**)	-.928(**)	-.949(**)
	Sig. (2-tailed)	.000	.000	.000	.000	.000	.000	.000	.000
$\gamma_{m,0}$	Correlation	.818(**)	.758(**)	.697(**)	.697(**)	-.464(**)	-.637(**)	-.938(**)	-.956(**)
	Sig. (2-tailed)	.000	.000	.000	.000	.000	.000	.000	.000
T	Correlation	.137	.000	.174(*)	.000	-.259(**)	.000	-.096	.000
	Sig. (2-tailed)	.102	1.000	.046	1.000	.003	1.000	.252	1.000
C	Correlation	.308(**)	.000	.328(**)	.000	-.392(**)	.000	-.139	.000
	Sig. (2-tailed)	.000	1.000	.000	1.000	.000	1.000	.097	1.000
W/C	Correlation	-.646(**)	-.428(**)	-.621(**)	-.432(**)	.679(**)	.460(**)	.721(**)	.616(**)
	Sig. (2-tailed)	.000	.000	.000	.000	.000	.000	.000	.000
P_c	Correlation	.677(*)	.058	.702(*)	.112	-.707(*)	-.111	-.286	-.004
	Sig. (2-tailed)	.015	.858	.011	.774	.010	.776	.367	.990
$P_{c,0}$	Correlation	.398	.507	.516	.973(**)	-.420	-.728(*)	-.107	-.312
	Sig. (2-tailed)	.200	.093	.086	.000	.174	.026	.740	.324
C_c	Correlation	-.833(**)	.084	-.768(**)	.076	.796(**)	-.226	.656(*)	.420
	Sig. (2-tailed)	.001	.795	.004	.846	.002	.559	.020	.174
$C_{c,0}$	Correlation	-.663(*)	.362	-.641(*)	.486	.146	-.857(**)	.874(**)	.984(**)
	Sig. (2-tailed)	.019	.248	.025	.185	.651	.003	.000	.000
C_r	Correlation	-.740(**)	-.042	-.702(*)	.026	.768(**)	-.251	.535	.296
	Sig. (2-tailed)	.006	.897	.011	.947	.004	.515	.073	.350
$C_{r,0}$	Correlation	-.585(*)	.266	-.545	.395	.170	-.801(**)	.817(**)	.919(**)
	Sig. (2-tailed)	.046	.404	.067	.293	.598	.010	.001	.000

** Correlation is significant at the 0.01 level (2-tailed).

* Correlation is significant at the 0.05 level (2-tailed).

a Cannot be computed because at least one of the variables is constant.

ตารางที่ ๔-๖(ต่อ) ค่าสัมประสิทธิ์สหสัมพันธ์ของเพียร์สันระหว่างค่าตัวแปรต่างๆ ของคืนประเกต

MH อายุปัจม 1 - 28 วัน

		γ_m	$\gamma_{m,0}$	T	C	W/C	P_c	$P_{c,0}$	C_c
q_u	Correlation	.837(**)	.818(**)	.137	.308(**)	-.646(**)	.677(*)	.398	-.833(**)
	Sig. (2-tailed)	.000	.000	.102	.000	.000	.015	.200	.001
$q_{u,0}$	Correlation	.769(**)	.758(**)	.000	.000	-.428(**)	.058	.507	.084
	Sig. (2-tailed)	.000	.000	1.000	1.000	.000	.858	.093	.795
E_{s0}	Correlation	.728(**)	.697(**)	.174(*)	.328(**)	-.621(**)	.702(*)	.516	-.768(**)
	Sig. (2-tailed)	.000	.000	.046	.000	.000	.011	.086	.004
$E_{s0,0}$	Correlation	.731(**)	.697(**)	.000	.000	-.432(**)	.112	.973(**)	.076
	Sig. (2-tailed)	.000	.000	1.000	1.000	.000	.774	.000	.846
ϵ_t	Correlation	-.486(**)	-.464(**)	-.259(**)	-.392(**)	.679(**)	-.707(*)	-.420	.796(**)
	Sig. (2-tailed)	.000	.000	.003	.000	.000	.010	.174	.002
$\epsilon_{t,0}$	Correlation	-.667(**)	-.637(**)	.000	.000	.460(**)	-.111	-.728(*)	-.226
	Sig. (2-tailed)	.000	.000	1.000	1.000	.000	.776	.026	.559
ω	Correlation	-.928(**)	-.938(**)	-.096	-.139	.721(**)	-.286	-.107	.656(*)
	Sig. (2-tailed)	.000	.000	.252	.097	.000	.367	.740	.020
ω_0	Correlation	-.949(**)	-.956(**)	.000	.000	.616(**)	-.004	-.312	.420
	Sig. (2-tailed)	.000	.000	1.000	1.000	.000	.990	.324	.174
γ_m	Correlation	1	.983(**)	-.110	.105	-.649(**)	.171	.359	-.522
	Sig. (2-tailed)		.000	.191	.210	.000	.594	.252	.082
$\gamma_{m,0}$	Correlation	.983(**)	1	.000	.000	-.589(**)	-.013	.118	-.374
	Sig. (2-tailed)	.000		1.000	1.000	.000	.967	.714	.231
T	Correlation	-.110	.000	1	.000	.000	.(a)	.(a)	.(a)
	Sig. (2-tailed)	.191	1.000		1.000	1.000	.000	.000	.000
C	Correlation	.105	.000	.000	1	-.664(**)	.970(**)	.000	-.839(**)
	Sig. (2-tailed)	.210	1.000	1.000		.000	.000	1.000	.001
W/C	Correlation	-.649(**)	-.589(**)	.000	-.664(**)	1	-.779(**)	-.111	.963(**)
	Sig. (2-tailed)	.000	.000	1.000	.000		.003	.731	.000
P_c	Correlation	.171	-.013	.(a)	.970(**)	-.779(**)	1	.104	-.782(**)
	Sig. (2-tailed)	.594	.967	.000	.000	.003		.748	.003
$P_{c,0}$	Correlation	.359	.118	.(a)	.000	-.111	.104	1	-.224
	Sig. (2-tailed)	.252	.714	.000	1.000	.731	.748		.483
C_c	Correlation	-.522	-.374	.(a)	-.839(**)	.963(**)	-.782(**)	-.224	1
	Sig. (2-tailed)	.082	.231	.000	.001	.000	.003	.483	
$C_{c,0}$	Correlation	-.963(**)	-.919(**)	.(a)	.000	.350	-.013	-.423	.442
	Sig. (2-tailed)	.000	.000	.000	1.000	.265	.969	.171	.150
C_r	Correlation	-.378	-.239	.(a)	-.833(**)	.912(**)	-.765(**)	-.161	.938(**)
	Sig. (2-tailed)	.226	.455	.000	.001	.000	.004	.617	.000
$C_{r,0}$	Correlation	-.875(**)	-.842(**)	.(a)	.000	.327	.007	-.312	.441
	Sig. (2-tailed)	.000	.001	.000	1.000	.300	.984	.323	.152

** Correlation is significant at the 0.01 level (2-tailed).

* Correlation is significant at the 0.05 level (2-tailed).

a Cannot be computed because at least one of the variables is constant.

ตารางที่ ๔-๖(ต่อ) ค่าสัมประสิทธิ์สหสัมพันธ์ของเพียร์สันระหว่างค่าตัวแปรต่างๆ ของคืนประเภท

MH อายุปัจจุบัน 1 - 28 วัน

		C _{c, 0}	C _r	C _{r, 0}					
q _u	Correlation	-.663(*)	-.740(**)	-.585(*)					
	Sig. (2-tailed)	.019	.006	.046					
q _{u, 0}	Correlation	.362	-.042	.266					
	Sig. (2-tailed)	.248	.897	.404					
E _{s0}	Correlation	-.641(*)	-.702(*)	-.545					
	Sig. (2-tailed)	.025	.011	.067					
E _{s0, 0}	Correlation	.486	.026	.395					
	Sig. (2-tailed)	.185	.947	.293					
ε _f	Correlation	.146	.768(**)	.170					
	Sig. (2-tailed)	.651	.004	.598					
ε _{f, 0}	Correlation	-.857(**)	-.251	-.801(**)					
	Sig. (2-tailed)	.003	.515	.010					
Ω	Correlation	.874(**)	.535	.817(**)					
	Sig. (2-tailed)	.000	.073	.001					
Ω ₀	Correlation	.984(**)	.296	.919(**)					
	Sig. (2-tailed)	.000	.350	.000					
γ _m	Correlation	-.963(**)	-.378	-.875(**)					
	Sig. (2-tailed)	.000	.226	.000					
γ _{m, 0}	Correlation	-.919(**)	-.239	-.842(**)					
	Sig. (2-tailed)	.000	.455	.001					
T	Correlation	.(a)	.(a)	.(a)					
	Sig. (2-tailed)	.000	.000	.000					
C	Correlation	.000	-.833(**)	.000					
	Sig. (2-tailed)	1.000	.001	1.000					
W/C	Correlation	.350	.912(**)	.327					
	Sig. (2-tailed)	.265	.000	.300					
P _c	Correlation	-.013	-.765(**)	.007					
	Sig. (2-tailed)	.969	.004	.984					
P _{c, 0}	Correlation	-.423	-.161	-.312					
	Sig. (2-tailed)	.171	.617	.323					
C _c	Correlation	.442	.938(**)	.441					
	Sig. (2-tailed)	.150	.000	.152					
C _{c, 0}	Correlation	1	.339	.958(**)					
	Sig. (2-tailed)		.282	.000					
C _r	Correlation	.339	1	.391					
	Sig. (2-tailed)	.282		.209					
C _{r, 0}	Correlation	.958(**)	.391	1					
	Sig. (2-tailed)	.000	.209						

** Correlation is significant at the 0.01 level (2-tailed).

* Correlation is significant at the 0.05 level (2-tailed).

a Cannot be computed because at least one of the variables is constant.

ตารางที่ ง-7 ค่าสัมประสิทธิ์สหสัมพันธ์ของเพียร์สันระหว่างค่าตัวแปรต่างๆ ของдинประเกท MH
อายุบ่ม 1 วัน

		q_u	$q_{u,0}$	E_{50}	$E_{50,0}$	ε_f	$\varepsilon_{f,0}$	ω	ω_0
q_u	Correlation	1	.843(**)	.968(**)	.811(**)	-.649(**)	-.814(**)	-.827(**)	-.814(**)
	Sig. (2-tailed)		.000	.000	.000	.000	.000	.000	.000
$q_{u,0}$	Correlation	.843(**)	1	.778(**)	.993(**)	-.535(**)	-.855(**)	-.688(**)	-.694(**)
	Sig. (2-tailed)	.000		.000	.000	.002	.000	.000	.000
E_{50}	Correlation	.968(**)	.778(**)	1	.785(**)	-.637(**)	-.765(**)	-.742(**)	-.717(**)
	Sig. (2-tailed)	.000	.000		.000	.000	.000	.000	.000
$E_{50,0}$	Correlation	.811(**)	.993(**)	.785(**)	1	-.520(*)	-.812(**)	-.669(**)	-.674(**)
	Sig. (2-tailed)	.000	.000	.000		.016	.000	.001	.001
ε_f	Correlation	-.649(**)	-.535(**)	-.637(**)	-.520(*)	1	.637(**)	.596(**)	.527(**)
	Sig. (2-tailed)	.000	.002	.000	.016		.002	.000	.002
$\varepsilon_{f,0}$	Correlation	-.814(**)	-.855(**)	-.765(**)	-.812(**)	.637(**)	1	.711(**)	.716(**)
	Sig. (2-tailed)	.000	.000	.000	.000	.002		.000	.000
ω	Correlation	-.827(**)	-.688(**)	-.742(**)	-.669(**)	.596(**)	.711(**)	1	.992(**)
	Sig. (2-tailed)	.000	.000	.000	.001	.000	.000		.000
ω_0	Correlation	-.814(**)	-.694(**)	-.717(**)	-.674(**)	.527(**)	.716(**)	.992(**)	1
	Sig. (2-tailed)	.000	.000	.000	.001	.002	.000	.000	
γ_m	Correlation	.864(**)	.766(**)	.743(**)	.731(**)	-.558(**)	-.651(**)	-.961(**)	-.954(**)
	Sig. (2-tailed)	.000	.000	.000	.000	.001	.001	.000	.000
$\gamma_{m,0}$	Correlation	.822(**)	.758(**)	.679(**)	.697(**)	-.488(**)	-.637(**)	-.948(**)	-.956(**)
	Sig. (2-tailed)	.000	.000	.000	.000	.005	.002	.000	.000
C	Correlation	.279	.000	.343	.000	-.493(**)	.000	-.118	.000
	Sig. (2-tailed)	.099	1.000	.055	1.000	.004	1.000	.494	1.000
W/C	Correlation	-.619(**)	-.428(**)	-.606(**)	-.432	.792(**)	.460(*)	.707(**)	.616(**)
	Sig. (2-tailed)	.000	.009	.000	.050	.000	.036	.000	.000

** Correlation is significant at the 0.01 level (2-tailed).

* Correlation is significant at the 0.05 level (2-tailed).

ตารางที่ ง-7(ต่อ) ค่าสัมประสิทธิ์สหสัมพันธ์ของเพียร์สันระหว่างค่าตัวแปรต่างๆ ของдинประเกท
MH อายุปัจม 1 วัน

		γ_m	$\gamma_{m,0}$	C	W/C				
q_u	Correlation	.864(**)	.822(**)	.279	-.619(**)				
	Sig. (2-tailed)	.000	.000	.099	.000				
$q_{u,0}$	Correlation	.766(**)	.758(**)	.000	-.428(**)				
	Sig. (2-tailed)	.000	.000	1.000	.009				
E_{s0}	Correlation	.743(**)	.679(**)	.343	-.606(**)				
	Sig. (2-tailed)	.000	.000	.055	.000				
$E_{s0,0}$	Correlation	.731(**)	.697(**)	.000	-.432				
	Sig. (2-tailed)	.000	.000	1.000	.050				
ϵ_t	Correlation	-.558(**)	-.488(**)	-.493(**)	.792(**)				
	Sig. (2-tailed)	.001	.005	.004	.000				
$\epsilon_{t,0}$	Correlation	-.651(**)	-.637(**)	.000	.460(*)				
	Sig. (2-tailed)	.001	.002	1.000	.036				
ω	Correlation	-.961(**)	-.948(**)	-.118	.707(**)				
	Sig. (2-tailed)	.000	.000	.494	.000				
ω_0	Correlation	-.954(**)	-.956(**)	.000	.616(**)				
	Sig. (2-tailed)	.000	.000	1.000	.000				
γ_m	Correlation	1	.989(**)	.131	-.673(**)				
	Sig. (2-tailed)		.000	.447	.000				
$\gamma_{m,0}$	Correlation	.989(**)	1	.000	-.589(**)				
	Sig. (2-tailed)	.000		1.000	.000				
C	Correlation	.131	.000	1	-.664(**)				
	Sig. (2-tailed)	.447	1.000		.000				
W/C	Correlation	-.673(**)	-.589(**)	-.664(**)	1				
	Sig. (2-tailed)	.000	.000	.000					

** Correlation is significant at the 0.01 level (2-tailed).

* Correlation is significant at the 0.05 level (2-tailed).

ตารางที่ ง-8 ค่าสัมประสิทธิ์สหสัมพันธ์ของเพียร์สันระหว่างค่าตัวแปรต่างๆ ของдинประเกท MH
อายุบ่ม 7 วัน

		q_u	$q_{u,0}$	E_{50}	$E_{50,0}$	ε_f	$\varepsilon_{f,0}$	ω	ω_0
q_u	Correlation	1	.824(**)	.978(**)	.778(**)	-.646(**)	-.788(**)	-.832(**)	-.820(**)
	Sig. (2-tailed)		.000	.000	.000	.000	.000	.000	.000
$q_{u,0}$	Correlation	.824(**)	1	.778(**)	.993(**)	-.498(**)	-.855(**)	-.677(**)	-.694(**)
	Sig. (2-tailed)	.000		.000	.000	.003	.000	.000	.000
E_{50}	Correlation	.978(**)	.778(**)	1	.769(**)	-.633(**)	-.794(**)	-.770(**)	-.746(**)
	Sig. (2-tailed)	.000	.000		.000	.000	.000	.000	.000
$E_{50,0}$	Correlation	.778(**)	.993(**)	.769(**)	1	-.524(*)	-.812(**)	-.659(**)	-.674(**)
	Sig. (2-tailed)	.000	.000	.000		.015	.000	.001	.001
ε_f	Correlation	-.646(**)	-.498(**)	-.633(**)	-.524(*)	1	.662(**)	.635(**)	.610(**)
	Sig. (2-tailed)	.000	.003	.000	.015		.001	.000	.000
$\varepsilon_{f,0}$	Correlation	-.788(**)	-.855(**)	-.794(**)	-.812(**)	.662(**)	1	.690(**)	.716(**)
	Sig. (2-tailed)	.000	.000	.000	.000	.001		.001	.000
ω	Correlation	-.832(**)	-.677(**)	-.770(**)	-.659(**)	.635(**)	.690(**)	1	.988(**)
	Sig. (2-tailed)	.000	.000	.000	.001	.000	.001		.000
ω_0	Correlation	-.820(**)	-.694(**)	-.746(**)	-.674(**)	.610(**)	.716(**)	.988(**)	1
	Sig. (2-tailed)	.000	.000	.000	.001	.000	.000	.000	
γ_m	Correlation	.866(**)	.774(**)	.771(**)	.736(**)	-.561(**)	-.669(**)	-.952(**)	-.953(**)
	Sig. (2-tailed)	.000	.000	.000	.000	.001	.001	.000	.000
$\gamma_{m,0}$	Correlation	.824(**)	.758(**)	.712(**)	.697(**)	-.517(**)	-.637(**)	-.943(**)	-.956(**)
	Sig. (2-tailed)	.000	.000	.000	.000	.002	.002	.000	.000
C	Correlation	.313	.000	.319	.000	-.227	.000	-.134	.000
	Sig. (2-tailed)	.063	1.000	.071	1.000	.204	1.000	.437	1.000
W/C	Correlation	-.643(**)	-.428(**)	-.626(**)	-.432	.581(**)	.460(*)	.720(**)	.616(**)
	Sig. (2-tailed)	.000	.009	.000	.050	.000	.036	.000	.000

** Correlation is significant at the 0.01 level (2-tailed).

* Correlation is significant at the 0.05 level (2-tailed).

ตารางที่ ง-8(ต่อ) ค่าสัมประสิทธิ์สหสัมพันธ์ของเพียร์สันระหว่างค่าตัวแปรต่างๆ ของдинประเกท
MH อายุปัจม 7 วัน

		γ_m	$\gamma_{m,0}$	C	W/C				
q_u	Correlation	.866(**)	.824(**)	.313	-.643(**)				
	Sig. (2-tailed)	.000	.000	.063	.000				
$q_{u,0}$	Correlation	.774(**)	.758(**)	.000	-.428(**)				
	Sig. (2-tailed)	.000	.000	1.000	.009				
E_{s_0}	Correlation	.771(**)	.712(**)	.319	-.626(**)				
	Sig. (2-tailed)	.000	.000	.071	.000				
$E_{s_0,0}$	Correlation	.736(**)	.697(**)	.000	-.432				
	Sig. (2-tailed)	.000	.000	1.000	.050				
ε_f	Correlation	-.561(**)	-.517(**)	-.227	.581(**)				
	Sig. (2-tailed)	.001	.002	.204	.000				
$\varepsilon_{f,0}$	Correlation	-.669(**)	-.637(**)	.000	.460(*)				
	Sig. (2-tailed)	.001	.002	1.000	.036				
ω	Correlation	-.952(**)	-.943(**)	-.134	.720(**)				
	Sig. (2-tailed)	.000	.000	.437	.000				
ω_0	Correlation	-.953(**)	-.956(**)	.000	.616(**)				
	Sig. (2-tailed)	.000	.000	1.000	.000				
γ_m	Correlation	1	.990(**)	.112	-.658(**)				
	Sig. (2-tailed)		.000	.514	.000				
$\gamma_{m,0}$	Correlation	.990(**)	1	.000	-.589(**)				
	Sig. (2-tailed)	.000		1.000	.000				
C	Correlation	.112	.000	1	-.664(**)				
	Sig. (2-tailed)	.514	1.000		.000				
W/C	Correlation	-.658(**)	-.589(**)	-.664(**)	1				
	Sig. (2-tailed)	.000	.000	.000					

** Correlation is significant at the 0.01 level (2-tailed).

* Correlation is significant at the 0.05 level (2-tailed).

ตารางที่ ง-9 ค่าสัมประสิทธิ์สหสัมพันธ์ของเพียร์สันระหว่างค่าตัวแปรต่างๆ ของдинประเกท MH
อายุบ่ม 14 วัน

		q_u	$q_{u,0}$	E_{50}	$E_{50,0}$	ε_f	$\varepsilon_{f,0}$	ω	ω_0
q_u	Correlation	1	.817(**)	.982(**)	.762(**)	-.697(**)	-.795(**)	-.851(**)	-.832(**)
	Sig. (2-tailed)		.000	.000	.000	.000	.000	.000	.000
$q_{u,0}$	Correlation	.817(**)	1	.780(**)	.993(**)	-.525(**)	-.855(**)	-.675(**)	-.694(**)
	Sig. (2-tailed)	.000		.000	.000	.002	.000	.000	.000
E_{50}	Correlation	.982(**)	.780(**)	1	.762(**)	-.683(**)	-.787(**)	-.790(**)	-.760(**)
	Sig. (2-tailed)	.000	.000		.000	.000	.000	.000	.000
$E_{50,0}$	Correlation	.762(**)	.993(**)	.762(**)	1	-.499(*)	-.812(**)	-.659(**)	-.674(**)
	Sig. (2-tailed)	.000	.000	.000		.021	.000	.001	.001
ε_f	Correlation	-.697(**)	-.525(**)	-.683(**)	-.499(*)	1	.623(**)	.590(**)	.504(**)
	Sig. (2-tailed)	.000	.002	.000	.021		.003	.000	.003
$\varepsilon_{f,0}$	Correlation	-.795(**)	-.855(**)	-.787(**)	-.812(**)	.623(**)	1	.683(**)	.716(**)
	Sig. (2-tailed)	.000	.000	.000	.000	.003		.001	.000
ω	Correlation	-.851(**)	-.675(**)	-.790(**)	-.659(**)	.590(**)	.683(**)	1	.984(**)
	Sig. (2-tailed)	.000	.000	.000	.001	.000	.001		.000
ω_0	Correlation	-.832(**)	-.694(**)	-.760(**)	-.674(**)	.504(**)	.716(**)	.984(**)	1
	Sig. (2-tailed)	.000	.000	.000	.001	.003	.000	.000	
γ_m	Correlation	.868(**)	.776(**)	.784(**)	.734(**)	-.553(**)	-.678(**)	-.949(**)	-.955(**)
	Sig. (2-tailed)	.000	.000	.000	.000	.001	.001	.000	.000
$\gamma_{m,0}$	Correlation	.829(**)	.758(**)	.730(**)	.697(**)	-.481(**)	-.637(**)	-.941(**)	-.956(**)
	Sig. (2-tailed)	.000	.000	.000	.000	.005	.002	.000	.000
C	Correlation	.325	.000	.331	.000	-.528(**)	.000	-.146	.000
	Sig. (2-tailed)	.053	1.000	.060	1.000	.002	1.000	.394	1.000
W/C	Correlation	-.670(**)	-.428(**)	-.648(**)	-.432	.814(**)	.460(*)	.729(**)	.616(**)
	Sig. (2-tailed)	.000	.009	.000	.050	.000	.036	.000	.000

** Correlation is significant at the 0.01 level (2-tailed).

* Correlation is significant at the 0.05 level (2-tailed).

ตารางที่ ง-9(ต่อ) ค่าสัมประสิทธิ์สหสัมพันธ์ของเพียร์สันระหว่างค่าตัวแปรต่างๆ ของдинประเกท
MH อายุปัจม 14 วัน

		γ_m	$\gamma_{m,0}$	C	W/C				
q_u	Correlation	.868(**)	.829(**)	.325	-.670(**)				
	Sig. (2-tailed)	.000	.000	.053	.000				
$q_{u,0}$	Correlation	.776(**)	.758(**)	.000	-.428(**)				
	Sig. (2-tailed)	.000	.000	1.000	.009				
E_{s0}	Correlation	.784(**)	.730(**)	.331	-.648(**)				
	Sig. (2-tailed)	.000	.000	.060	.000				
$E_{s0,0}$	Correlation	.734(**)	.697(**)	.000	-.432				
	Sig. (2-tailed)	.000	.000	1.000	.050				
ϵ_t	Correlation	-.553(**)	-.481(**)	-.528(**)	.814(**)				
	Sig. (2-tailed)	.001	.005	.002	.000				
$\epsilon_{t,0}$	Correlation	-.678(**)	-.637(**)	.000	.460(*)				
	Sig. (2-tailed)	.001	.002	1.000	.036				
ω	Correlation	-.949(**)	-.941(**)	-.146	.729(**)				
	Sig. (2-tailed)	.000	.000	.394	.000				
ω_0	Correlation	-.955(**)	-.956(**)	.000	.616(**)				
	Sig. (2-tailed)	.000	.000	1.000	.000				
γ_m	Correlation	1	.990(**)	.099	-.649(**)				
	Sig. (2-tailed)		.000	.565	.000				
$\gamma_{m,0}$	Correlation	.990(**)	1	.000	-.589(**)				
	Sig. (2-tailed)	.000		1.000	.000				
C	Correlation	.099	.000	1	-.664(**)				
	Sig. (2-tailed)	.565	1.000		.000				
W/C	Correlation	-.649(**)	-.589(**)	-.664(**)	1				
	Sig. (2-tailed)	.000	.000	.000					

** Correlation is significant at the 0.01 level (2-tailed).

* Correlation is significant at the 0.05 level (2-tailed).

ตารางที่ 4-10 ค่าสัมประสิทธิ์สหสัมพันธ์ของเพียร์สันระหว่างค่าตัวแปรต่างๆ ของдинประเกท MH
อายุบ่ม 28 วัน

		q_u	$q_{u,0}$	E_{50}	$E_{50,0}$	ε_f	$\varepsilon_{f,0}$	ω	ω_0
q_u	Correlation	1	.810(**)	.978(**)	.737(**)	-.653(**)	-.791(**)	-.860(**)	-.843(**)
	Sig. (2-tailed)		.000	.000	.000	.000	.000	.000	.000
$q_{u,0}$	Correlation	.810(**)	1	.771(**)	.993(**)	-.468(**)	-.855(**)	-.672(**)	-.694(**)
	Sig. (2-tailed)	.000		.000	.000	.005	.000	.000	.000
E_{50}	Correlation	.978(**)	.771(**)	1	.730(**)	-.634(**)	-.790(**)	-.801(**)	-.773(**)
	Sig. (2-tailed)	.000	.000		.000	.000	.000	.000	.000
$E_{50,0}$	Correlation	.737(**)	.993(**)	.730(**)	1	-.476(*)	-.812(**)	-.652(**)	-.674(**)
	Sig. (2-tailed)	.000	.000	.000		.029	.000	.001	.001
ε_f	Correlation	-.653(**)	-.468(**)	-.634(**)	-.476(*)	1	.613(**)	.618(**)	.557(**)
	Sig. (2-tailed)	.000	.005	.000	.029		.003	.000	.001
$\varepsilon_{f,0}$	Correlation	-.791(**)	-.855(**)	-.790(**)	-.812(**)	.613(**)	1	.671(**)	.716(**)
	Sig. (2-tailed)	.000	.000	.000	.000	.003		.001	.000
ω	Correlation	-.860(**)	-.672(**)	-.801(**)	-.652(**)	.618(**)	.671(**)	1	.980(**)
	Sig. (2-tailed)	.000	.000	.000	.001	.000	.001		.000
ω_0	Correlation	-.843(**)	-.694(**)	-.773(**)	-.674(**)	.557(**)	.716(**)	.980(**)	1
	Sig. (2-tailed)	.000	.000	.000	.001	.001	.000	.000	
γ_m	Correlation	.879(**)	.781(**)	.800(**)	.740(**)	-.555(**)	-.687(**)	-.946(**)	-.958(**)
	Sig. (2-tailed)	.000	.000	.000	.000	.001	.001	.000	.000
$\gamma_{m,0}$	Correlation	.840(**)	.758(**)	.747(**)	.697(**)	-.485(**)	-.637(**)	-.939(**)	-.956(**)
	Sig. (2-tailed)	.000	.000	.000	.000	.004	.002	.000	.000
C	Correlation	.324	.000	.350(*)	.000	-.441(**)	.000	-.163	.000
	Sig. (2-tailed)	.054	1.000	.043	1.000	.009	1.000	.344	1.000
W/C	Correlation	-.680(**)	-.428(**)	-.669(**)	-.432	.711(**)	.460(*)	.744(**)	.616(**)
	Sig. (2-tailed)	.000	.009	.000	.050	.000	.036	.000	.000
P_c	Correlation	.677(*)	.058	.702(*)	.112	-.707(*)	-.111	-.286	-.004
	Sig. (2-tailed)	.015	.858	.011	.774	.010	.776	.367	.990
$P_{c,0}$	Correlation	.398	.507	.516	.973(**)	-.420	-.728(*)	-.107	-.312
	Sig. (2-tailed)	.200	.093	.086	.000	.174	.026	.740	.324
C_c	Correlation	-.833(**)	.084	-.768(**)	.076	.796(**)	-.226	.656(*)	.420
	Sig. (2-tailed)	.001	.795	.004	.846	.002	.559	.020	.174
$C_{c,0}$	Correlation	-.663(*)	.362	-.641(*)	.486	.146	-.857(**)	.874(**)	.984(**)
	Sig. (2-tailed)	.019	.248	.025	.185	.651	.003	.000	.000
C_r	Correlation	-.740(**)	-.042	-.702(*)	.026	.768(**)	-.251	.535	.296
	Sig. (2-tailed)	.006	.897	.011	.947	.004	.515	.073	.350
$C_{r,0}$	Correlation	-.585(*)	.266	-.545	.395	.170	-.801(**)	.817(**)	.919(**)
	Sig. (2-tailed)	.046	.404	.067	.293	.598	.010	.001	.000

** Correlation is significant at the 0.01 level (2-tailed).

* Correlation is significant at the 0.05 level (2-tailed).

ตารางที่ 4-10(ต่อ) ค่าสัมประสิทธิ์สหสัมพันธ์ของเพียร์สันระหว่างค่าตัวแปรต่างๆ ของคืนประเภท MH อายุปัจม 28 วัน

		γ_m	$\gamma_{m,0}$	C	W/C	P_c	$P_{c,0}$	C_c	$C_{c,0}$
q_u	Correlation	.879(**)	.840(**)	.324	-.680(**)	.677(*)	.398	-.833(**)	-.663(*)
	Sig. (2-tailed)	.000	.000	.054	.000	.015	.200	.001	.019
$q_{u,0}$	Correlation	.781(**)	.758(**)	.000	-.428(**)	.058	.507	.084	.362
	Sig. (2-tailed)	.000	.000	1.000	.009	.858	.093	.795	.248
E_{s0}	Correlation	.800(**)	.747(**)	.350(*)	-.669(**)	.702(*)	.516	-.768(**)	-.641(*)
	Sig. (2-tailed)	.000	.000	.043	.000	.011	.086	.004	.025
$E_{s0,0}$	Correlation	.740(**)	.697(**)	.000	-.432	.112	.973(**)	.076	.486
	Sig. (2-tailed)	.000	.000	1.000	.050	.774	.000	.846	.185
ϵ_t	Correlation	-.555(**)	-.485(**)	-.441(**)	.711(**)	-.707(*)	-.420	.796(**)	.146
	Sig. (2-tailed)	.001	.004	.009	.000	.010	.174	.002	.651
$\epsilon_{t,0}$	Correlation	-.687(**)	-.637(**)	.000	.460(*)	-.111	-.728(*)	-.226	-.857(**)
	Sig. (2-tailed)	.001	.002	1.000	.036	.776	.026	.559	.003
ω	Correlation	-.946(**)	-.939(**)	-.163	.744(**)	-.286	-.107	.656(*)	.874(**)
	Sig. (2-tailed)	.000	.000	.344	.000	.367	.740	.020	.000
ω_0	Correlation	-.958(**)	-.956(**)	.000	.616(**)	-.004	-.312	.420	.984(**)
	Sig. (2-tailed)	.000	.000	1.000	.000	.990	.324	.174	.000
γ_m	Correlation	1	.991(**)	.082	-.634(**)	.171	.359	-.522	-.963(**)
	Sig. (2-tailed)		.000	.634	.000	.594	.252	.082	.000
$\gamma_{m,0}$	Correlation	.991(**)	1	.000	-.589(**)	-.013	.118	-.374	-.919(**)
	Sig. (2-tailed)	.000		1.000	.000	.967	.714	.231	.000
C	Correlation	.082	.000	1	-.664(**)	.970(**)	.000	-.839(**)	.000
	Sig. (2-tailed)	.634	1.000		.000	.000	1.000	.001	1.000
W/C	Correlation	-.634(**)	-.589(**)	-.664(**)	1	-.779(**)	-.111	.963(**)	.350
	Sig. (2-tailed)	.000	.000	.000		.003	.731	.000	.265
P_c	Correlation	.171	-.013	.970(**)	-.779(**)	1	.104	-.782(**)	-.013
	Sig. (2-tailed)	.594	.967	.000	.003		.748	.003	.969
$P_{c,0}$	Correlation	.359	.118	.000	-.111	.104	1	-.224	-.423
	Sig. (2-tailed)	.252	.714	1.000	.731	.748		.483	.171
C_c	Correlation	-.522	-.374	-.839(**)	.963(**)	-.782(**)	-.224	1	.442
	Sig. (2-tailed)	.082	.231	.001	.000	.003	.483		.150
$C_{c,0}$	Correlation	-.963(**)	-.919(**)	.000	.350	-.013	-.423	.442	1
	Sig. (2-tailed)	.000	.000	1.000	.265	.969	.171	.150	
C_r	Correlation	-.378	-.239	-.833(**)	.912(**)	-.765(**)	-.161	.938(**)	.339
	Sig. (2-tailed)	.226	.455	.001	.000	.004	.617	.000	.282
$C_{r,0}$	Correlation	-.875(**)	-.842(**)	.000	.327	.007	-.312	.441	.958(**)
	Sig. (2-tailed)	.000	.001	1.000	.300	.984	.323	.152	.000

** Correlation is significant at the 0.01 level (2-tailed).

* Correlation is significant at the 0.05 level (2-tailed).

ตารางที่ 4-10(ต่อ) ค่าสัมประสิทธิ์สหสัมพันธ์ของเพียร์สันระหว่างค่าตัวแปรต่างๆ ของคืนประเภท MH อายุปัจจุบัน 28 วัน

		C_r	$C_{r,0}$						
q_u	Correlation	-.740(**)	-.585(*)						
	Sig. (2-tailed)	.006	.046						
$q_{u,0}$	Correlation	-.042	.266						
	Sig. (2-tailed)	.897	.404						
E_{s0}	Correlation	-.702(*)	-.545						
	Sig. (2-tailed)	.011	.067						
$E_{s0,0}$	Correlation	.026	.395						
	Sig. (2-tailed)	.947	.293						
ε_f	Correlation	.768(**)	.170						
	Sig. (2-tailed)	.004	.598						
$\varepsilon_{f,0}$	Correlation	-.251	-.801(**)						
	Sig. (2-tailed)	.515	.010						
ω	Correlation	.535	.817(**)						
	Sig. (2-tailed)	.073	.001						
ω_0	Correlation	.296	.919(**)						
	Sig. (2-tailed)	.350	.000						
γ_m	Correlation	-.378	-.875(**)						
	Sig. (2-tailed)	.226	.000						
$\gamma_{m,0}$	Correlation	-.239	-.842(**)						
	Sig. (2-tailed)	.455	.001						
C	Correlation	-.833(**)	.000						
	Sig. (2-tailed)	.001	1.000						
W/C	Correlation	.912(**)	.327						
	Sig. (2-tailed)	.000	.300						
P_c	Correlation	-.765(**)	.007						
	Sig. (2-tailed)	.004	.984						
$P_{c,0}$	Correlation	-.161	-.312						
	Sig. (2-tailed)	.617	.323						
C_c	Correlation	.938(**)	.441						
	Sig. (2-tailed)	.000	.152						
$C_{c,0}$	Correlation	.339	.958(**)						
	Sig. (2-tailed)	.282	.000						
C_r	Correlation	1	.391						
	Sig. (2-tailed)		.209						
$C_{r,0}$	Correlation	.391	1						
	Sig. (2-tailed)	.209							

** Correlation is significant at the 0.01 level (2-tailed).

* Correlation is significant at the 0.05 level (2-tailed).

ตารางที่ ง-11 ค่าสัมประสิทธิ์สหสัมพันธ์ของเพียร์สันระหว่างค่าตัวแปรต่างๆ ของคืนประเกต CL
อายุบ่ม 1 - 28 วัน

		q_u	$q_{u,0}$	E_{50}	$E_{50,0}$	ε_f	$\varepsilon_{f,0}$	ω	ω_0
q_u	Correlation	1	.458(**)	.954(**)	.411(**)	-.640(**)	-.380(**)	-.608(**)	-.464(**)
	Sig. (2-tailed)		.000	.000	.004	.000	.008	.000	.000
$q_{u,0}$	Correlation	.458(**)	1	.534(**)	.986(**)	-.710(**)	-.943(**)	-.768(**)	-.764(**)
	Sig. (2-tailed)	.000		.000	.000	.000	.000	.000	.000
E_{50}	Correlation	.954(**)	.534(**)	1	.484(**)	-.642(**)	-.428(**)	-.627(**)	-.512(**)
	Sig. (2-tailed)	.000	.000		.000	.000	.002	.000	.000
$E_{50,0}$	Correlation	.411(**)	.986(**)	.484(**)	1	-.870(**)	-.941(**)	-.950(**)	-.981(**)
	Sig. (2-tailed)	.004	.000	.000		.000	.000	.000	.000
ε_f	Correlation	-.640(**)	-.710(**)	-.642(**)	-.870(**)	1	.897(**)	.989(**)	.945(**)
	Sig. (2-tailed)	.000	.000	.000	.000		.000	.000	.000
$\varepsilon_{f,0}$	Correlation	-.380(**)	-.943(**)	-.428(**)	-.941(**)	.897(**)	1	.953(**)	.981(**)
	Sig. (2-tailed)	.008	.000	.002	.000	.000		.000	.000
ω	Correlation	-.608(**)	-.768(**)	-.627(**)	-.950(**)	.989(**)	.953(**)	1	.973(**)
	Sig. (2-tailed)	.000	.000	.000	.000	.000			.000
ω_0	Correlation	-.464(**)	-.764(**)	-.512(**)	-.981(**)	.945(**)	.981(**)	.973(**)	1
	Sig. (2-tailed)	.000	.000	.000	.000	.000	.000	.000	
γ_m	Correlation	.543(**)	.889(**)	.585(**)	.950(**)	-.864(**)	-.867(**)	-.904(**)	-.915(**)
	Sig. (2-tailed)	.000	.000	.000	.000	.000	.000	.000	.000
$\gamma_{m,0}$	Correlation	.474(**)	.881(**)	.530(**)	.943(**)	-.853(**)	-.844(**)	-.895(**)	-.915(**)
	Sig. (2-tailed)	.000	.000	.000	.000	.000	.000	.000	.000
T	Correlation	.264(*)	.000	.276(*)	.000	-.149	.000	-.093	.000
	Sig. (2-tailed)	.025	1.000	.019	1.000	.211	1.000	.435	1.000
C	Correlation	.785(**)	.000	.640(**)	.000	-.239(*)	.000	-.169	.000
	Sig. (2-tailed)	.000	1.000	.000	1.000	.043	1.000	.155	1.000
W/C	Correlation	-.765(**)	-.462(**)	-.680(**)	-.498(**)	.771(**)	.497(**)	.732(**)	.605(**)
	Sig. (2-tailed)	.000	.000	.000	.000	.000	.000	.000	.000
P_c	Correlation	.811	.413	.874(*)	.413	-.611	.413	-.407	.413
	Sig. (2-tailed)	.050	.416	.023	.416	.197	.416	.423	.416
$P_{c,0}$	Correlation	-.068	1.000(**)	.040	1.000(**)	.455	1.000(**)	.636	1.000(**)
	Sig. (2-tailed)	.898	.000	.941	.000	.364	.000	.174	.000
C_c	Correlation	-.893(*)	.434	-.867(*)	.434	.985(**)	.434	.966(**)	.434
	Sig. (2-tailed)	.016	.390	.025	.390	.000	.390	.002	.390
$C_{c,0}$	Correlation	-.068	1.000(**)	.040	1.000(**)	.455	1.000(**)	.636	1.000(**)
	Sig. (2-tailed)	.898	.000	.941	.000	.364	.000	.174	.000
C_r	Correlation	-.888(*)	.292	-.884(*)	.292	.947(**)	.292	.884(*)	.292
	Sig. (2-tailed)	.018	.575	.019	.575	.004	.575	.019	.575
$C_{r,0}$	Correlation	-.068	1.000(**)	.040	1.000(**)	.455	1.000(**)	.636	1.000(**)
	Sig. (2-tailed)	.898	.000	.941	.000	.364	.000	.174	.000

** Correlation is significant at the 0.01 level (2-tailed).

* Correlation is significant at the 0.05 level (2-tailed).

a Cannot be computed because at least one of the variables is constant.

ตารางที่ 4-11(ต่อ) ค่าสัมประสิทธิ์สหสัมพันธ์ของเพียร์สันระหว่างค่าตัวแปรต่างๆ ของคืนประเภท CL อายุบ่ม 1 - 28 วัน

		γ_m	$\gamma_{m,0}$	T	C	W/C	P_c	$P_{c,0}$	C_c
q_u	Correlation	.543(**)	.474(**)	.264(*)	.785(**)	-.765(**)	.811	-.068	-.893(*)
	Sig. (2-tailed)	.000	.000	.025	.000	.000	.050	.898	.016
$q_{u,0}$	Correlation	.889(**)	.881(**)	.000	.000	-.462(**)	.413	1.000(**)	.434
	Sig. (2-tailed)	.000	.000	1.000	1.000	.000	.416	.000	.390
E_{s0}	Correlation	.585(**)	.530(**)	.276(*)	.640(**)	-.680(**)	.874(*)	.040	-.867(*)
	Sig. (2-tailed)	.000	.000	.019	.000	.000	.023	.941	.025
$E_{s0,0}$	Correlation	.950(**)	.943(**)	.000	.000	-.498(**)	.413	1.000(**)	.434
	Sig. (2-tailed)	.000	.000	1.000	1.000	.000	.416	.000	.390
ϵ_t	Correlation	-.864(**)	-.853(**)	-.149	-.239(*)	.771(**)	-.611	.455	.985(**)
	Sig. (2-tailed)	.000	.000	.211	.043	.000	.197	.364	.000
$\epsilon_{t,0}$	Correlation	-.867(**)	-.844(**)	.000	.000	.497(**)	.413	1.000(**)	.434
	Sig. (2-tailed)	.000	.000	1.000	1.000	.000	.416	.000	.390
ω	Correlation	-.904(**)	-.895(**)	-.093	-.169	.732(**)	-.407	.636	.966(**)
	Sig. (2-tailed)	.000	.000	.435	.155	.000	.423	.174	.002
ω_0	Correlation	-.915(**)	-.915(**)	.000	.000	.605(**)	.413	1.000(**)	.434
	Sig. (2-tailed)	.000	.000	1.000	1.000	.000	.416	.000	.390
γ_m	Correlation	1	.987(**)	-.074	.109	-.621(**)	.734	.898(*)	.015
	Sig. (2-tailed)		.000	.536	.360	.000	.097	.015	.978
$\gamma_{m,0}$	Correlation	.987(**)	1	.000	.000	-.553(**)	.413	1.000(**)	.434
	Sig. (2-tailed)	.000		1.000	1.000	.000	.416	.000	.390
T	Correlation	-.074	.000	1	.000	.000	.(a)	.(a)	.(a)
	Sig. (2-tailed)	.536	1.000		1.000	1.000	.000	.000	.000
C	Correlation	.109	.000	.000	1	-.676(**)	.894(*)	.000	-.892(*)
	Sig. (2-tailed)	.360	1.000	1.000		.000	.016	1.000	.017
W/C	Correlation	-.621(**)	-.553(**)	.000	-.676(**)	1	-.761	.120	.919(**)
	Sig. (2-tailed)	.000	.000	1.000	.000		.079	.822	.010
P_c	Correlation	.734	.413	.(a)	.894(*)	-.761	1	.413	-.614
	Sig. (2-tailed)	.097	.416	.000	.016	.079		.416	.195
$P_{c,0}$	Correlation	.898(*)	1.000(**)	.(a)	.000	.120	.413	1	.434
	Sig. (2-tailed)	.015	.000	.000	1.000	.822	.416		.390
C_c	Correlation	.015	.434	.(a)	-.892(*)	.919(**)	-.614	.434	1
	Sig. (2-tailed)	.978	.390	.000	.017	.010	.195	.390	
$C_{c,0}$	Correlation	.898(*)	1.000(**)	.(a)	.000	.120	.413	1.000(**)	.434
	Sig. (2-tailed)	.015	.000	.000	1.000	.822	.416	.000	.390
C_r	Correlation	-.113	.292	.(a)	-.916(*)	.953(**)	-.709	.292	.969(**)
	Sig. (2-tailed)	.832	.575	.000	.010	.003	.115	.575	.001
$C_{r,0}$	Correlation	.898(*)	1.000(**)	.(a)	.000	.120	.413	1.000(**)	.434
	Sig. (2-tailed)	.015	.000	.000	1.000	.822	.416	.000	.390

** Correlation is significant at the 0.01 level (2-tailed).

* Correlation is significant at the 0.05 level (2-tailed).

a Cannot be computed because at least one of the variables is constant.

ตารางที่ 4-11(ต่อ) ค่าสัมประสิทธิ์สหสัมพันธ์ของเพียร์สันระหว่างค่าตัวแปรต่างๆ ของคืนประเภท

CL อายุบ่ำ 1 - 28 วัน

		C _{c, 0}	C _r	C _{r, 0}					
q _u	Correlation	-.068	-.888(*)	-.068					
	Sig. (2-tailed)	.898	.018	.898					
q _{u, 0}	Correlation	1.000(**)	.292	1.000(**)					
	Sig. (2-tailed)	.000	.575	.000					
E _{s0}	Correlation	.040	-.884(*)	.040					
	Sig. (2-tailed)	.941	.019	.941					
E _{s0, 0}	Correlation	1.000(**)	.292	1.000(**)					
	Sig. (2-tailed)	.000	.575	.000					
ε _f	Correlation	.455	.947(**)	.455					
	Sig. (2-tailed)	.364	.004	.364					
ε _{f, 0}	Correlation	1.000(**)	.292	1.000(**)					
	Sig. (2-tailed)	.000	.575	.000					
Ω	Correlation	.636	.884(*)	.636					
	Sig. (2-tailed)	.174	.019	.174					
Ω ₀	Correlation	1.000(**)	.292	1.000(**)					
	Sig. (2-tailed)	.000	.575	.000					
γ _m	Correlation	.898(*)	-.113	.898(*)					
	Sig. (2-tailed)	.015	.832	.015					
γ _{m, 0}	Correlation	1.000(**)	.292	1.000(**)					
	Sig. (2-tailed)	.000	.575	.000					
T	Correlation	.(a)	.(a)	.(a)					
	Sig. (2-tailed)	.000	.000	.000					
C	Correlation	.000	-.916(*)	.000					
	Sig. (2-tailed)	1.000	.010	1.000					
W/C	Correlation	.120	.953(**)	.120					
	Sig. (2-tailed)	.822	.003	.822					
P _c	Correlation	.413	-.709	.413					
	Sig. (2-tailed)	.416	.115	.416					
P _{c, 0}	Correlation	1.000(**)	.292	1.000(**)					
	Sig. (2-tailed)	.000	.575	.000					
C _c	Correlation	.434	.969(**)	.434					
	Sig. (2-tailed)	.390	.001	.390					
C _{c, 0}	Correlation	1	.292	1.000(**)					
	Sig. (2-tailed)		.575	.000					
C _r	Correlation	.292	1	.292					
	Sig. (2-tailed)	.575		.575					
C _{r, 0}	Correlation	1.000(**)	.292	1					
	Sig. (2-tailed)	.000	.575						

** Correlation is significant at the 0.01 level (2-tailed).

* Correlation is significant at the 0.05 level (2-tailed).

a Cannot be computed because at least one of the variables is constant.

ตารางที่ ง-12 ค่าสัมประสิทธิ์สหสัมพันธ์ของเพียร์สันระหว่างค่าตัวแปรต่างๆ ของคืนประเกท CL
อายุบ่ม 1 วัน

		q_u	$q_{u,0}$	E_{50}	$E_{50,0}$	ε_f	$\varepsilon_{f,0}$	ω	ω_0
q_u	Correlation	1	.494(*)	.968(**)	.429	-.654(**)	-.402	-.607(**)	-.516(*)
	Sig. (2-tailed)		.037	.000	.164	.003	.195	.008	.028
$q_{u,0}$	Correlation	.494(*)	1	.592(**)	.986(**)	-.724(**)	-.943(**)	-.750(**)	-.764(**)
	Sig. (2-tailed)	.037		.010	.000	.001	.000	.000	.000
E_{50}	Correlation	.968(**)	.592(**)	1	.530	-.700(**)	-.478	-.657(**)	-.578(*)
	Sig. (2-tailed)	.000	.010		.076	.001	.116	.003	.012
$E_{50,0}$	Correlation	.429	.986(**)	.530	1	-.898(**)	-.941(**)	-.964(**)	-.981(**)
	Sig. (2-tailed)	.164	.000	.076		.000	.000	.000	.000
ε_f	Correlation	-.654(**)	-.724(**)	-.700(**)	-.898(**)	1	.931(**)	.992(**)	.968(**)
	Sig. (2-tailed)	.003	.001	.001	.000		.000	.000	.000
$\varepsilon_{f,0}$	Correlation	-.402	-.943(**)	-.478	-.941(**)	.931(**)	1	.970(**)	.981(**)
	Sig. (2-tailed)	.195	.000	.116	.000	.000		.000	.000
ω	Correlation	-.607(**)	-.750(**)	-.657(**)	-.964(**)	.992(**)	.970(**)	1	.990(**)
	Sig. (2-tailed)	.008	.000	.003	.000	.000	.000		.000
ω_0	Correlation	-.516(*)	-.764(**)	-.578(*)	-.981(**)	.968(**)	.981(**)	.990(**)	1
	Sig. (2-tailed)	.028	.000	.012	.000	.000	.000	.000	
γ_m	Correlation	.649(**)	.907(**)	.724(**)	.953(**)	-.891(**)	-.870(**)	-.909(**)	-.902(**)
	Sig. (2-tailed)	.004	.000	.001	.000	.000	.000	.000	.000
$\gamma_{m,0}$	Correlation	.535(*)	.881(**)	.615(**)	.943(**)	-.876(**)	-.844(**)	-.905(**)	-.915(**)
	Sig. (2-tailed)	.022	.000	.007	.000	.000	.001	.000	.000
C	Correlation	.818(**)	.000	.757(**)	.000	-.213	.000	-.124	.000
	Sig. (2-tailed)	.000	1.000	.000	1.000	.397	1.000	.623	1.000
W/C	Correlation	-.828(**)	-.462	-.827(**)	-.498	.758(**)	.497	.701(**)	.605(**)
	Sig. (2-tailed)	.000	.053	.000	.100	.000	.100	.001	.008

** Correlation is significant at the 0.01 level (2-tailed).

* Correlation is significant at the 0.05 level (2-tailed).

ตารางที่ 1-12(ต่อ) ค่าสัมประสิทธิ์สหสัมพันธ์ของเพียร์สันระหว่างค่าตัวแปรต่างๆ ของคินประเกต
CL อยู่ปัจจุบัน 1 วัน

		γ_m	$\gamma_{m,0}$	C	W/C				
q_u	Correlation	.649(**)	.535(*)	.818(**)	-.828(**)				
	Sig. (2-tailed)	.004	.022	.000	.000				
$q_{u,0}$	Correlation	.907(**)	.881(**)	.000	-.462				
	Sig. (2-tailed)	.000	.000	1.000	.053				
E_{s0}	Correlation	.724(**)	.615(**)	.757(**)	-.827(**)				
	Sig. (2-tailed)	.001	.007	.000	.000				
$E_{s0,0}$	Correlation	.953(**)	.943(**)	.000	-.498				
	Sig. (2-tailed)	.000	.000	1.000	.100				
ϵ_t	Correlation	-.891(**)	-.876(**)	-.213	.758(**)				
	Sig. (2-tailed)	.000	.000	.397	.000				
$\epsilon_{t,0}$	Correlation	-.870(**)	-.844(**)	.000	.497				
	Sig. (2-tailed)	.000	.001	1.000	.100				
ω	Correlation	-.909(**)	-.905(**)	-.124	.701(**)				
	Sig. (2-tailed)	.000	.000	.623	.001				
ω_0	Correlation	-.902(**)	-.915(**)	.000	.605(**)				
	Sig. (2-tailed)	.000	.000	1.000	.008				
γ_m	Correlation	1	.985(**)	.140	-.640(**)				
	Sig. (2-tailed)		.000	.579	.004				
$\gamma_{m,0}$	Correlation	.985(**)	1	.000	-.553(*)				
	Sig. (2-tailed)	.000		1.000	.017				
C	Correlation	.140	.000	1	-.676(**)				
	Sig. (2-tailed)	.579	1.000		.002				
W/C	Correlation	-.640(**)	-.553(*)	-.676(**)	1				
	Sig. (2-tailed)	.004	.017	.002					

** Correlation is significant at the 0.01 level (2-tailed).

* Correlation is significant at the 0.05 level (2-tailed).

ตารางที่ ง-13 ค่าสัมประสิทธิ์สหสัมพันธ์ของเพียร์สันระหว่างค่าตัวแปรต่างๆ ของдинประเกท CL
อายุบ่ม 7 วัน

		q_u	$q_{u,0}$	E_{50}	$E_{50,0}$	ε_f	$\varepsilon_{f,0}$	ω	ω_0
q_u	Correlation	1	.485(*)	.962(**)	.435	-.648(**)	-.399	-.625(**)	-.492(*)
	Sig. (2-tailed)		.041	.000	.158	.004	.199	.006	.038
$q_{u,0}$	Correlation	.485(*)	1	.594(**)	.986(**)	-.722(**)	-.943(**)	-.775(**)	-.764(**)
	Sig. (2-tailed)	.041		.009	.000	.001	.000	.000	.000
E_{50}	Correlation	.962(**)	.594(**)	1	.544	-.687(**)	-.476	-.680(**)	-.568(*)
	Sig. (2-tailed)	.000	.009		.067	.002	.117	.002	.014
$E_{50,0}$	Correlation	.435	.986(**)	.544	1	-.891(**)	-.941(**)	-.955(**)	-.981(**)
	Sig. (2-tailed)	.158	.000	.067		.000	.000	.000	.000
ε_f	Correlation	-.648(**)	-.722(**)	-.687(**)	-.891(**)	1	.919(**)	.992(**)	.958(**)
	Sig. (2-tailed)	.004	.001	.002	.000		.000	.000	.000
$\varepsilon_{f,0}$	Correlation	-.399	-.943(**)	-.476	-.941(**)	.919(**)	1	.958(**)	.981(**)
	Sig. (2-tailed)	.199	.000	.117	.000	.000		.000	.000
ω	Correlation	-.625(**)	-.775(**)	-.680(**)	-.955(**)	.992(**)	.958(**)	1	.978(**)
	Sig. (2-tailed)	.006	.000	.002	.000	.000	.000		.000
ω_0	Correlation	-.492(*)	-.764(**)	-.568(*)	-.981(**)	.958(**)	.981(**)	.978(**)	1
	Sig. (2-tailed)	.038	.000	.014	.000	.000	.000	.000	
γ_m	Correlation	.604(**)	.892(**)	.683(**)	.952(**)	-.894(**)	-.869(**)	-.925(**)	-.920(**)
	Sig. (2-tailed)	.008	.000	.002	.000	.000	.000	.000	.000
$\gamma_{m,0}$	Correlation	.510(*)	.881(**)	.599(**)	.943(**)	-.865(**)	-.844(**)	-.901(**)	-.915(**)
	Sig. (2-tailed)	.031	.000	.009	.000	.000	.001	.000	.000
C	Correlation	.833(**)	.000	.727(**)	.000	-.243	.000	-.177	.000
	Sig. (2-tailed)	.000	1.000	.001	1.000	.330	1.000	.482	1.000
W/C	Correlation	-.814(**)	-.462	-.772(**)	-.498	.787(**)	.497	.746(**)	.605(**)
	Sig. (2-tailed)	.000	.053	.000	.100	.000	.100	.000	.008

** Correlation is significant at the 0.01 level (2-tailed).

* Correlation is significant at the 0.05 level (2-tailed).

ตารางที่ 4-13(ต่อ) ค่าสัมประสิทธิ์สหสัมพันธ์ของเพียร์สันระหว่างค่าตัวแปรต่างๆ ของдинประเกท CL อยู่ปัจจุบัน 7 วัน

		γ_m	$\gamma_{m,0}$	C	W/C				
q_u	Correlation	.604(**)	.510(*)	.833(**)	-.814(**)				
	Sig. (2-tailed)	.008	.031	.000	.000				
$q_{u,0}$	Correlation	.892(**)	.881(**)	.000	-.462				
	Sig. (2-tailed)	.000	.000	1.000	.053				
E_{s0}	Correlation	.683(**)	.599(**)	.727(**)	-.772(**)				
	Sig. (2-tailed)	.002	.009	.001	.000				
$E_{s0,0}$	Correlation	.952(**)	.943(**)	.000	-.498				
	Sig. (2-tailed)	.000	.000	1.000	.100				
ϵ_t	Correlation	-.894(**)	-.865(**)	-.243	.787(**)				
	Sig. (2-tailed)	.000	.000	.330	.000				
$\epsilon_{t,0}$	Correlation	-.869(**)	-.844(**)	.000	.497				
	Sig. (2-tailed)	.000	.001	1.000	.100				
ω	Correlation	-.925(**)	-.901(**)	-.177	.746(**)				
	Sig. (2-tailed)	.000	.000	.482	.000				
ω_0	Correlation	-.920(**)	-.915(**)	.000	.605(**)				
	Sig. (2-tailed)	.000	.000	1.000	.008				
γ_m	Correlation	1	.992(**)	.107	-.621(**)				
	Sig. (2-tailed)		.000	.672	.006				
$\gamma_{m,0}$	Correlation	.992(**)	1	.000	-.553(*)				
	Sig. (2-tailed)	.000		1.000	.017				
C	Correlation	.107	.000	1	-.676(**)				
	Sig. (2-tailed)	.672	1.000		.002				
W/C	Correlation	-.621(**)	-.553(*)	-.676(**)	1				
	Sig. (2-tailed)	.006	.017	.002					

** Correlation is significant at the 0.01 level (2-tailed).

* Correlation is significant at the 0.05 level (2-tailed).

ตารางที่ ง-14 ค่าสัมประสิทธิ์สหสัมพันธ์ของเพียร์สันระหว่างค่าตัวแปรต่างๆ ของคืนประเกต CL
อายุบ้ม 14 วัน

		q_u	$q_{u,0}$	E_{50}	$E_{50,0}$	ε_f	$\varepsilon_{f,0}$	ω	ω_0
q_u	Correlation	1	.470(*)	.963(**)	.438	-.623(**)	-.400	-.611(**)	-.463
	Sig. (2-tailed)		.049	.000	.155	.006	.197	.007	.053
$q_{u,0}$	Correlation	.470(*)	1	.583(*)	.986(**)	-.723(**)	-.943(**)	-.785(**)	-.764(**)
	Sig. (2-tailed)	.049		.011	.000	.001	.000	.000	.000
E_{50}	Correlation	.963(**)	.583(*)	1	.549	-.682(**)	-.481	-.688(**)	-.566(*)
	Sig. (2-tailed)	.000	.011		.065	.002	.114	.002	.014
$E_{50,0}$	Correlation	.438	.986(**)	.549	1	-.893(**)	-.941(**)	-.952(**)	-.981(**)
	Sig. (2-tailed)	.155	.000	.065		.000	.000	.000	.000
ε_f	Correlation	-.623(**)	-.723(**)	-.682(**)	-.893(**)	1	.920(**)	.991(**)	.959(**)
	Sig. (2-tailed)	.006	.001	.002	.000		.000	.000	.000
$\varepsilon_{f,0}$	Correlation	-.400	-.943(**)	-.481	-.941(**)	.920(**)	1	.953(**)	.981(**)
	Sig. (2-tailed)	.197	.000	.114	.000	.000		.000	.000
ω	Correlation	-.611(**)	-.785(**)	-.688(**)	-.952(**)	.991(**)	.953(**)	1	.976(**)
	Sig. (2-tailed)	.007	.000	.002	.000	.000	.000		.000
ω_0	Correlation	-.463	-.764(**)	-.566(*)	-.981(**)	.959(**)	.981(**)	.976(**)	1
	Sig. (2-tailed)	.053	.000	.014	.000	.000	.000	.000	
γ_m	Correlation	.571(*)	.885(**)	.661(**)	.952(**)	-.898(**)	-.869(**)	-.928(**)	-.925(**)
	Sig. (2-tailed)	.013	.000	.003	.000	.000	.000	.000	.000
$\gamma_{m,0}$	Correlation	.479(*)	.881(**)	.582(*)	.943(**)	-.865(**)	-.844(**)	-.900(**)	-.915(**)
	Sig. (2-tailed)	.044	.000	.011	.000	.000	.001	.000	.000
C	Correlation	.848(**)	.000	.720(**)	.000	-.241	.000	-.186	.000
	Sig. (2-tailed)	.000	1.000	.001	1.000	.335	1.000	.460	1.000
W/C	Correlation	-.809(**)	-.462	-.764(**)	-.498	.782(**)	.497	.751(**)	.605(**)
	Sig. (2-tailed)	.000	.053	.000	.100	.000	.100	.000	.008

** Correlation is significant at the 0.01 level (2-tailed).

* Correlation is significant at the 0.05 level (2-tailed).

ตารางที่ 1-14(ต่อ) ค่าสัมประสิทธิ์สหสัมพันธ์ของเพียร์สันระหว่างค่าตัวแปรต่างๆ ของคินประเกต
CL อยู่ปัจจุบัน 14 วัน

		γ_m	$\gamma_{m,0}$	C	W/C				
q_u	Correlation	.571(*)	.479(*)	.848(**)	-.809(**)				
	Sig. (2-tailed)	.013	.044	.000	.000				
$q_{u,0}$	Correlation	.885(**)	.881(**)	.000	-.462				
	Sig. (2-tailed)	.000	.000	1.000	.053				
E_{s0}	Correlation	.661(**)	.582(*)	.720(**)	-.764(**)				
	Sig. (2-tailed)	.003	.011	.001	.000				
$E_{s0,0}$	Correlation	.952(**)	.943(**)	.000	-.498				
	Sig. (2-tailed)	.000	.000	1.000	.100				
ϵ_t	Correlation	-.898(**)	-.865(**)	-.241	.782(**)				
	Sig. (2-tailed)	.000	.000	.335	.000				
$\epsilon_{t,0}$	Correlation	-.869(**)	-.844(**)	.000	.497				
	Sig. (2-tailed)	.000	.001	1.000	.100				
ω	Correlation	-.928(**)	-.900(**)	-.186	.751(**)				
	Sig. (2-tailed)	.000	.000	.460	.000				
ω_0	Correlation	-.925(**)	-.915(**)	.000	.605(**)				
	Sig. (2-tailed)	.000	.000	1.000	.008				
γ_m	Correlation	1	.992(**)	.101	-.618(**)				
	Sig. (2-tailed)		.000	.689	.006				
$\gamma_{m,0}$	Correlation	.992(**)	1	.000	-.553(*)				
	Sig. (2-tailed)	.000		1.000	.017				
C	Correlation	.101	.000	1	-.676(**)				
	Sig. (2-tailed)	.689	1.000		.002				
W/C	Correlation	-.618(**)	-.553(*)	-.676(**)	1				
	Sig. (2-tailed)	.006	.017	.002					

** Correlation is significant at the 0.01 level (2-tailed).

* Correlation is significant at the 0.05 level (2-tailed).

ตารางที่ ง-15 ค่าสัมประสิทธิ์สหสัมพันธ์ของเพียร์สันระหว่างค่าตัวแปรต่างๆ ของคืนประเกต CL
อายุบ่ม 28 วัน

		q_u	$q_{u,0}$	E_{50}	$E_{50,0}$	ε_f	$\varepsilon_{f,0}$	ω	ω_0
q_u	Correlation	1	.477(*)	.958(**)	.442	-.647(**)	-.411	-.635(**)	-.485(*)
	Sig. (2-tailed)		.045	.000	.150	.004	.184	.005	.041
$q_{u,0}$	Correlation	.477(*)	1	.568(*)	.986(**)	-.710(**)	-.943(**)	-.787(**)	-.764(**)
	Sig. (2-tailed)	.045		.014	.000	.001	.000	.000	.000
E_{50}	Correlation	.958(**)	.568(*)	1	.536	-.641(**)	-.476	-.656(**)	-.538(*)
	Sig. (2-tailed)	.000	.014		.072	.004	.118	.003	.021
$E_{50,0}$	Correlation	.442	.986(**)	.536	1	-.878(**)	-.941(**)	-.948(**)	-.981(**)
	Sig. (2-tailed)	.150	.000	.072		.000	.000	.000	.000
ε_f	Correlation	-.647(**)	-.710(**)	-.641(**)	-.878(**)	1	.897(**)	.986(**)	.946(**)
	Sig. (2-tailed)	.004	.001	.004	.000		.000	.000	.000
$\varepsilon_{f,0}$	Correlation	-.411	-.943(**)	-.476	-.941(**)	.897(**)	1	.947(**)	.981(**)
	Sig. (2-tailed)	.184	.000	.118	.000	.000		.000	.000
ω	Correlation	-.635(**)	-.787(**)	-.656(**)	-.948(**)	.986(**)	.947(**)	1	.972(**)
	Sig. (2-tailed)	.005	.000	.003	.000	.000	.000		.000
ω_0	Correlation	-.485(*)	-.764(**)	-.538(*)	-.981(**)	.946(**)	.981(**)	.972(**)	1
	Sig. (2-tailed)	.041	.000	.021	.000	.000	.000	.000	
γ_m	Correlation	.561(*)	.885(**)	.611(**)	.955(**)	-.891(**)	-.872(**)	-.930(**)	-.927(**)
	Sig. (2-tailed)	.015	.000	.007	.000	.000	.000	.000	.000
$\gamma_{m,0}$	Correlation	.477(*)	.881(**)	.543(*)	.943(**)	-.854(**)	-.844(**)	-.899(**)	-.915(**)
	Sig. (2-tailed)	.045	.000	.020	.000	.000	.001	.000	.000
C	Correlation	.800(**)	.000	.636(**)	.000	-.279	.000	-.201	.000
	Sig. (2-tailed)	.000	1.000	.005	1.000	.263	1.000	.424	1.000
W/C	Correlation	-.771(**)	-.462	-.666(**)	-.498	.804(**)	.497	.757(**)	.605(**)
	Sig. (2-tailed)	.000	.053	.003	.100	.000	.100	.000	.008
P_c	Correlation	.811	.413	.874(*)	.413	-.611	.413	-.407	.413
	Sig. (2-tailed)	.050	.416	.023	.416	.197	.416	.423	.416
$P_{c,0}$	Correlation	-.068	1.000(**)	.040	1.000(**)	.455	1.000(**)	.636	1.000(**)
	Sig. (2-tailed)	.898	.000	.941	.000	.364	.000	.174	.000
C_c	Correlation	-.893(*)	.434	-.867(*)	.434	.985(**)	.434	.966(**)	.434
	Sig. (2-tailed)	.016	.390	.025	.390	.000	.390	.002	.390
$C_{c,0}$	Correlation	-.068	1.000(**)	.040	1.000(**)	.455	1.000(**)	.636	1.000(**)
	Sig. (2-tailed)	.898	.000	.941	.000	.364	.000	.174	.000
C_r	Correlation	-.888(*)	.292	-.884(*)	.292	.947(**)	.292	.884(*)	.292
	Sig. (2-tailed)	.018	.575	.019	.575	.004	.575	.019	.575
$C_{r,0}$	Correlation	-.068	1.000(**)	.040	1.000(**)	.455	1.000(**)	.636	1.000(**)
	Sig. (2-tailed)	.898	.000	.941	.000	.364	.000	.174	.000

** Correlation is significant at the 0.01 level (2-tailed).

* Correlation is significant at the 0.05 level (2-tailed).

ตารางที่ 4-15(ต่อ) ค่าสัมประสิทธิ์สหสัมพันธ์ของเพียร์สันระหว่างค่าตัวแปรต่างๆ ของคืนประเภท CL อายุบ่ำ 28 วัน

		γ_m	$\gamma_{m,0}$	C	W/C	P_c	$P_{c,0}$	C_c	$C_{c,0}$
q_u	Correlation	.561(*)	.477(*)	.800(**)	-.771(**)	.811	-.068	-.893(*)	-.068
	Sig. (2-tailed)	.015	.045	.000	.000	.050	.898	.016	.898
$q_{u,0}$	Correlation	.885(**)	.881(**)	.000	-.462	.413	1.000(**)	.434	1.000(**)
	Sig. (2-tailed)	.000	.000	1.000	.053	.416	.000	.390	.000
E_{s0}	Correlation	.611(**)	.543(*)	.636(**)	-.666(**)	.874(*)	.040	-.867(*)	.040
	Sig. (2-tailed)	.007	.020	.005	.003	.023	.941	.025	.941
$E_{s0,0}$	Correlation	.955(**)	.943(**)	.000	-.498	.413	1.000(**)	.434	1.000(**)
	Sig. (2-tailed)	.000	.000	1.000	.100	.416	.000	.390	.000
ϵ_t	Correlation	-.891(**)	-.854(**)	-.279	.804(**)	-.611	.455	.985(**)	.455
	Sig. (2-tailed)	.000	.000	.263	.000	.197	.364	.000	.364
$\epsilon_{t,0}$	Correlation	-.872(**)	-.844(**)	.000	.497	.413	1.000(**)	.434	1.000(**)
	Sig. (2-tailed)	.000	.001	1.000	.100	.416	.000	.390	.000
ω	Correlation	-.930(**)	-.899(**)	-.201	.757(**)	-.407	.636	.966(**)	.636
	Sig. (2-tailed)	.000	.000	.424	.000	.423	.174	.002	.174
ω_0	Correlation	-.927(**)	-.915(**)	.000	.605(**)	.413	1.000(**)	.434	1.000(**)
	Sig. (2-tailed)	.000	.000	1.000	.008	.416	.000	.390	.000
γ_m	Correlation	1	.993(**)	.092	-.616(**)	.734	.898(*)	.015	.898(*)
	Sig. (2-tailed)		.000	.716	.007	.097	.015	.978	.015
$\gamma_{m,0}$	Correlation	.993(**)	1	.000	-.553(*)	.413	1.000(**)	.434	1.000(**)
	Sig. (2-tailed)	.000		1.000	.017	.416	.000	.390	.000
C	Correlation	.092	.000	1	-.676(**)	.894(*)	.000	-.892(*)	.000
	Sig. (2-tailed)	.716	1.000		.002	.016	1.000	.017	1.000
W/C	Correlation	-.616(**)	-.553(*)	-.676(**)	1	-.761	.120	.919(**)	.120
	Sig. (2-tailed)	.007	.017	.002		.079	.822	.010	.822
P_c	Correlation	.734	.413	.894(*)	-.761	1	.413	-.614	.413
	Sig. (2-tailed)	.097	.416	.016	.079		.416	.195	.416
$P_{c,0}$	Correlation	.898(*)	1.000(**)	.000	.120	.413	1	.434	1.000(**)
	Sig. (2-tailed)	.015	.000	1.000	.822	.416		.390	.000
C_c	Correlation	.015	.434	-.892(*)	.919(**)	-.614	.434	1	.434
	Sig. (2-tailed)	.978	.390	.017	.010	.195	.390		.390
$C_{c,0}$	Correlation	.898(*)	1.000(**)	.000	.120	.413	1.000(**)	.434	1
	Sig. (2-tailed)	.015	.000	1.000	.822	.416	.000	.390	
C_r	Correlation	-.113	.292	-.916(*)	.953(**)	-.709	.292	.969(**)	.292
	Sig. (2-tailed)	.832	.575	.010	.003	.115	.575	.001	.575
$C_{r,0}$	Correlation	.898(*)	1.000(**)	.000	.120	.413	1.000(**)	.434	1.000(**)
	Sig. (2-tailed)	.015	.000	1.000	.822	.416	.000	.390	.000

** Correlation is significant at the 0.01 level (2-tailed).

* Correlation is significant at the 0.05 level (2-tailed).

ตารางที่ ๔-๑๕(ต่อ) ค่าสัมประสิทธิ์สหสัมพันธ์ของเพียร์สันระหว่างค่าตัวแปรต่างๆ ของคืนประเภท CL อายุบ่ำ 28 วัน

		C_r	$C_{r,0}$						
q_u	Correlation	-.888(*)	-.068						
	Sig. (2-tailed)	.018	.898						
$q_{u,0}$	Correlation	.292	1.000(**)						
	Sig. (2-tailed)	.575	.000						
E_{s0}	Correlation	-.884(*)	.040						
	Sig. (2-tailed)	.019	.941						
$E_{s0,0}$	Correlation	.292	1.000(**)						
	Sig. (2-tailed)	.575	.000						
ε_f	Correlation	.947(**)	.455						
	Sig. (2-tailed)	.004	.364						
$\varepsilon_{f,0}$	Correlation	.292	1.000(**)						
	Sig. (2-tailed)	.575	.000						
ω	Correlation	.884(*)	.636						
	Sig. (2-tailed)	.019	.174						
ω_0	Correlation	.292	1.000(**)						
	Sig. (2-tailed)	.575	.000						
γ_m	Correlation	-.113	.898(*)						
	Sig. (2-tailed)	.832	.015						
$\gamma_{m,0}$	Correlation	.292	1.000(**)						
	Sig. (2-tailed)	.575	.000						
C	Correlation	-.916(*)	.000						
	Sig. (2-tailed)	.010	1.000						
W/C	Correlation	.953(**)	.120						
	Sig. (2-tailed)	.003	.822						
P_c	Correlation	-.709	.413						
	Sig. (2-tailed)	.115	.416						
$P_{c,0}$	Correlation	.292	1.000(**)						
	Sig. (2-tailed)	.575	.000						
C_c	Correlation	.969(**)	.434						
	Sig. (2-tailed)	.001	.390						
$C_{c,0}$	Correlation	.292	1.000(**)						
	Sig. (2-tailed)	.575	.000						
C_r	Correlation	1	.292						
	Sig. (2-tailed)		.575						
$C_{r,0}$	Correlation	.292	1						
	Sig. (2-tailed)	.575							

** Correlation is significant at the 0.01 level (2-tailed).

* Correlation is significant at the 0.05 level (2-tailed).

ตารางที่ ง-16 ค่าสัมประสิทธิ์สหสัมพันธ์ของเพียร์สันระหว่างค่าตัวแปรต่างๆ ของข้อมูลรวมของ
เดือนทั้ง 3 ประจეท (CH, MH, CL) อายุปั่น 1 - 28 วัน

		q_u	$q_{u,0}$	E_{50}	$E_{50,0}$	ε_f	$\varepsilon_{f,0}$	ω	ω_0
q_u	Correlation	1	.645(**)	.950(**)	.553(**)	-.649(**)	-.631(**)	-.775(**)	-.746(**)
	Sig. (2-tailed)		.000	.000	.000	.000	.000	.000	.000
$q_{u,0}$	Correlation	.645(**)	1	.604(**)	.967(**)	-.477(**)	-.667(**)	-.616(**)	-.629(**)
	Sig. (2-tailed)	.000		.000	.000	.000	.000	.000	.000
E_{50}	Correlation	.950(**)	.604(**)	1	.562(**)	-.591(**)	-.596(**)	-.677(**)	-.649(**)
	Sig. (2-tailed)	.000	.000		.000	.000	.000	.000	.000
$E_{50,0}$	Correlation	.553(**)	.967(**)	.562(**)	1	-.520(**)	-.663(**)	-.603(**)	-.614(**)
	Sig. (2-tailed)	.000	.000	.000		.000	.000	.000	.000
ε_f	Correlation	-.649(**)	-.477(**)	-.591(**)	-.520(**)	1	.708(**)	.749(**)	.684(**)
	Sig. (2-tailed)	.000	.000	.000	.000		.000	.000	.000
$\varepsilon_{f,0}$	Correlation	-.631(**)	-.667(**)	-.596(**)	-.663(**)	.708(**)	1	.792(**)	.821(**)
	Sig. (2-tailed)	.000	.000	.000	.000	.000		.000	.000
ω	Correlation	-.775(**)	-.616(**)	-.677(**)	-.603(**)	.749(**)	.792(**)	1	.987(**)
	Sig. (2-tailed)	.000	.000	.000	.000	.000	.000		.000
ω_0	Correlation	-.746(**)	-.629(**)	-.649(**)	-.614(**)	.684(**)	.821(**)	.987(**)	1
	Sig. (2-tailed)	.000	.000	.000	.000	.000	.000	.000	
γ_m	Correlation	.781(**)	.736(**)	.706(**)	.702(**)	-.654(**)	-.796(**)	-.937(**)	-.952(**)
	Sig. (2-tailed)	.000	.000	.000	.000	.000	.000	.000	.000
$\gamma_{m,0}$	Correlation	.756(**)	.725(**)	.678(**)	.677(**)	-.644(**)	-.784(**)	-.945(**)	-.961(**)
	Sig. (2-tailed)	.000	.000	.000	.000	.000	.000	.000	.000
T	Correlation	.171(**)	.000	.190(**)	.000	-.215(**)	.000	-.069	.000
	Sig. (2-tailed)	.004	1.000	.002	1.000	.000	1.000	.241	1.000
C	Correlation	.437(**)	.000	.407(**)	.000	-.321(**)	.000	-.113	.000
	Sig. (2-tailed)	.000	1.000	.000	1.000	.000	1.000	.055	1.000
W/C	Correlation	-.671(**)	-.430(**)	-.593(**)	-.422(**)	.768(**)	.565(**)	.766(**)	.684(**)
	Sig. (2-tailed)	.000	.000	.000	.000	.000	.000	.000	.000
P_c	Correlation	.458(*)	-.007	.502(*)	.210	-.502(*)	-.173	-.068	.069
	Sig. (2-tailed)	.024	.975	.012	.403	.012	.492	.751	.750
$P_{c,0}$	Correlation	-.021	.168	.085	.601(**)	-.081	-.114	.086	.040
	Sig. (2-tailed)	.922	.433	.694	.008	.706	.652	.688	.852
C_c	Correlation	-.660(**)	-.225	-.654(**)	-.179	.739(**)	.501(*)	.826(**)	.738(**)
	Sig. (2-tailed)	.000	.291	.001	.477	.000	.034	.000	.000
$C_{c,0}$	Correlation	-.662(**)	-.242	-.680(**)	-.304	.536(**)	.838(**)	.948(**)	.965(**)
	Sig. (2-tailed)	.000	.254	.000	.220	.007	.000	.000	.000
C_r	Correlation	-.647(**)	-.157	-.651(**)	-.175	.865(**)	.516(*)	.732(**)	.604(**)
	Sig. (2-tailed)	.001	.464	.001	.487	.000	.028	.000	.002
$C_{r,0}$	Correlation	-.726(**)	-.395	-.685(**)	-.397	.492(*)	.708(**)	.938(**)	.968(**)
	Sig. (2-tailed)	.000	.056	.000	.103	.015	.001	.000	.000

** Correlation is significant at the 0.01 level (2-tailed).

* Correlation is significant at the 0.05 level (2-tailed).

a Cannot be computed because at least one of the variables is constant.

ตารางที่ 4-16(ต่อ) ค่าสัมประสิทธิ์สหสัมพันธ์ของเพียร์สันระหว่างค่าตัวแปรต่างๆ ของข้อมูลรวม
ของคืนทั้ง 3 ประเภท (CH, MH, CL) อายุบ่ำ 1 - 28 วัน

		γ_m	$\gamma_{m,0}$	T	C	W/C	P_c	$P_{c,0}$	C_c
q_u	Correlation	.781(**)	.756(**)	.171(**)	.437(**)	-.671(**)	.458(*)	-.021	-.660(**)
	Sig. (2-tailed)	.000	.000	.004	.000	.000	.024	.922	.000
$q_{u,0}$	Correlation	.736(**)	.725(**)	.000	.000	-.430(**)	-.007	.168	-.225
	Sig. (2-tailed)	.000	.000	1.000	1.000	.000	.975	.433	.291
E_{s0}	Correlation	.706(**)	.678(**)	.190(**)	.407(**)	-.593(**)	.502(*)	.085	-.654(**)
	Sig. (2-tailed)	.000	.000	.002	.000	.000	.012	.694	.001
$E_{s0,0}$	Correlation	.702(**)	.677(**)	.000	.000	-.422(**)	.210	.601(**)	-.179
	Sig. (2-tailed)	.000	.000	1.000	1.000	.000	.403	.008	.477
ϵ_t	Correlation	-.654(**)	-.644(**)	-.215(**)	-.321(**)	.768(**)	-.502(*)	-.081	.739(**)
	Sig. (2-tailed)	.000	.000	.000	.000	.000	.012	.706	.000
$\epsilon_{t,0}$	Correlation	-.796(**)	-.784(**)	.000	.000	.565(**)	-.173	-.114	.501(*)
	Sig. (2-tailed)	.000	.000	1.000	1.000	.000	.492	.652	.034
ω	Correlation	-.937(**)	-.945(**)	-.069	-.113	.766(**)	-.068	.086	.826(**)
	Sig. (2-tailed)	.000	.000	.241	.055	.000	.751	.688	.000
ω_0	Correlation	-.952(**)	-.961(**)	.000	.000	.684(**)	.069	.040	.738(**)
	Sig. (2-tailed)	.000	.000	1.000	1.000	.000	.750	.852	.000
γ_m	Correlation	1	.990(**)	-.078	.085	-.697(**)	.086	.062	-.670(**)
	Sig. (2-tailed)		.000	.185	.148	.000	.688	.774	.000
$\gamma_{m,0}$	Correlation	.990(**)	1	.000	.000	-.657(**)	.008	.024	-.640(**)
	Sig. (2-tailed)	.000		1.000	1.000	.000	.972	.912	.001
T	Correlation	-.078	.000	1	.000	.000	.(a)	.(a)	.(a)
	Sig. (2-tailed)	.185	1.000		1.000	1.000	.000	.000	.000
C	Correlation	.085	.000	.000	1	-.587(**)	.871(**)	.000	-.412(*)
	Sig. (2-tailed)	.148	1.000	1.000		.000	.000	1.000	.046
W/C	Correlation	-.697(**)	-.657(**)	.000	-.587(**)	1	-.571(**)	.023	.772(**)
	Sig. (2-tailed)	.000	.000	1.000	.000		.004	.915	.000
P_c	Correlation	.086	.008	.(a)	.871(**)	-.571(**)	1	.229	-.116
	Sig. (2-tailed)	.688	.972	.000	.000	.004		.281	.590
$P_{c,0}$	Correlation	.062	.024	.(a)	.000	.023	.229	1	.042
	Sig. (2-tailed)	.774	.912	.000	1.000	.915	.281		.847
C_c	Correlation	-.670(**)	-.640(**)	.(a)	-.412(*)	.772(**)	-.116	.042	1
	Sig. (2-tailed)	.000	.001	.000	.046	.000	.590	.847	
$C_{c,0}$	Correlation	-.898(**)	-.899(**)	.(a)	.000	.554(**)	.140	.043	.836(**)
	Sig. (2-tailed)	.000	.000	.000	1.000	.005	.514	.842	.000
C_r	Correlation	-.586(**)	-.544(**)	.(a)	-.585(**)	.909(**)	-.436(*)	.037	.835(**)
	Sig. (2-tailed)	.003	.006	.000	.003	.000	.033	.862	.000
$C_{r,0}$	Correlation	-.924(**)	-.919(**)	.(a)	.000	.556(**)	.084	.079	.725(**)
	Sig. (2-tailed)	.000	.000	.000	1.000	.005	.698	.713	.000

** Correlation is significant at the 0.01 level (2-tailed).

* Correlation is significant at the 0.05 level (2-tailed).

a Cannot be computed because at least one of the variables is constant.

ตารางที่ 4-16(ต่อ) ค่าสัมประสิทธิ์สหสัมพันธ์ของเพียร์สันระหว่างค่าตัวแปรต่างๆ ของข้อมูลรวม
ของคืนทั้ง 3 ประเภท (CH, MH, CL) อายุบ่ำ 1 - 28 วัน

		C _{c, 0}	C _r	C _{r, 0}					
q _u	Correlation	-.662(**)	-.647(**)	-.726(**)					
	Sig. (2-tailed)	.000	.001	.000					
q _{u, 0}	Correlation	-.242	-.157	-.395					
	Sig. (2-tailed)	.254	.464	.056					
E ₅₀	Correlation	-.680(**)	-.651(**)	-.685(**)					
	Sig. (2-tailed)	.000	.001	.000					
E _{50, 0}	Correlation	-.304	-.175	-.397					
	Sig. (2-tailed)	.220	.487	.103					
ε _f	Correlation	.536(**)	.865(**)	.492(*)					
	Sig. (2-tailed)	.007	.000	.015					
ε _{f, 0}	Correlation	.838(**)	.516(*)	.708(**)					
	Sig. (2-tailed)	.000	.028	.001					
Ω	Correlation	.948(**)	.732(**)	.938(**)					
	Sig. (2-tailed)	.000	.000	.000					
Ω ₀	Correlation	.965(**)	.604(**)	.968(**)					
	Sig. (2-tailed)	.000	.002	.000					
γ _m	Correlation	-.898(**)	-.586(**)	-.924(**)					
	Sig. (2-tailed)	.000	.003	.000					
γ _{m, 0}	Correlation	-.899(**)	-.544(**)	-.919(**)					
	Sig. (2-tailed)	.000	.006	.000					
T	Correlation	.(a)	.(a)	.(a)					
	Sig. (2-tailed)	.000	.000	.000					
C	Correlation	.000	-.585(**)	.000					
	Sig. (2-tailed)	1.000	.003	1.000					
W/C	Correlation	.554(**)	.909(**)	.556(**)					
	Sig. (2-tailed)	.005	.000	.005					
P _c	Correlation	.140	-.436(*)	.084					
	Sig. (2-tailed)	.514	.033	.698					
P _{c, 0}	Correlation	.043	.037	.079					
	Sig. (2-tailed)	.842	.862	.713					
C _c	Correlation	.836(**)	.835(**)	.725(**)					
	Sig. (2-tailed)	.000	.000	.000					
C _{c, 0}	Correlation	1	-.658(**)	.938(**)					
	Sig. (2-tailed)		.000	.000					
C _r	Correlation	.658(**)	1	.602(**)					
	Sig. (2-tailed)	.000		.002					
C _{r, 0}	Correlation	.938(**)	.602(**)	1					
	Sig. (2-tailed)	.000	.002						

** Correlation is significant at the 0.01 level (2-tailed).

* Correlation is significant at the 0.05 level (2-tailed).

a Cannot be computed because at least one of the variables is constant.

ตารางที่ ง-17 ค่าสัมประสิทธิ์สหสัมพันธ์ของพียร์สันระหว่างค่าตัวแปรต่างๆ ของข้อมูลรวมของ
ดินทั้ง 3 ประเภท (CH, MH, CL) อายุบ่ำ 1 วัน

		q_u	$q_{u,0}$	E_{50}	$E_{50,0}$	ε_f	$\varepsilon_{f,0}$	ω	ω_0
q_u	Correlation	1	.697(**)	.963(**)	.622(**)	-.661(**)	-.703(**)	-.784(**)	-.764(**)
	Sig. (2-tailed)		.000	.000	.000	.000	.000	.000	.000
$q_{u,0}$	Correlation	.697(**)	1	.667(**)	.967(**)	-.501(**)	-.667(**)	-.624(**)	-.629(**)
	Sig. (2-tailed)	.000		.000	.000	.000	.000	.000	.000
E_{50}	Correlation	.963(**)	.667(**)	1	.642(**)	-.643(**)	-.693(**)	-.722(**)	-.700(**)
	Sig. (2-tailed)	.000	.000		.000	.000	.000	.000	.000
$E_{50,0}$	Correlation	.622(**)	.967(**)	.642(**)	1	-.546(**)	-.663(**)	-.606(**)	-.614(**)
	Sig. (2-tailed)	.000	.000	.000		.000	.000	.000	.000
ε_f	Correlation	-.661(**)	-.501(**)	-.643(**)	-.546(**)	1	.762(**)	.783(**)	.743(**)
	Sig. (2-tailed)	.000	.000	.000	.000		.000	.000	.000
$\varepsilon_{f,0}$	Correlation	-.703(**)	-.667(**)	-.693(**)	-.663(**)	.762(**)	1	.816(**)	.821(**)
	Sig. (2-tailed)	.000	.000	.000	.000	.000		.000	.000
ω	Correlation	-.784(**)	-.624(**)	-.722(**)	-.606(**)	.783(**)	.816(**)	1	.994(**)
	Sig. (2-tailed)	.000	.000	.000	.000	.000	.000		.000
ω_0	Correlation	-.764(**)	-.629(**)	-.700(**)	-.614(**)	.743(**)	.821(**)	.994(**)	1
	Sig. (2-tailed)	.000	.000	.000	.000	.000	.000	.000	
γ_m	Correlation	.829(**)	.737(**)	.783(**)	.709(**)	-.738(**)	-.780(**)	-.961(**)	-.957(**)
	Sig. (2-tailed)	.000	.000	.000	.000	.000	.000	.000	.000
$\gamma_{m,0}$	Correlation	.784(**)	.725(**)	.730(**)	.677(**)	-.699(**)	-.784(**)	-.955(**)	-.961(**)
	Sig. (2-tailed)	.000	.000	.000	.000	.000	.000	.000	.000
C	Correlation	.428(**)	.000	.442(**)	.000	-.320(**)	.000	-.094	.000
	Sig. (2-tailed)	.000	1.000	.000	1.000	.008	1.000	.430	1.000
W/C	Correlation	-.672(**)	-.430(**)	-.638(**)	-.422(**)	.802(**)	.565(**)	.754(**)	.684(**)
	Sig. (2-tailed)	.000	.000	.000	.005	.000	.000	.000	.000

** Correlation is significant at the 0.01 level (2-tailed).

ตารางที่ ง-17(ต่อ) ค่าสัมประสิทธิ์สหสัมพันธ์ของเพียร์สันระหว่างค่าตัวแปรต่างๆ ของข้อมูลรวม
ของคินทั้ง 3 ประเภท (CH, MH, CL) อายุบ่ม 1 วัน

		γ_m	$\gamma_{m,0}$	C	W/C				
q_u	Correlation	.829(**)	.784(**)	.428(**)	-.672(**)				
	Sig. (2-tailed)	.000	.000	.000	.000				
$q_{u,0}$	Correlation	.737(**)	.725(**)	.000	-.430(**)				
	Sig. (2-tailed)	.000	.000	1.000	.000				
E_{s0}	Correlation	.783(**)	.730(**)	.442(**)	-.638(**)				
	Sig. (2-tailed)	.000	.000	.000	.000				
$E_{s0,0}$	Correlation	.709(**)	.677(**)	.000	-.422(**)				
	Sig. (2-tailed)	.000	.000	1.000	.005				
ϵ_t	Correlation	-.738(**)	-.699(**)	-.320(**)	.802(**)				
	Sig. (2-tailed)	.000	.000	.008	.000				
$\epsilon_{t,0}$	Correlation	-.780(**)	-.784(**)	.000	.565(**)				
	Sig. (2-tailed)	.000	.000	1.000	.000				
ω	Correlation	-.961(**)	-.955(**)	-.094	.754(**)				
	Sig. (2-tailed)	.000	.000	.430	.000				
ω_0	Correlation	-.957(**)	-.961(**)	.000	.684(**)				
	Sig. (2-tailed)	.000	.000	1.000	.000				
γ_m	Correlation	1	.992(**)	.107	-.716(**)				
	Sig. (2-tailed)		.000	.372	.000				
$\gamma_{m,0}$	Correlation	.992(**)	1	.000	-.657(**)				
	Sig. (2-tailed)	.000		1.000	.000				
C	Correlation	.107	.000	1	-.587(**)				
	Sig. (2-tailed)	.372	1.000		.000				
W/C	Correlation	-.716(**)	-.657(**)	-.587(**)	1				
	Sig. (2-tailed)	.000	.000	.000					

** Correlation is significant at the 0.01 level (2-tailed).

ตารางที่ ง-18 ค่าสัมประสิทธิ์สหสัมพันธ์ของพียร์สันระหว่างค่าตัวแปรต่างๆ ของข้อมูลรวมของ
เดินทั้ง 3 ประเภท (CH, MH, CL) อายุบ่ำ 7 วัน

		q_u	$q_{u,0}$	E_{50}	$E_{50,0}$	ε_f	$\varepsilon_{f,0}$	ω	ω_0
q_u	Correlation	1	.676(**)	.963(**)	.594(**)	-.675(**)	-.667(**)	-.787(**)	-.766(**)
	Sig. (2-tailed)		.000	.000	.000	.000	.000	.000	.000
$q_{u,0}$	Correlation	.676(**)	1	.663(**)	.967(**)	-.500(**)	-.667(**)	-.617(**)	-.629(**)
	Sig. (2-tailed)	.000		.000	.000	.000	.000	.000	.000
E_{50}	Correlation	.963(**)	.663(**)	1	.636(**)	-.647(**)	-.680(**)	-.723(**)	-.703(**)
	Sig. (2-tailed)	.000	.000		.000	.000	.000	.000	.000
$E_{50,0}$	Correlation	.594(**)	.967(**)	.636(**)	1	-.549(**)	-.663(**)	-.606(**)	-.614(**)
	Sig. (2-tailed)	.000	.000	.000		.000	.000	.000	.000
ε_f	Correlation	-.675(**)	-.500(**)	-.647(**)	-.549(**)	1	.765(**)	.783(**)	.750(**)
	Sig. (2-tailed)	.000	.000	.000	.000		.000	.000	.000
$\varepsilon_{f,0}$	Correlation	-.667(**)	-.667(**)	-.680(**)	-.663(**)	.765(**)	1	.796(**)	.821(**)
	Sig. (2-tailed)	.000	.000	.000	.000	.000		.000	.000
ω	Correlation	-.787(**)	-.617(**)	-.723(**)	-.606(**)	.783(**)	.796(**)	1	.991(**)
	Sig. (2-tailed)	.000	.000	.000	.000	.000	.000		.000
ω_0	Correlation	-.766(**)	-.629(**)	-.703(**)	-.614(**)	.750(**)	.821(**)	.991(**)	1
	Sig. (2-tailed)	.000	.000	.000	.000	.000	.000	.000	
γ_m	Correlation	.822(**)	.738(**)	.782(**)	.704(**)	-.723(**)	-.796(**)	-.951(**)	-.955(**)
	Sig. (2-tailed)	.000	.000	.000	.000	.000	.000	.000	.000
$\gamma_{m,0}$	Correlation	.779(**)	.725(**)	.733(**)	.677(**)	-.694(**)	-.784(**)	-.948(**)	-.961(**)
	Sig. (2-tailed)	.000	.000	.000	.000	.000	.000	.000	.000
C	Correlation	.450(**)	.000	.430(**)	.000	-.252(*)	.000	-.111	.000
	Sig. (2-tailed)	.000	1.000	.000	1.000	.036	1.000	.352	1.000
W/C	Correlation	-.685(**)	-.430(**)	-.640(**)	-.422(**)	.751(**)	.565(**)	.768(**)	.684(**)
	Sig. (2-tailed)	.000	.000	.000	.005	.000	.000	.000	.000

** Correlation is significant at the 0.01 level (2-tailed).

* Correlation is significant at the 0.05 level (2-tailed).

ตารางที่ ง-18(ต่อ) ค่าสัมประสิทธิ์สหสัมพันธ์ของเพียร์สันระหว่างค่าตัวแปรต่างๆ ของข้อมูลรวม
ของคืนทั้ง 3 ประเภท (CH, MH, CL) อายุบุรุษ 7 วัน

		γ_m	$\gamma_{m,0}$	C	W/C				
q_u	Correlation	.822(**)	.779(**)	.450(**)	-.685(**)				
	Sig. (2-tailed)	.000	.000	.000	.000				
$q_{u,0}$	Correlation	.738(**)	.725(**)	.000	-.430(**)				
	Sig. (2-tailed)	.000	.000	1.000	.000				
E_{s0}	Correlation	.782(**)	.733(**)	.430(**)	-.640(**)				
	Sig. (2-tailed)	.000	.000	.000	.000				
$E_{s0,0}$	Correlation	.704(**)	.677(**)	.000	-.422(**)				
	Sig. (2-tailed)	.000	.000	1.000	.005				
ϵ_t	Correlation	-.723(**)	-.694(**)	-.252(*)	.751(**)				
	Sig. (2-tailed)	.000	.000	.036	.000				
$\epsilon_{t,0}$	Correlation	-.796(**)	-.784(**)	.000	.565(**)				
	Sig. (2-tailed)	.000	.000	1.000	.000				
ω	Correlation	-.951(**)	-.948(**)	-.111	.768(**)				
	Sig. (2-tailed)	.000	.000	.352	.000				
ω_0	Correlation	-.955(**)	-.961(**)	.000	.684(**)				
	Sig. (2-tailed)	.000	.000	1.000	.000				
γ_m	Correlation	1	.994(**)	.089	-.702(**)				
	Sig. (2-tailed)		.000	.458	.000				
$\gamma_{m,0}$	Correlation	.994(**)	1	.000	-.657(**)				
	Sig. (2-tailed)	.000		1.000	.000				
C	Correlation	.089	.000	1	-.587(**)				
	Sig. (2-tailed)	.458	1.000		.000				
W/C	Correlation	-.702(**)	-.657(**)	-.587(**)	1				
	Sig. (2-tailed)	.000	.000	.000					

** Correlation is significant at the 0.01 level (2-tailed).

* Correlation is significant at the 0.05 level (2-tailed).

ตารางที่ ง-19 ค่าสัมประสิทธิ์สหสัมพันธ์ของพิบูลย์สันนระหว่างค่าตัวแปรต่างๆ ของข้อมูลรวมของ
เดินทั้ง 3 ประเกท (CH, MH, CL) อายุปั่น 14 วัน

		q_u	$q_{u,0}$	E_{50}	$E_{50,0}$	ε_f	$\varepsilon_{f,0}$	ω	ω_0
q_u	Correlation	1	.651(**)	.959(**)	.563(**)	-.678(**)	-.647(**)	-.792(**)	-.767(**)
	Sig. (2-tailed)		.000	.000	.000	.000	.000	.000	.000
$q_{u,0}$	Correlation	.651(**)	1	.631(**)	.967(**)	-.505(**)	-.667(**)	-.615(**)	-.629(**)
	Sig. (2-tailed)	.000		.000	.000	.000	.000	.000	.000
E_{50}	Correlation	.959(**)	.631(**)	1	.596(**)	-.641(**)	-.641(**)	-.713(**)	-.692(**)
	Sig. (2-tailed)	.000	.000		.000	.000	.000	.000	.000
$E_{50,0}$	Correlation	.563(**)	.967(**)	.596(**)	1	-.544(**)	-.663(**)	-.606(**)	-.614(**)
	Sig. (2-tailed)	.000	.000	.000		.000	.000	.000	.000
ε_f	Correlation	-.678(**)	-.505(**)	-.641(**)	-.544(**)	1	.724(**)	.749(**)	.686(**)
	Sig. (2-tailed)	.000	.000	.000	.000		.000	.000	.000
$\varepsilon_{f,0}$	Correlation	-.647(**)	-.667(**)	-.641(**)	-.663(**)	.724(**)	1	.789(**)	.821(**)
	Sig. (2-tailed)	.000	.000	.000	.000	.000		.000	.000
ω	Correlation	-.792(**)	-.615(**)	-.713(**)	-.606(**)	.749(**)	.789(**)	1	.989(**)
	Sig. (2-tailed)	.000	.000	.000	.000	.000	.000		.000
ω_0	Correlation	-.767(**)	-.629(**)	-.692(**)	-.614(**)	.686(**)	.821(**)	.989(**)	1
	Sig. (2-tailed)	.000	.000	.000	.000	.000	.000	.000	
γ_m	Correlation	.814(**)	.738(**)	.768(**)	.703(**)	-.696(**)	-.805(**)	-.946(**)	-.955(**)
	Sig. (2-tailed)	.000	.000	.000	.000	.000	.000	.000	.000
$\gamma_{m,0}$	Correlation	.774(**)	.725(**)	.721(**)	.677(**)	-.657(**)	-.784(**)	-.946(**)	-.961(**)
	Sig. (2-tailed)	.000	.000	.000	.000	.000	.000	.000	.000
C	Correlation	.459(**)	.000	.431(**)	.000	-.400(**)	.000	-.120	.000
	Sig. (2-tailed)	.000	1.000	.000	1.000	.001	1.000	.317	1.000
W/C	Correlation	-.697(**)	-.430(**)	-.634(**)	-.422(**)	.854(**)	.565(**)	.773(**)	.684(**)
	Sig. (2-tailed)	.000	.000	.000	.005	.000	.000	.000	.000

** Correlation is significant at the 0.01 level (2-tailed).

ตารางที่ ง-19(ต่อ) ค่าสัมประสิทธิ์สหสัมพันธ์ของเพียร์สันระหว่างค่าตัวแปรต่างๆ ของข้อมูลรวม
ของคืนทั้ง 3 ประเภท (CH, MH, CL) อายุปัจจุบัน 14 วัน

		γ_m	$\gamma_{m,0}$	C	W/C				
q_u	Correlation	.814(**)	.774(**)	.459(**)	-.697(**)				
	Sig. (2-tailed)	.000	.000	.000	.000				
$q_{u,0}$	Correlation	.738(**)	.725(**)	.000	-.430(**)				
	Sig. (2-tailed)	.000	.000	1.000	.000				
E_{s0}	Correlation	.768(**)	.721(**)	.431(**)	-.634(**)				
	Sig. (2-tailed)	.000	.000	.000	.000				
$E_{s0,0}$	Correlation	.703(**)	.677(**)	.000	-.422(**)				
	Sig. (2-tailed)	.000	.000	1.000	.005				
ϵ_t	Correlation	-.696(**)	-.657(**)	-.400(**)	.854(**)				
	Sig. (2-tailed)	.000	.000	.001	.000				
$\epsilon_{t,0}$	Correlation	-.805(**)	-.784(**)	.000	.565(**)				
	Sig. (2-tailed)	.000	.000	1.000	.000				
ω	Correlation	-.946(**)	-.946(**)	-.120	.773(**)				
	Sig. (2-tailed)	.000	.000	.317	.000				
ω_0	Correlation	-.955(**)	-.961(**)	.000	.684(**)				
	Sig. (2-tailed)	.000	.000	1.000	.000				
γ_m	Correlation	1	.994(**)	.080	-.694(**)				
	Sig. (2-tailed)		.000	.505	.000				
$\gamma_{m,0}$	Correlation	.994(**)	1	.000	-.657(**)				
	Sig. (2-tailed)	.000		1.000	.000				
C	Correlation	.080	.000	1	-.587(**)				
	Sig. (2-tailed)	.505	1.000		.000				
W/C	Correlation	-.694(**)	-.657(**)	-.587(**)	1				
	Sig. (2-tailed)	.000	.000	.000					

** Correlation is significant at the 0.01 level (2-tailed).

ตารางที่ ง-20 ค่าสัมประสิทธิ์สหสัมพันธ์ของพียร์สันระหว่างค่าตัวแปรต่างๆ ของข้อมูลรวมของ
เดินทั้ง 3 ประเภท (CH, MH, CL) อายุปั่น 28 วัน

		q_u	$q_{u,0}$	E_{50}	$E_{50,0}$	ε_f	$\varepsilon_{f,0}$	ω	ω_0
q_u	Correlation	1	.631(**)	.946(**)	.531(**)	-.656(**)	-.612(**)	-.784(**)	-.760(**)
	Sig. (2-tailed)		.000	.000	.000	.000	.000	.000	.000
$q_{u,0}$	Correlation	.631(**)	1	.606(**)	.967(**)	-.487(**)	-.667(**)	-.613(**)	-.629(**)
	Sig. (2-tailed)	.000		.000	.000	.000	.000	.000	.000
E_{50}	Correlation	.946(**)	.606(**)	1	.560(**)	-.582(**)	-.578(**)	-.677(**)	-.657(**)
	Sig. (2-tailed)	.000	.000		.000	.000	.000	.000	.000
$E_{50,0}$	Correlation	.531(**)	.967(**)	.560(**)	1	-.537(**)	-.663(**)	-.604(**)	-.614(**)
	Sig. (2-tailed)	.000	.000	.000		.000	.000	.000	.000
ε_f	Correlation	-.656(**)	-.487(**)	-.582(**)	-.537(**)	1	.693(**)	.735(**)	.675(**)
	Sig. (2-tailed)	.000	.000	.000	.000		.000	.000	.000
$\varepsilon_{f,0}$	Correlation	-.612(**)	-.667(**)	-.578(**)	-.663(**)	.693(**)	1	.778(**)	.821(**)
	Sig. (2-tailed)	.000	.000	.000	.000	.000		.000	.000
ω	Correlation	-.784(**)	-.613(**)	-.677(**)	-.604(**)	.735(**)	.778(**)	1	.986(**)
	Sig. (2-tailed)	.000	.000	.000	.000	.000	.000		.000
ω_0	Correlation	-.760(**)	-.629(**)	-.657(**)	-.614(**)	.675(**)	.821(**)	.986(**)	1
	Sig. (2-tailed)	.000	.000	.000	.000	.000	.000	.000	
γ_m	Correlation	.802(**)	.740(**)	.730(**)	.706(**)	-.670(**)	-.812(**)	-.940(**)	-.955(**)
	Sig. (2-tailed)	.000	.000	.000	.000	.000	.000	.000	.000
$\gamma_{m,0}$	Correlation	.766(**)	.725(**)	.687(**)	.677(**)	-.633(**)	-.784(**)	-.943(**)	-.961(**)
	Sig. (2-tailed)	.000	.000	.000	.000	.000	.000	.000	.000
C	Correlation	.451(**)	.000	.414(**)	.000	-.393(**)	.000	-.130	.000
	Sig. (2-tailed)	.000	1.000	.000	1.000	.001	1.000	.275	1.000
W/C	Correlation	-.692(**)	-.430(**)	-.599(**)	-.422(**)	.811(**)	.565(**)	.781(**)	.684(**)
	Sig. (2-tailed)	.000	.000	.000	.005	.000	.000	.000	.000
P_c	Correlation	.458(*)	-.007	.502(*)	.210	-.502(*)	-.173	-.068	.069
	Sig. (2-tailed)	.024	.975	.012	.403	.012	.492	.751	.750
$P_{c,0}$	Correlation	-.021	.168	.085	.601(**)	-.081	-.114	.086	.040
	Sig. (2-tailed)	.922	.433	.694	.008	.706	.652	.688	.852
C_c	Correlation	-.660(**)	-.225	-.654(**)	-.179	.739(**)	.501(*)	.826(**)	.738(**)
	Sig. (2-tailed)	.000	.291	.001	.477	.000	.034	.000	.000
$C_{c,0}$	Correlation	-.662(**)	-.242	-.680(**)	-.304	.536(**)	.838(**)	.948(**)	.965(**)
	Sig. (2-tailed)	.000	.254	.000	.220	.007	.000	.000	.000
C_r	Correlation	-.647(**)	-.157	-.651(**)	-.175	.865(**)	.516(*)	.732(**)	.604(**)
	Sig. (2-tailed)	.001	.464	.001	.487	.000	.028	.000	.002
$C_{r,0}$	Correlation	-.726(**)	-.395	-.685(**)	-.397	.492(*)	.708(**)	.938(**)	.968(**)
	Sig. (2-tailed)	.000	.056	.000	.103	.015	.001	.000	.000

** Correlation is significant at the 0.01 level (2-tailed).

* Correlation is significant at the 0.05 level (2-tailed).

ตารางที่ 4-20(ต่อ) ค่าสัมประสิทธิ์สหสัมพันธ์ของเพียร์สันระหว่างค่าตัวแปรต่างๆ ของข้อมูลรวม
ของคืนทั้ง 3 ประเภท (CH, MH, CL) อายุบ่ 28 วัน

		γ_m	$\gamma_{m,0}$	C	W/C	P_c	$P_{c,0}$	C_c	$C_{c,0}$
q_u	Correlation	.802(**)	.766(**)	.451(**)	-.692(**)	.458(*)	-.021	-.660(**)	-.662(**)
	Sig. (2-tailed)	.000	.000	.000	.000	.024	.922	.000	.000
$q_{u,0}$	Correlation	.740(**)	.725(**)	.000	-.430(**)	-.007	.168	-.225	-.242
	Sig. (2-tailed)	.000	.000	1.000	.000	.975	.433	.291	.254
E_{s0}	Correlation	.730(**)	.687(**)	.414(**)	-.599(**)	.502(*)	.085	-.654(**)	-.680(**)
	Sig. (2-tailed)	.000	.000	.000	.000	.012	.694	.001	.000
$E_{s0,0}$	Correlation	.706(**)	.677(**)	.000	-.422(**)	.210	.601(**)	-.179	-.304
	Sig. (2-tailed)	.000	.000	1.000	.005	.403	.008	.477	.220
ϵ_t	Correlation	-.670(**)	-.633(**)	-.393(**)	.811(**)	-.502(*)	-.081	.739(**)	.536(**)
	Sig. (2-tailed)	.000	.000	.001	.000	.012	.706	.000	.007
$\epsilon_{t,0}$	Correlation	-.812(**)	-.784(**)	.000	.565(**)	-.173	-.114	.501(*)	.838(**)
	Sig. (2-tailed)	.000	.000	1.000	.000	.492	.652	.034	.000
ω	Correlation	-.940(**)	-.943(**)	-.130	.781(**)	-.068	.086	.826(**)	.948(**)
	Sig. (2-tailed)	.000	.000	.275	.000	.751	.688	.000	.000
ω_0	Correlation	-.955(**)	-.961(**)	.000	.684(**)	.069	.040	.738(**)	.965(**)
	Sig. (2-tailed)	.000	.000	1.000	.000	.750	.852	.000	.000
γ_m	Correlation	1	.994(**)	.068	-.685(**)	.086	.062	-.670(**)	-.898(**)
	Sig. (2-tailed)		.000	.568	.000	.688	.774	.000	.000
$\gamma_{m,0}$	Correlation	.994(**)	1	.000	-.657(**)	.008	.024	-.640(**)	-.899(**)
	Sig. (2-tailed)	.000		1.000	.000	.972	.912	.001	.000
C	Correlation	.068	.000	1	-.587(**)	.871(**)	.000	-.412(*)	.000
	Sig. (2-tailed)	.568	1.000		.000	.000	1.000	.046	1.000
W/C	Correlation	-.685(**)	-.657(**)	-.587(**)	1	-.571(**)	.023	.772(**)	.554(**)
	Sig. (2-tailed)	.000	.000	.000		.004	.915	.000	.005
P_c	Correlation	.086	.008	.871(**)	-.571(**)	1	.229	-.116	.140
	Sig. (2-tailed)	.688	.972	.000	.004		.281	.590	.514
$P_{c,0}$	Correlation	.062	.024	.000	.023	.229	1	.042	.043
	Sig. (2-tailed)	.774	.912	1.000	.915	.281		.847	.842
C_c	Correlation	-.670(**)	-.640(**)	-.412(*)	.772(**)	-.116	.042	1	.836(**)
	Sig. (2-tailed)	.000	.001	.046	.000	.590	.847		.000
$C_{c,0}$	Correlation	-.898(**)	-.899(**)	.000	.554(**)	.140	.043	.836(**)	1
	Sig. (2-tailed)	.000	.000	1.000	.005	.514	.842	.000	
C_r	Correlation	-.586(**)	-.544(**)	-.585(**)	.909(**)	-.436(*)	.037	.835(**)	.658(**)
	Sig. (2-tailed)	.003	.006	.003	.000	.033	.862	.000	.000
$C_{r,0}$	Correlation	-.924(**)	-.919(**)	.000	.556(**)	.084	.079	.725(**)	.938(**)
	Sig. (2-tailed)	.000	.000	1.000	.005	.698	.713	.000	.000

** Correlation is significant at the 0.01 level (2-tailed).

* Correlation is significant at the 0.05 level (2-tailed).

ตารางที่ 4-20(ต่อ) ค่าสัมประสิทธิ์สหสัมพันธ์ของเพียร์สันระหว่างค่าตัวแปรต่างๆ ของข้อมูลรวม
ของคืนทั้ง 3 ประเภท (CH, MH, CL) อายุบ่ำ 28 วัน

		C_r	$C_{r,0}$						
q_u	Correlation	-.647(**)	-.726(**)						
	Sig. (2-tailed)	.001	.000						
$q_{u,0}$	Correlation	-.157	-.395						
	Sig. (2-tailed)	.464	.056						
E_{s0}	Correlation	-.651(**)	-.685(**)						
	Sig. (2-tailed)	.001	.000						
$E_{s0,0}$	Correlation	-.175	-.397						
	Sig. (2-tailed)	.487	.103						
ε_f	Correlation	.865(**)	.492(*)						
	Sig. (2-tailed)	.000	.015						
$\varepsilon_{f,0}$	Correlation	.516(*)	.708(**)						
	Sig. (2-tailed)	.028	.001						
ω	Correlation	.732(**)	.938(**)						
	Sig. (2-tailed)	.000	.000						
ω_0	Correlation	.604(**)	.968(**)						
	Sig. (2-tailed)	.002	.000						
γ_m	Correlation	-.586(**)	-.924(**)						
	Sig. (2-tailed)	.003	.000						
$\gamma_{m,0}$	Correlation	-.544(**)	-.919(**)						
	Sig. (2-tailed)	.006	.000						
C	Correlation	-.585(**)	.000						
	Sig. (2-tailed)	.003	1.000						
W/C	Correlation	.909(**)	.556(**)						
	Sig. (2-tailed)	.000	.005						
P_c	Correlation	-.436(*)	.084						
	Sig. (2-tailed)	.033	.698						
$P_{c,0}$	Correlation	.037	.079						
	Sig. (2-tailed)	.862	.713						
C_c	Correlation	.835(**)	.725(**)						
	Sig. (2-tailed)	.000	.000						
$C_{c,0}$	Correlation	.658(**)	.938(**)						
	Sig. (2-tailed)	.000	.000						
C_r	Correlation	1	.602(**)						
	Sig. (2-tailed)		.002						
$C_{r,0}$	Correlation	.602(**)	1						
	Sig. (2-tailed)	.002							

** Correlation is significant at the 0.01 level (2-tailed).

* Correlation is significant at the 0.05 level (2-tailed).

ผลงานการตีพิมพ์เผยแพร่



การปรับปรุงดินกันทางอ่อนโดยการผสมปูนซีเมนต์กับดินศึกษาจังหวัดสงขลา

IMPROVEMENT OF SOFT SUBGRADE WITH CEMENT MIXING: A CASE STUDY IN SONGKHLA PROVINCE

สมมาตร์ สวัสดิ์ (Sommart Swasdi)¹

สราวุธ จริตงาม (Saravut Jaritngam)²

ดนุพล ตันน้อยภัส (Danupon Tonnayopas)³

พิพัฒ์ ทองจิม (Pipat Thongchim)⁴

¹ นิสิตปริญญาโท ภาควิชาวิศวกรรมโยธา คณะวิศวกรรมศาสตร์ มหาวิทยาลัยสงขลานครินทร์ Sswasdi@hotmail.com

² ผู้ช่วยศาสตราจารย์ ภาควิชาวิศวกรรมโยธา คณะวิศวกรรมศาสตร์ มหาวิทยาลัยสงขลานครินทร์ Saravut.j@psu.ac.th

³ รองศาสตราจารย์ ภาควิชาวิศวกรรมเหมืองแร่และวัสดุ คณะวิศวกรรมศาสตร์ มหาวิทยาลัยสงขลานครินทร์ Danupon.t@psu.ac.th

⁴ อาจารย์ ภาควิชาวิศวกรรมโยธา คณะวิศวกรรมศาสตร์ มหาวิทยาลัยสงขลานครินทร์ Pipat_thongchim@yahoo.com

บทคัดย่อ : การศึกษาการปรับปรุงดินกันทางอ่อนโดยการผสมปูนซีเมนต์กับดินศึกษาจังหวัดสงขลา เป็นการศึกษาการพัฒนากำลังของดินกันทางที่มีกำลังต่ำให้มีกำลังสูงขึ้นโดยการใช้ปูนซีเมนต์ปอร์ตแลนด์ประเภทที่ 1 ผสมในอัตราส่วน 5, 10 และ 20 % ของน้ำหนักดินแห้ง ทำการบดอัดตัวอย่างแบบสูงกว่ามาตรฐาน โดยมีค่าปริมาณน้ำที่จุดพิกัดเหลว (LL) ความชื้นตามธรรมชาติ (NWC) และความชื้นที่เหมาะสม (OMC) บ่มท่ออายุ 1, 7, 14 และ 28 วัน ตามลำดับ พิจารณาがらดังของดินซีเมนต์จากค่ากำลังอัดแกนเดียว และตรวจโครงสร้างจุลภาคด้วยกล้องจุลทรรศน์อิเล็กตรอนแบบส่อง粒 (SEM) ตรวจสอบค่าประกอบทางเคมีด้วยวิธีรังสีเอกซ์ฟลูออเรสเซนซ์ (XRF) และตรวจชนิดแร่ด้วยวิธีการเลือดวabenรังสีเอกซ์ (XRD) ค่ากำลังอัดแกนเดียวของดินที่ไม่ได้ปรับปรุงคุณภาพที่มีปริมาณน้ำ LL, NWC และ OMC มีค่าเท่ากับ 0.00-0.07 ksc, 0.10-1.24 ksc และ 1.55-8.54 ksc ตามลำดับ ในขณะที่ดินตัวอย่างที่ปรับปรุงโดยผสมปูนซีเมนต์ 20 % และอายุการบ่ม 28 วัน โดยมีปริมาณน้ำ LL, NWC และ OMC มีค่ากำลังอัดแกนเดียว เท่ากับ 1.96-8.71 ksc, 6.24-31.21 ksc และ 21.72-55.46 ksc ตามลำดับ โครงสร้างจุลภาคมีการพัฒนาเนื่องจากมีเนื้อเหนียวแน่นขึ้นเมื่อปริมาณซีเมนต์และอายุการบ่มเพิ่มมากขึ้น

คำหลัก : ดินกันทางอ่อน, ปูนซีเมนต์ปอร์ตแลนด์ ประเภทที่ 1, กำลังอัดแกนเดียว, โครงสร้างจุลภาค, สงขลา

ABSTRACT : The experiments of ground improvement by cement mixing with Songkhla soft soils is investigated. Ordinary Portland cement Type 1 (OPC) is mixed with the soft subgrade with proportion of 5, 10 and 20 % by weight of dry soil, under conditions of water content at liquid limit (LL), natural water content (NWC) and optimum moisture content (OMC). Modified compaction specimens are prepared for unconfined compression test (UCS) for curing periods of 1, 7, 14 and 28 days. Scanning electron microscope (SEM), X-Ray Fluorescence (XRF) and X-Ray Diffraction (XRD) are also carried out to examine microstructure development of soil cement, chemical and mineral compositions of soil cement, respectively. From testing results, the

UCS of untreated soft subgrade at LL, NWC and OMC are 0.00-0.07 ksc, 0.10-1.24 ksc and 1.55-8.54 ksc, respectively. On the other hand, the 28-day UCS of treated soft subgrade mixed with 20% wt. OPC of LL, NWC and OMC are 1.96-8.71 ksc, 6.24-31.21 ksc and 21.72-55.46 ksc, respectively. The microstructure of treated soft subgrade is densified by the increasing of OPC and curing time.

KEYWORDS : Soft subgrade, Ordinary Portland cement Type 1, Unconfined compressive strength, Microstructure, Songkhla

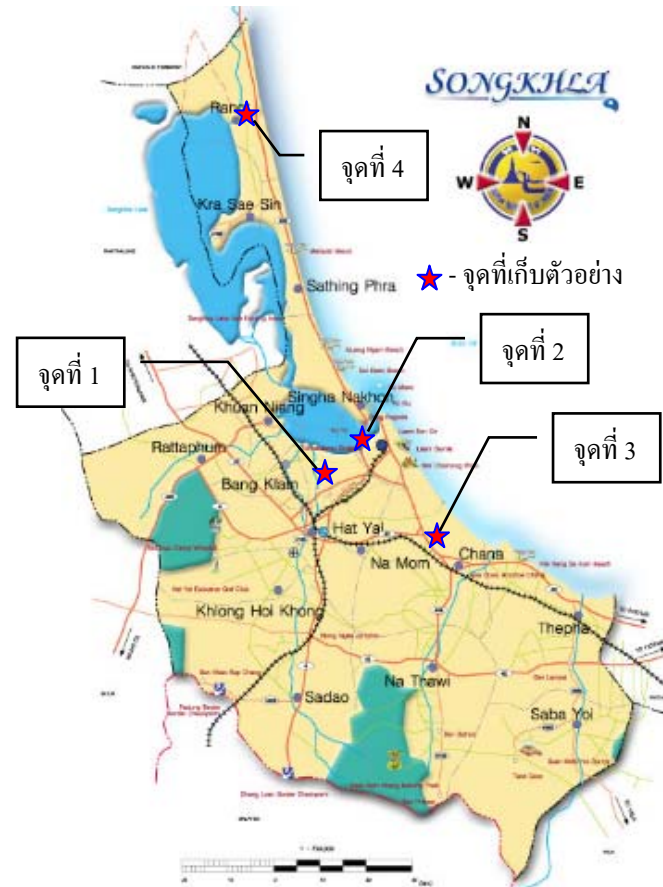
1. บทนำ

ดินน้ำเป็นสาหร่ายปูก้อนร้อนที่มีความสำคัญต่อเศรษฐกิจ และการพัฒนาประเทศ เป็นสิ่งก่อสร้างที่ช่วยอำนวยความสะดวก ในการคมนาคมและขนส่งของประเทศ เพื่ออำนวยความสะดวกจาก ชุมชนเมืองสู่ท้องถิ่น นอกจากประโยชน์มีต่อประเทศไทยแล้ว ประชาชนดังกล่าวแล้ว ยังมีความจำเป็นต่อแนวทางเศรษฐกิจ ทางอ้อม ขยายตลาดแรงงาน เพิ่มการกระจายรายได้ และพัฒนา ท้องถิ่นให้มีความเป็นอยู่ที่ดีขึ้น ซึ่งจะช่วยทำให้ประเทศไทยมี ความมั่นคงทางเศรษฐกิจและสังคมอย่างเพียงพอ

ดินคันท่าง (Subgrade) ที่มีลักษณะเป็นดินเหนียวอ่อน (Soft Clay) มีความชื้นสูงและกำลังน้อยมีผลต่อความมั่นคงของถนน โดยเฉพาะเรื่องของการทรุดตัวและเสื่อมสภาพ ให้ล่างของถนน อันนำไปสู่การซ่อมแซมและอายุการใช้งานลดลง ทำให้ต้องเสีย ค่าใช้จ่ายเพิ่มมากขึ้น มีผลกระทบต่อการพัฒนาระบบเศรษฐกิจ ของประเทศ งานวิจัยนี้จึงศึกษาการพัฒนากำลังของดินคันท่าง อ่อนที่ปรับปรุงคุณภาพโดยใช้ปูนซีเมนต์ปอร์ตแลนด์ประเภทที่ 1 เพื่อเพิ่มกำลังและลดการทรุดตัวของดินคันท่าง ซึ่งจะเป็น ข้อมูลสำหรับการออกแบบชั้นดินคันท่างสำหรับงานทางหรือ งานถนน โดยเลือกพื้นที่กรนีศึกษาริเวนท์ราบลุ่มใน จ. สงขลา (รูปที่ 1) ซึ่งเป็นดินเหนียวอ่อนและมีความชื้นสูง และถนนที่พาด ผ่านบริเวณดังกล่าวเกิดการชำรุด มีจุดเก็บตัวอย่างดิน 4 แห่ง (ตารางที่ 1)

2. วัสดุและวิธีการ

การพัฒนากำลังของดินซีเมนต์ เกิดจากปฏิกิริยาไฮเดรชัน (Hydration) ที่ได้จากปฏิกิริยาของปูนซีเมนต์และน้ำ คล้ายกับ ปฏิกิริยาที่เกิดขึ้นในปอร์ตแลนด์ซีเมนต์คอนกรีต หลังจาก เกิดปฏิกิริยาไฮเดรชันแล้วจะได้สารประจำตัวดังนี้ [1]



รูปที่ 1 แผนที่ตำแหน่งเก็บตัวอย่างและเส้นทางสายหลักเข้าสู่จุดเก็บ

ตารางที่ 1 พื้นที่เก็บตัวอย่างของจังหวัดสงขลา

จุดที่	ลักษณะภูมิประเทศ	เขตการปกครอง
1	ที่ราบลุ่มน้ำขังบางช่วง	ถนนพบบูรีรามศวรร(414) ต. น้ำ้อย อ. หาดใหญ่
2	ที่ราบลุ่มน้ำขังบางช่วง ติดทะเลสาบสงขลา	ถนนติมสุลานท์ (อบต.พะวง) ต. พะวง อ. เมือง
3	ที่ราบลุ่มน้ำขังบางช่วง	โรงพยาบาลสงขลา(43) ต. คลอง เตย-ต. ป่าซิง อ. จันนา
4	ที่ราบลุ่มน้ำขัง	ถนนสายสงขลา-ระโนด(408) ต. ระโนด อ. ระโนด

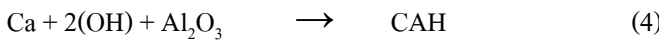
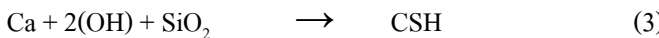
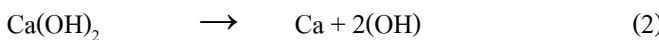


1. แคลเซียมซิลิกेटไไฮเดรต (Calcium Silicate Hydrate, CSH)

2. แคลเซียมอะลูมิเนตไไฮเดรต (Calcium Aluminate Hydrate, CAH)

3. แคลเซียมไฮดรอกไซด์ (Calcium Hydroxide, Ca(OH)₂)

สารประกอบ CSH และ CAH มีสมบัติที่ดีในการขัดเคี้ยวสามารถขัดเคี้ยวเม็ดศิลาหินทำให้ได้มวลดินขนาดใหญ่และมีความแข็งแรงสูง สำหรับสาร Ca(OH)₂ จะทำปฏิกิริยากับสารประกอบซิลิกา (Silica) และอะลูมินา (Alumina) ที่มีอยู่ในดิน ก่อให้เกิดเป็นสารประกอบ CSH และ CAH เพิ่มขึ้นอีก ปฏิกิริยาที่เกิดขึ้น เป็นปัจจัยสำคัญในการเคลือบดิน



การเตรียมตัวอย่างทดสอบจากตัวอย่างดินที่เก็บมาแบบรันกวน แล้วนำมารอดัดแบบสูงกว่ามาตรฐาน (ASTM D 1557-00) โดยใช้เบ้าขนาด Ø 2 นิ้ว สูง 4 นิ้ว ใช้ค้อนหนัก 2.78 ปอนด์ ระยะหก 12 นิ้ว โดยแบ่งจำนวนชั้นเป็น 5 ชั้น กระหุ้งชั้นละ 29 ครั้ง โดยมีพลังงานในการบดอัดเท่ากับ 56,250 ปอนด์-ฟุตต่อถูกนาศก์ฟุต ซึ่งตัวอย่างแบบนี้ได้รับพลังงานในการบดอัดเท่ากัน ประกอบไปด้วย ตัวอย่างดินที่ยังไม่ปรับปรุงคุณภาพด้วยปูนซิเมนต์และตัวอย่างดินที่ถูกปรับปรุงด้วยปูนซิเมนต์ โดยใช้ปูนซิเมนต์ปอร์ตแลนด์ประเภทที่ 1 (OPC) อัตราส่วนที่ใช้คือ 5 %, 10 % และ 20 % โดยเทียบกับน้ำหนักของดินแห้ง ในการทดสอบน้ำจะใช้ปริมาณน้ำ 3 ส่วน คือ ปริมาณน้ำที่พิกัดเหลว (Liquid Limit, LL) ปริมาณน้ำตามธรรมชาติ (Natural Water Content, NWC) และปริมาณน้ำที่เหมาะสมที่สุด (Optimum Moisture Content, OMC) และตัวอย่างที่เตรียมเสร็จแล้วจะทำการห่อหุ้มด้วยแผ่นพลาสติกป้องกันความชื้น ไม่ให้ระเหยออกและเก็บไว้ในภาชนะที่มีฝาปิดและควบคุมความชื้น บ่มตัวอย่างเป็นเวลา 1, 7, 14 และ 28 วัน ตามลำดับ

การทดสอบตัวอย่างประกอบไปด้วย การทดสอบกำลังอัดแกนเดียว (Unconfined Compression Test, ASTM D 2166-00) เพื่อหาค่า UCS การทดสอบการยุบอัดตัวขยาย (Consolidation Test, ASTM D 2435-96) เพื่อศึกษาการยุบอัดตัวขยายของดิน

ซิเมนต์ และตรวจการเปลี่ยนแปลงโครงสร้างจุลภาคของดินซิเมนต์ ด้วยวิธีกล้องจุลทรรศน์อิเล็กตรอนส่องการดู (Scanning Electron Microscope - SEM) การตรวจสอบค่าประกอบทางเคมีด้วยวิธี X-Ray Fluorescence (XRF) และ การตรวจชนิดแร่ด้วยวิธี X-Ray Diffraction (XRD) เพื่อทราบถึงการเปลี่ยนแปลงของโครงสร้างจุลภาคของดินซิเมนต์ ขึ้นเป็นผลพวงมาจากการปฏิกิริยาของปูนซิเมนต์ที่ผสมเข้ากับดินและนำอันส่งผลให้กำลังของดินเดิมเพิ่มขึ้น

3. ผลการศึกษา

3.1 สมบัติดัชนี

ดินเดิมโดยส่วนใหญ่จะเป็นดินที่มีค่า NWC และค่า LL ค่อนข้างสูง มีค่ากำลังอัดต่ำ และจำแนกดินได้เป็น MH และ CH และจากการตรวจ XRF มีค่า Na₂O 0-1.40%, MgO 0.51-1.86%, Al₂O₃ 16.79-23.51%, SiO₂ 43.88-58.02%, Fe₂O₃ 2.64-12.64%, CaO 0.10-1.65%, K₂O 2.40-3.47% และ TiO₂ 0.84-1.37%

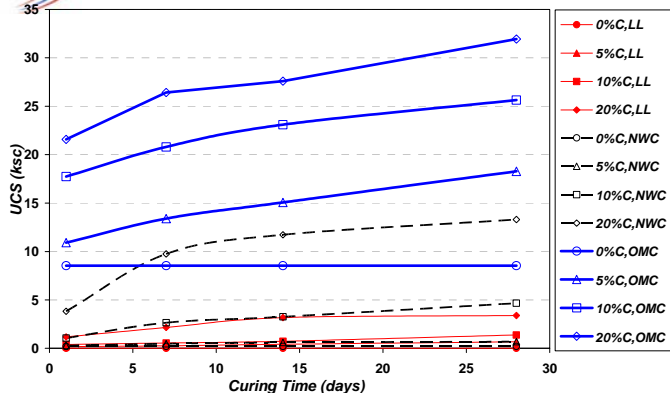
ตารางที่ 2 ผลการทดสอบสมบัติดัชนีของดินเดิม

สมบัติดัชนี	ลพบุรีรำ-เมือง	ติณสูคานนท์	โรงไฟฟ้าสังขลักษณ์	สงขลา-ระโนด
Specific Gravity, G _s	2.63	2.71	2.29	2.64
Liquid Limit, LL	73.80	93.00	86.08	87.69
Plasticity Index, PI	32.85	46.67	43.14	54.84
Natural Water Content (NWC), %	54.53	66.87	73.74	42.90
Liquidity Index, LI	0.41	0.44	0.71	0.18
Unit Weight, g/cm ³	1.65	1.58	1.50	1.84
UCS at NWC, ksc	0.20	0.10	0.37	1.24
Soil Classification, USCS	MH	MH	MH	CH

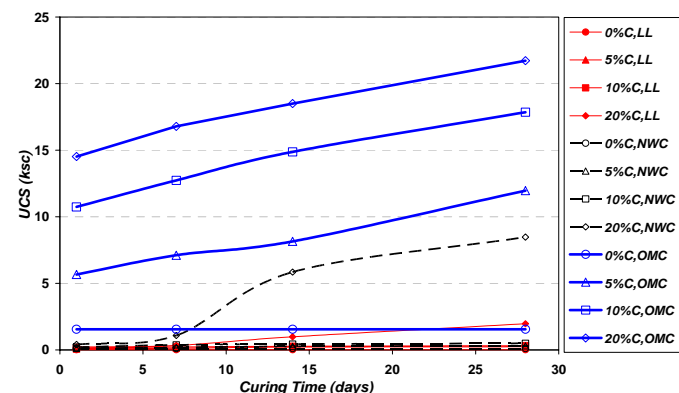
3.2 กำลังอัดแกนเดียว

จากการทดสอบกำลังอัดแกนเดียวของดินเดิมและดินที่ปรับปรุงคุณภาพ โดยผสมปูนซิเมนต์ในปริมาณต่างๆ โดยใช้ปริมาณน้ำและอายุการบ่มที่ต่างกัน ได้แสดงผลไว้ในรูปที่ 2-9 ดังต่อไปนี้

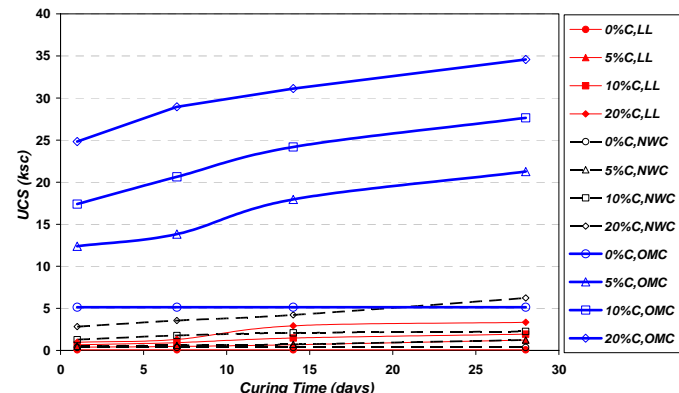
จากรูปที่ 2- รูปที่ 9 จะเห็นได้ว่า กำลังอัดแกนเดียวและค่า E₅₀ มีการพัฒนาสูงขึ้น เมื่อปริมาณปูนซิเมนต์เพิ่มมากขึ้น และอายุการบ่มเพิ่มมากขึ้น และปัจจัยที่ทำให้กำลังสูงขึ้นคือ ปริมาณ



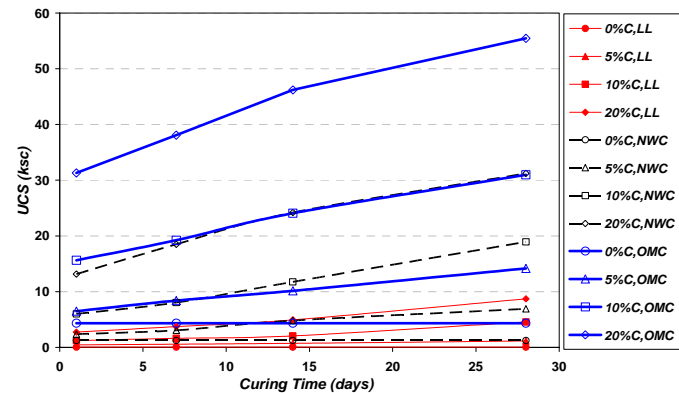
รูปที่ 2 ความสัมพันธ์ระหว่างอายุบ่มกับกำลังอัดแกนเดียวยของคืนกันทางอ่อนผสานปูนซีเมนต์ในปริมาณต่างๆ บริเวณถนนพบบูรีรามคำรุ้ง



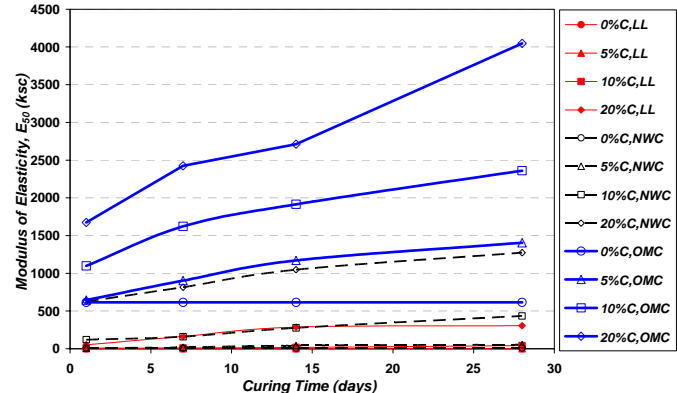
รูปที่ 3 ความสัมพันธ์ระหว่างอายุบ่มกับกำลังอัดแกนเดียวยของคืนกันทางอ่อนผสานปูนซีเมนต์ในปริมาณต่างๆ บริเวณถนนดินสู่ลานที่



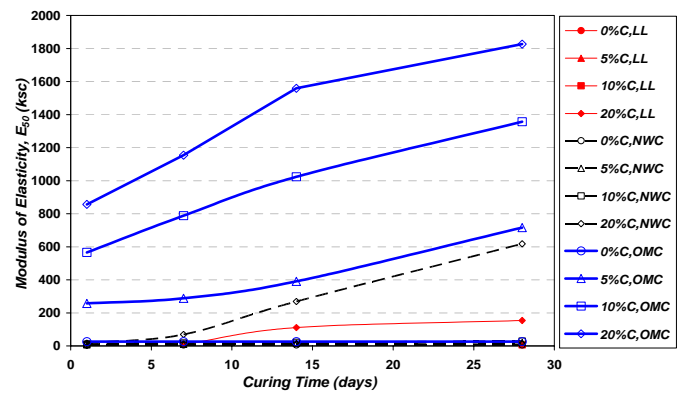
รูปที่ 4 ความสัมพันธ์ระหว่างอายุบ่มกับกำลังอัดแกนเดียวยของคืนกันทางอ่อนผสานปูนซีเมนต์ในปริมาณต่างๆ บริเวณโรงไฟฟ้าสังขลา



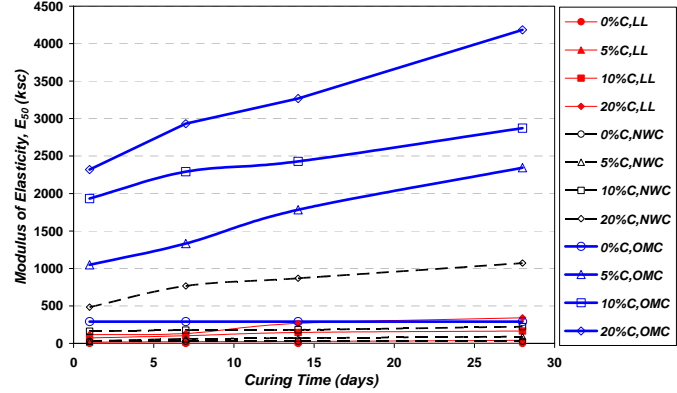
รูปที่ 5 ความสัมพันธ์ระหว่างอายุบ่มกับกำลังอัดแกนเดียวยของคืนกันทางอ่อนผสานปูนซีเมนต์ในปริมาณต่างๆ บริเวณถนนสังขลา-โนนค



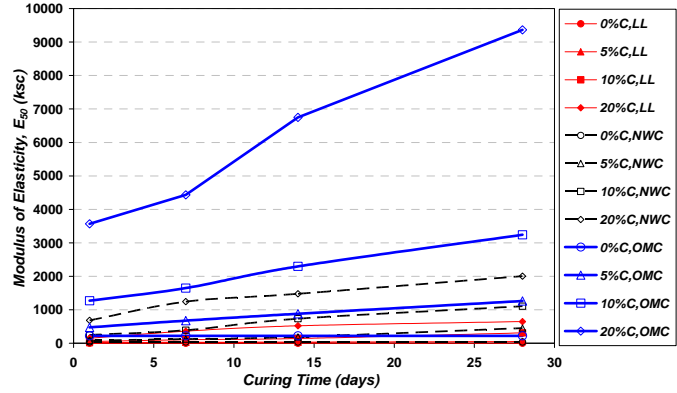
รูปที่ 6 ความสัมพันธ์ระหว่างอายุบ่มกับค่า E_{50} ของคืนกันทางอ่อนผสานปูนซีเมนต์ในปริมาณต่างๆ บริเวณถนนพบบูรีรามคำรุ้ง



รูปที่ 7 ความสัมพันธ์ระหว่างอายุบ่มกับค่า E_{50} ของคืนกันทางอ่อนผสานปูนซีเมนต์ในปริมาณต่างๆ บริเวณถนนดินสู่ลานที่



รูปที่ 8 ความสัมพันธ์ระหว่างอายุบ่มกับค่า E_{50} ของคืนกันทางอ่อนผสานปูนซีเมนต์ในปริมาณต่างๆ บริเวณโรงไฟฟ้าสังขลา



รูปที่ 9 ความสัมพันธ์ระหว่างอายุบ่มกับค่า E_{50} ของคืนกันทางอ่อนผสานปูนซีเมนต์ในปริมาณต่างๆ บริเวณถนนสังขลา-โนนค

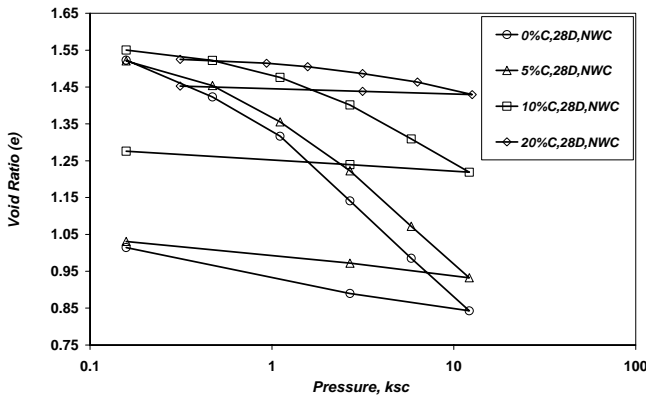


นำที่ใช้ผสมปูนซีเมนต์กับดิน ผลการเปรียบเทียบตัวอย่างดินผสมปูนซีเมนต์ ที่มีปริมาณปูนซีเมนต์และอายุบ่มที่เท่ากัน พบว่า ตัวอย่างมีปริมาณนำที่จุด LL จะให้ค่ากำลังน้อยกว่าการใช้ปริมาณนำที่จุด NWC และค่ากำลังที่มีปริมาณนำที่จุด NWC ที่มีค่ากำลังน้อยกว่ากำลังที่มีปริมาณนำที่จุด OMC ซึ่งทั้งนี้มีผลมาจากการปริมาณนำที่จุด LL จะทำให้ค่า W/C (Water Cement Ratio) สูงกว่า ที่จุด NWC และ OMC ซึ่งโดยปกติแล้วค่าอัตราการรีเซ็ตที่มีค่า W/C สูงๆ จะทำให้ได้ค่ากำลังที่ต่ำกว่า ค่าอัตราการรีเซ็ตที่มีค่า W/C ต่ำๆ กองปรกบดินที่มีค่าความชื้นสูงกว่าจะมีค่ากำลังที่ต่ำกว่าดินที่มีค่าความชื้นน้อยกว่า เช่นกัน และการบดอัดดินที่มีค่าความชื้นสูงกว่า จะทำให้ดินนั้นมีความแน่นที่น้อยกว่าดินที่มีค่าความชื้นต่ำกว่า

นอกจากนี้จากผลการทดสอบยังพบว่าเมื่อปริมาณปูนซีเมนต์และอายุการบ่มเพิ่มมากขึ้นจะทำให้ความชื้นในมวลดินมีค่าลดลง ซึ่งมีผลทำให้ดินซีเมนต์มีค่ากำลังสูงขึ้น และนอกจากนี้ยังพบว่าความเครียดที่จุดวินาศ (Strain at Failure) มีค่าลดลงเมื่อปริมาณปูนซีเมนต์และอายุการบ่มเพิ่มมากขึ้น

3.3 การยุบอัดตัวคายนำ

จากการทดสอบการยุบอัดตัวคายนำของดินก้นทางอ่อนผสมปูนซีเมนต์ในปริมาณต่างๆ โดยใช้ปริมาณความชื้นธรรมชาติ และอายุการบ่มตัวอย่าง 28 วัน ได้ผลการทดสอบดังนี้



รูปที่ 10 ความสัมพันธ์ระหว่างค่าความดันกับค่าอัตราส่วนโพรงของดินก้นทางอ่อนผสมปูนซีเมนต์ในปริมาณต่างๆ ที่บ่ม 28 วัน โดยปริมาณความชื้นธรรมชาติ บริเวณดินติดสูญเสีย

จากการทดสอบการยุบอัดตัวคายนำ จากรูปที่ 10 จะเห็นได้ว่าการยุบตัวของดินซีเมนต์จะลดลงเมื่อปริมาณปูนซีเมนต์เพิ่มมากขึ้น โดยค่าคงตัวของการยุบตัวไถ (Compressibility Parameter) ของดินซีเมนต์จากการทดสอบดังแสดงในตารางที่ 3

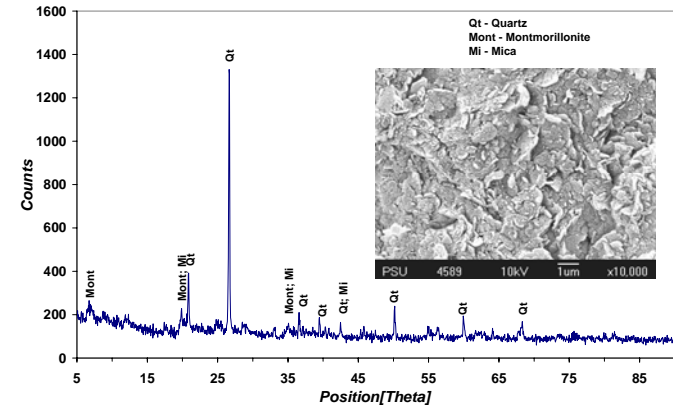
ตารางที่ 3 การอัดตัวคายนำของดินซีเมนต์ปริมาณต่างๆ ที่อายุบ่ม 28 วัน

Compressibility Parameter	% C	ค่าพนธุ์ราเมgar	ค่าติดสูญเสีย	โครงไฟฟ้า	สูงคลาระโนด
Pc, ksc		0.59	0.50	0.80	0.63
Cc	0	0.348	0.455	0.461	0.293
Cr		0.051	0.084	0.082	0.031
Pc, ksc		0.90	0.78	0.92	0.88
Cc	5	0.295	0.444	0.393	0.260
Cr		0.033	0.053	0.041	0.038
Pc, ksc		1.10	1.20	1.10	1.30
Cc	10	0.183	0.279	0.237	0.177
Cr		0.018	0.030	0.025	0.020
Pc, ksc		1.90	2.00	2.30	2.10
Cc	20	0.063	0.102	0.128	0.075
Cr		0.008	0.015	0.019	0.008

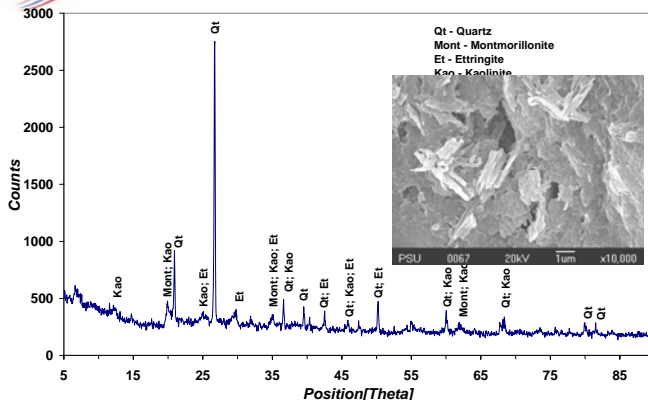
หมายเหตุ C = Cement, Pc = Preconsolidation Pressure, Cc = Compression Index, Cr = Recompression Index

3.4 องค์ประกอบ ชนิดแร่และโครงสร้างจุลภาค

จากการตรวจ SEM, XRF และ XRD พบว่าโครงสร้างจุลภาคภายในเนื้อดินซีเมนต์แน่นขึ้น มีการเปลี่ยนแปลงองค์ประกอบทางเคมีและทำให้เกิดแร่ชนิดใหม่ขึ้นมา (แอตติโนไจต์ เกโลลิโนต์ คาอตช์) ซึ่งทำให้มีผลต่อการเปลี่ยนแปลงกำลังของดินซีเมนต์ ดังแสดงในรูปที่ 11 และ รูปที่ 12 และจากการตรวจสอบ XRF ของดินที่ผสมปูนซีเมนต์ 20 % อายุบ่ม 20 วัน ใช้ปริมาณนำที่ NWC พบว่ามีองค์ประกอบทางเคมีเปลี่ยนแปลง คือ มีค่า Na_2O 0.79-1.36%, MgO 0.68-1.13%, Al_2O_3 12.64-18.55%, SiO_2 34.54-38.38%, Fe_2O_3 3.06-9.63%, CaO 15.44-17.47%, K_2O 0.96-2.81% และ TiO_2 0.96-1.09%



รูปที่ 11 ลายพิมพ์ XRD และภาพถ่ายจุลทรรศน์ SEM ของดินเดิมบริเวณดินติดสูญเสีย



รูปที่ 12 ลายพิมพ์ XRD และภาพถ่ายจุลทรรศน์ SEM ของคิ่นซีเม็นต์ที่ผสมปูนซีเม็นต์ 20% ปริมาณความชื้น NWC อายุบ่ 28 วัน บริเวณตอนติ่งสูงล้านท์

4. สรุปผล

จากการศึกษาสามารถสรุปได้ดังนี้ คือ

- ค่ากำลังอัดแกนเดียวของคิ่นคันทางอ่อนที่ปรับปรุงโดยผสมปูนซีเม็นต์ประเภทที่ 1 มีค่าสูงขึ้นเมื่อลดปริมาณน้ำและเพิ่มปริมาณปูนซีเม็นต์และอายุการบ่มที่มากขึ้น อันเป็นผลโดยตรงมาจากการปูนซีเม็นต์ ดิน น้ำและการบดอัด
- การยุบตัวของคิ่นคันทางอ่อนมีแนวโน้มลดลง เมื่อเติมปริมาณปูนซีเม็นต์ที่ผสมสูงขึ้น
- ปริมาณการเกิดแร่ แอดตรินไจต์ เกโอลีไนต์ ควอตซ์ สอดคล้องกับกำลังอัดของคิ่นซีเม็นต์ที่เพิ่มขึ้นจากการเติมปูนซีเม็นต์ 5 %, 10% และ 20 %

กิตติกรรมประกาศ

งานวิจัยนี้ได้รับการสนับสนุนจากบัณฑิตวิทยาลัยมหาวิทยาลัยสงขลานครินทร์ และงบประมาณแผ่นดินปี 2548

เอกสารอ้างอิง

- [1] เบญจพงษ์ พนิมิตร, 2545. วิศวกรรมการทาง คณะวิชาโยธา สถาบันเทคโนโลยีราชมงคล วิทยาเขตภาคพายัพ, เชียงใหม่.

เกี่ยวกับผู้เขียน

1. นายสมมาต์ สารสกุล



นักศึกษาปริญญาโท สาขาวิศวกรรมโยธา (ธรณีเทคนิค) ภาควิชาวิศวกรรมโยธา คณะวิศวกรรมศาสตร์ มหาวิทยาลัยสงขลานครินทร์ ต. โคหงส์ อ. หาดใหญ่ จ.สงขลา

2. พศ.สราวุธ จริตงาม



ผู้ช่วยศาสตราจารย์ ภาควิชาวิศวกรรมโยธา คณะวิศวกรรมศาสตร์ มหาวิทยาลัยสงขลานครินทร์ ต. โคหงส์ อ. หาดใหญ่ จ.สงขลา

3. รศ.ดร.คณุพล ตันน้อย



รองศาสตราจารย์ ภาควิชาวิศวกรรมเหมืองแร่และวัสดุ คณะวิศวกรรมศาสตร์ มหาวิทยาลัยสงขลานครินทร์ ต. โคหงส์ อ. หาดใหญ่ จ.สงขลา

4. อ.ดร.พิพัฒน์ ทองคำมี

อาจารย์ ภาควิชาวิศวกรรมโยธา คณะวิศวกรรมศาสตร์ มหาวิทยาลัยสงขลานครินทร์ ต. โคหงส์ อ. หาดใหญ่ จ.สงขลา

SOFT SUBGRADE STABILIZATION WITH CEMENT IN SATUN PROVINCE, THAILAND

Sommart Swasdi^{1*}, Saravut Jaritngam², Danupon Tonnayopas³, Pipat Thongchim⁴

¹ M.Eng. Program Student, Prince of Songkla University, Faculty of Engineering, Thailand

² Assistant Professor, Prince of Songkla University, Faculty of Engineering, Thailand

³ Associate Professor, Prince of Songkla University, Faculty of Engineering, Thailand

⁴ Lecturer, Prince of Songkla University, Faculty of Engineering, Thailand

* email: sswasdi@hotmail.com

Abstract: Soft subgrade stabilization mixed with Ordinary Portland cement (OPC) for different water content at liquid limit (LL), natural water content (NWC) and optimum moisture content (OMC) was investigated. The OPC was proportion of 5, 10 and 20% by weight of dry soil samples from four sites in Satun. Modified compaction specimens were prepared for unconfined compressive strength (UCS) tests for curing times of 1, 7, 14 and 28 days, respectively. Scanning electron microscope (SEM), X-ray fluorescence (XRF) and X-ray diffraction (XRD) methods were also carried out. The strength of treated soil has improved compare to untreated soil for all sites.

Key Words: Soft subgrade / Ordinary Portland Cement / Soil cement / Unconfined compressive strength / Microstructure

1. INTRODUCTION

Soft subgrades (soft soils) are well known for their low strength and high compressibility. Usually, due to sedimentary process on different environments, both physical and engineering properties (namely void ratio, water content, grain size distribution, compressibility, permeability and strength) show a large variation. Further, they exhibit high compressibility (including an important secondary consolidation), reduced strength, low permeability and compactness, and consequently low quality for construction. Thus, the soil cement mixing is adopted to serve as an excellent foundations, and resist stability during construction process. It has recently been used to improve the strength and deformation characteristics of these soft soils. For the abovementioned reasons, a comprehensive laboratory testing programme was carried out in order to study the effect of inclusion of cement on physical and engineering behaviour of a soft subgrade. A series of tests was carried out by varying proportion of Odinary Portland

cement (OPC), moisture content, curing time and soft subgrade.

Various methods of soil mixing, mechanical, hydraulic, with and without air, and combinations of both types have been used widely in Japan for about 20 years and more recently have gained wide acceptance in the United States. The soil mixing, ground modification technique, has been used for many diverse applications including building and bridge foundations, retaining structures, liquefaction mitigation, temporary support of excavation and water control. Names such as Jet Grouting, Soil Mixing, Cement Deep Mixing (CDM), Soil Mixed Wall (SMW), Deep Soil Mixing, (DSM), Dry Jet Mixing (DJM), and Lime Columns are known to many. Each of these methods has been the same basic root, finding the most efficient and economical method to mix cement (or in some cases fly ash or lime) with soil [1, 2, 3, 4].

2. MATERIALS AND METHODS

2.1. Materials

The soft subgrade samples used in this study were sampled from four locations in Satun province. Satun is one of the southern provinces of Thailand. Neighboring provinces are (from north clockwise) Trang, Phatthalung and Songkhla and the south borders Perlis of Malaysia. The sites are namely, Tam Ma Lang (highway No. 4183, km 3+950), Pakbara (highway No. 4052, at km 4+097), Khlong Khut (highway No. 406, at km 90+490) and Chalung (highway No. 416, km 6+030). As illustrated in Fig. 1, the location of sites for this study. The disturbed soil sample was taken from a depth of 0.00–3.00 m. Detail information on their properties is tabulated in Table 1.

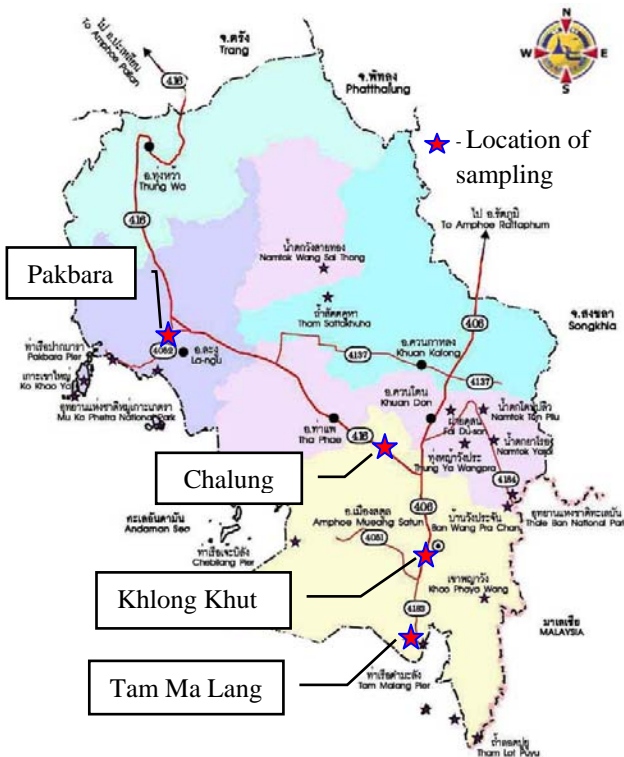


Fig. 1. Location of collected samples in Satun province

Chemical compositions of the untreated soils were determined by X-ray fluorescence (XRF). The results of the soil samples were consisted of 0-1.33% Na₂O, 0.73-1.04% MgO, 13.03-24.90% Al₂O₃, 58.68-75.81% SiO₂, 3.17-7.05% Fe₂O₃, 0.19-0.35% CaO, 1.52-4.49% K₂O and 0.95-1.62% TiO₂.

2.2. Specimen preparation and test

Ordinary Portland Cement (OPC) was mixed with the soft subgrade at proportion of 5, 10 and 20 % by weight of dry soil, with different of water content at liquid limit (LL), natural water content (NWC) and optimum moisture content (OMC). For all tests, specimens were based on modified proctor compaction test (ASTM D 1557-00). From each soil mix, cylindrical specimens of 5 cm diameter by 10 cm long were prepared for UCS tests. After de-molding, the specimens were sealed tightly in plastic sheets to prevent loss of moisture due to surface evaporation and then cured for periods of 1, 7, 14 and 28 days before uniaxial compression tests. UCS test was performed in accordance with ASTM D 2166-00.

Consolidation test was performed in accordance with ASTM D 2435-96. According to consolidation test was obtained compressibility parameters.

Scanning electron microscope (SEM), X-ray fluorescence (XRF) and X-ray diffraction (XRD) methods were carried out in order to investigate microstructure development of soil cement, chemical components of soil cement and mineral compositions of soil cement, respectively.

3. RESULTS AND DISCUSSION

3.1. Physical properties

From result of testing data, Tam Ma Lang's soft subgrade can be classified as clay with high plasticity (CH), dark gray color, NWC = 80.26%, LL = 87.33%, plasticity index (PI) = 53.67%, OMC = 23.20%. While remolded strength of untreated soil at LL, NWC and OMC is 0.07, 0.09 and 7.05 ksc, respectively. Consideration, Pakbara's soft subgrade can be classified as silt with high plasticity (MH), greenish gray color, NWC = 41.53%, LL = 51.00 %, PI = 19.30%, OMC = 19.50%, as well as remolded strength of untreated soil at LL, NWC and OMC is 0.11, 0.15 and 14.91 ksc, respectively. Khlong Khut's soft subgrade can be classified as clay with low plasticity (CL), reddish brown color with NWC = 24.51%, LL = 42.00%, PI = 17.47 %, and OMC = 14.30%. remolded strength of untreated soil at LL, NWC and OMC is 0.10, 0.49 and 10.92 ksc, respectively. Chalung's soft subgrade can be classified as clay with low plasticity (CL), yellow color, NWC = 21.54%, LL = 25.00%, PI = 9.20%, OMC = 9.80%.

Table 1. *Physical and Engineering properties of untreated soft subgrade clay*

Properties	Tam Ma Lang	Pakbara	Khlong Khut	Chalung
Color	Brownish gray	Brownish yellow	reddish brown	Brownish yellow
Specific Gravity, G _S	2.62	2.63	2.67	2.63
Liquid Limit, LL	87.33	51.00	42.00	25.00
Plasticity Index, PI	53.67	19.30	17.47	9.20
Natural Water Content (NWC), %	80.26	41.53	24.51	21.54
Optimum Moisture Content (OMC), %	23.20	19.50	14.30	9.80
Unit Weight, g/cm ³	1.60	1.83	1.92	1.87
UCS at NWC, ksc	0.09	0.15	0.49	0.12
pH	4.70	5.85	5.68	5.26
Organic Content, %	5.54	2.05	1.19	1.84
Soil Classification, USCS	CH	MH	CL	CL

3.2. Unconfined compression test

Results for UCS of untreated and treated soft subgrade by cement mixing of samples from Satun province are presented in Fig. 2- Fig. 9. Remolded strength of untreated soil at condition of LL, NWC and OMC is 0.08, 0.12 and 12.29 ksc, respectively. The strength of treated soil (20% cement at 28 days) at LL, NWC and OMC is 1.71, 6.30 and 31.00 ksc for Tam Ma Lang site. For Pakbara site, the strength of treated soil (20% cement at 28 days) at LL, NWC and OMC is 11.81, 18.00 and 46.80 ksc. The strength of treated soil (20% cement at 28 days) at LL, NWC and OMC is 25.88, 32.31 and 42.20 ksc for Khlong Khut site. The strength of treated soil (20% cement at 28 days) at LL, NWC and OMC is 35.32, 39.60 and 65.46 ksc for Chalung site.

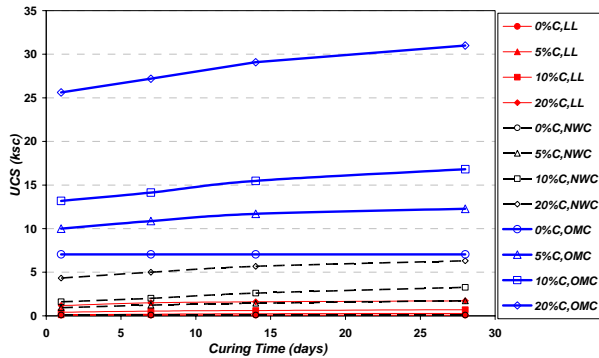


Fig. 2. Effect of curing time and cement content on UCS at different moisture content of Tam Ma Lang's treated soil.

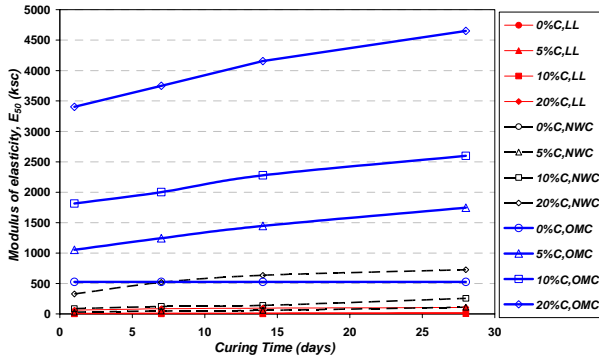


Fig. 3. Effect of curing time and cement content on modulus of elasticity (E_{50}) at different moisture content of Tam Ma Lang's treated soil.

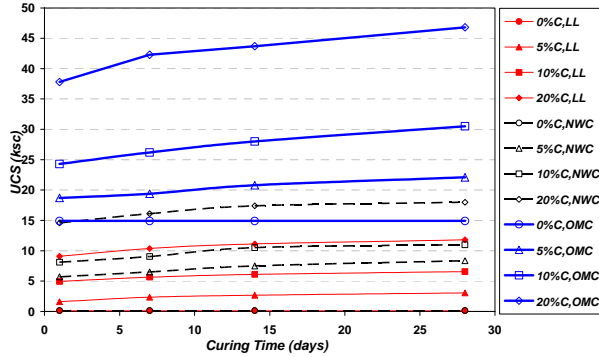


Fig. 4. Effect of curing time and cement content on UCS at different moisture content of Pakbara's treated soil.

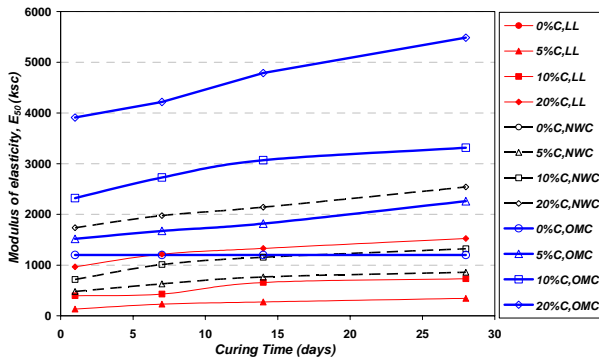


Fig. 5. Effect of curing time and cement content on modulus of elasticity (E_{50}) at different moisture content of Pakbara's treated soil.

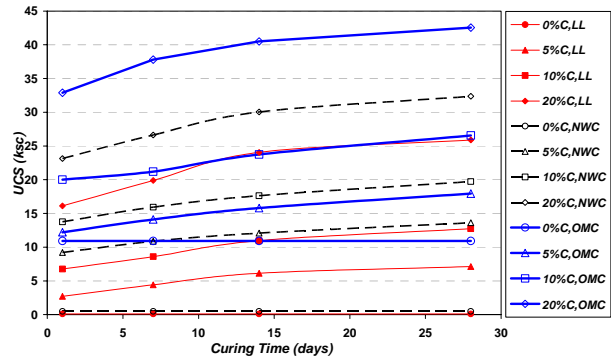


Fig. 6. Effect of curing time and cement content on UCS at different moisture content of Khlong Khut's treated soil.

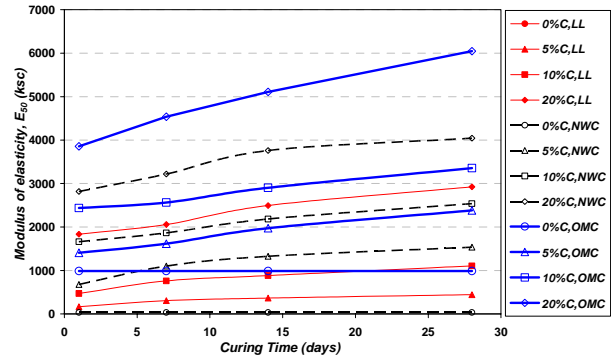


Fig. 7. Effect of curing time and cement content on modulus of elasticity (E_{50}) at different moisture content of Khlong Khut's treated soil.

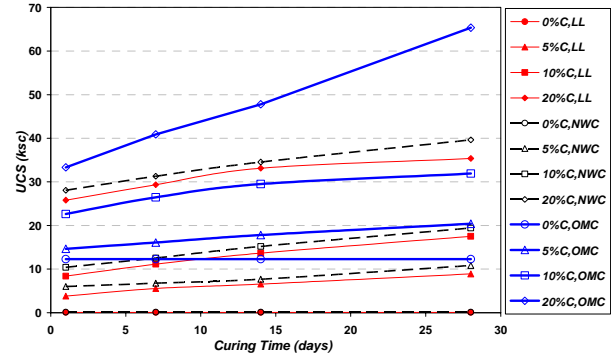


Fig. 8. Effect of curing time and cement content on UCS at different moisture content of Chalung's treated soil.

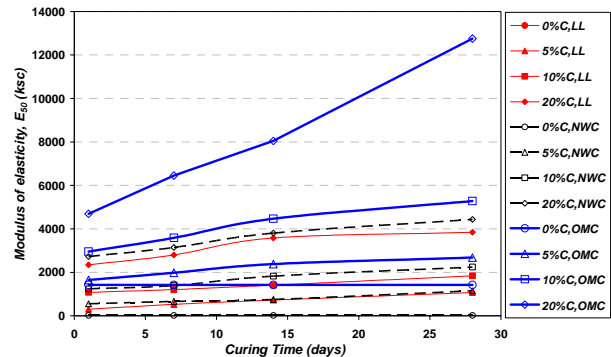


Fig. 9. Effect of curing time and cement content on modulus of elasticity (E_{50}) at different moisture content of Chalung's treated soil.

The experimental results showed that strength of all mixture specimens were significantly increased comparison with strength of untreated soil. The UCS and E_{50} of treated soil is strengthened by the increasing of cement, curing time and decreasing moisture content.

The influences of OPC content treated soft subgrade on the UCS are also considered. It can be noticed that the UCS increases correspondence with increasing of OPC content. In general, OPC contains tricalcium silicate (C_3S), dicalcium silicate (C_2S), tricalcium aluminate (C_3A), and a solid described as tetracalcium aluminoferrite (C_4A). These four main constituents are major strong producing compound. Whenever, the pore water of soil contact with cement, the major cementing products are produced such as calcium silicate hydrate (CSH), calcium aluminate hydrate (CAH) and lime hydrated ($Ca(OH)_2$). In addition, the cement stabilization clay was also induced a pozzolanic reaction because of $Ca(OH)_2$ is gained by the hydration reaction. Whenever, the clay is saturated with $Ca(OH)_2$, occurred a pozzolanic reaction between them [5].

3.3. Consolidation test

From consolidation test, preconsolidation pressures (P_c) were markedly increased when increased cement. On the other hand, compression indexes (C_c) and recompression indexes (C_r) were reduced when increased cement. The effects of OPC on the compressibility parameters are displayed in Fig. 10, Table 2 and Table 3.

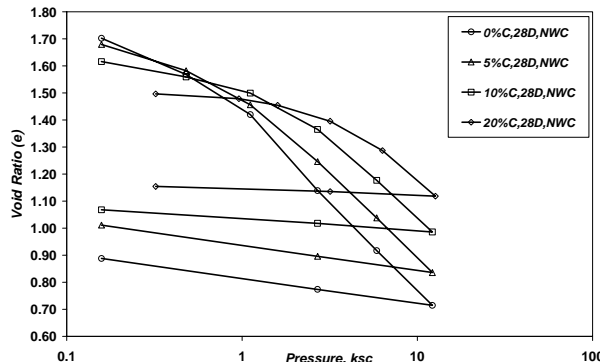


Fig. 10. Pressure-void ratio curve under consolidation test of Tam Ma Lang's treated soil specimens.

Table 2. Compressibility parameters of treated soil

Compressibility Parameters	OPC, %	Tam Ma Lang	Pakbara	Khlong Khut	Chalung
P_c , ksc	0	0.70	0.85	0.95	0.36
C_c	0.679	0.273	0.153	0.122	
C_r	0.092	0.048	0.025	0.017	
P_c , ksc	5	0.89	0.90	1.10	0.60
C_c	0.626	0.228	0.141	0.108	
C_r	0.093	0.039	0.015	0.014	
P_c , ksc	10	1.90	1.10	1.60	1.10
C_c	0.579	0.131	0.104	0.073	
C_r	0.043	0.020	0.012	0.007	
P_c , ksc	20	3.50	2.30	3.20	2.10
C_c	0.549	0.070	0.060	0.030	
C_r	0.022	0.008	0.005	0.004	

Remark C = Cement, P_c = Preconsolidation pressure, C_c = Compression Index, C_r = Recompression Index

From the test results, the treated soft subgrade by mixing cement can be reduced settlement of soft subgrade.

3.4. Minerals and microstructure

The results of XRF exhibited that the soils (20 % cement, NWC and curing time at 28 days) were consisted of 0-1.35% Na_2O , 0.58-1.16% MgO , 8.72-11.05% Al_2O_3 , 46.10-58.64% SiO_2 , 4.20-6.13% Fe_2O_3 , 17.00-17.35% CaO , 1.33-1.34% K_2O and 0.98-1.47% TiO_2 .

Moreover, the XRD pattern of the untreated soft subgrade, as illustrated in Fig. 11, indicated the soil is composed of large amount of silica in the form of quartz (SiO_2), microcline ($K(AlSi_3O_8)$) and goethite ($FeO(OH)$) as predominant minerals. Furthermore, typical XRD patterns of the treated soft subgrade (20% cement, NWC and curing time at 28 days) in Fig. 12, showed peak of different minerals from treated soil sample which could be identified as quartz (SiO_2), portlandite ($Ca(OH)_2$) and illite-montmorillonite ($K-Al_4(SiAl)_8O_{20}(OH)_4!xH_2O$).

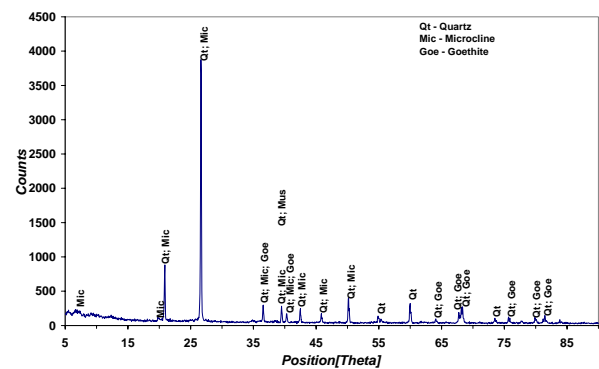


Fig. 11. XRD pattern of Chalung's untreated soil.

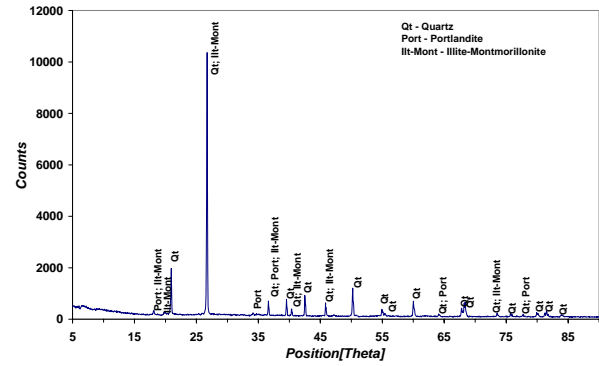


Fig. 12. XRD pattern of Chalung's treated soil (20% cement, NWC and curing time at 28 days).

Nevertheless, the microstructure of untreated soil (A) and treated soil (B) by SEM (Fig. 13) can be observed that is grown like-needle shape of minerals after treated with OPC and its texture has low porosity or denser become to soil specimen was strengthened.

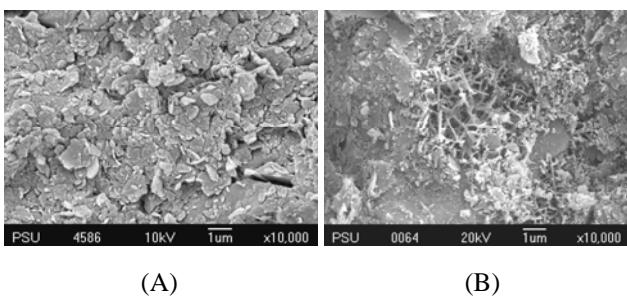


Fig. 13. SEM photograph of Chalung's soil sample magnified 10000x (A) untreated soil, and (B) treated soil (20 % cement, NWC and curing time at 28 days)

- [4] H. Miki, "Design of deep mixing method of stabilization with low improvement", *the first seminar on ground improvement in highways*, 27 August 1997, Department of Highways & Japan International Cooperation Agency, Bangkok, Thailand.
- [5] K. Petchgate, P. Voottipruex, S. Pongsawasit, "Assessment of engineering behaviors of cement-lime treated soft bangkok clay", *Proceeding of the International Symposium on Lowland Technology*, September 2002, Saga University, pp. 199-204.

4. CONCLUSIONS

Based on the results of this investigation, the following conclusions can be drawn.

1. The UCS and E_{50} of treated soil is strengthened by the increasing of cement, curing time and decreasing moisture content.
2. Soft subgrade stabilization with OPC reduced its settlement of soft subgrade.
3. In addition, growth of mineral reaction products made microstructures denser, resulting in an increase in strength and impermeability.

After this study, soil cement mixing was indicated can be used for highway construction on soft subgrade for construction an embankment over soft subgrade with low strength and high compressibility, the engineering task is to prevent the failure of embankment and control the subgrade deformation. Several methods have been developed for economically and safely constructing embankment on soft subgrade. Soil cement mixing method is one of the various methods can reduced the maximum ground settlement. It can be used to strengthen the soft clay as a stiff clay layer. It has been successful used in this study.

5. ACKNOWLEDGEMENT

The authors would like to acknowledge the support provided by Graduate School, Prince of Songkla University and the National Science Council of Thailand under grant number for conducting this research.

6. REFERENCES

- [1] S. Jaritngam, "The soil improvement for road embankment on soft clay by using jet grouting method", *International Conference on Road & Airfield Pavement Technology*, 2002, China, pp.144-153.
- [2] S. Jaritngam, "Method of reducing soil movements for deep excavations in soft clay", *M.Eng. Thesis*, 1996, Nanyang Technological University, Singapore, pp. 24-30.
- [3] B. Broms, "Stabilization of soft clay with lime columns", *International Seminar on Construction Problems in Soft Soils*, 1983, Singapore, pp.120-133.